

Matemática Numérica I

Pedro H A Konzen

14 de junho de 2023

Licença

Este trabalho está licenciado sob a Licença Atribuição-CompartilhaIgual 4.0 Internacional Creative Commons. Para visualizar uma cópia desta licença, visite http://creativecommons.org/licenses/by-sa/4.0/deed.pt_BR ou mande uma carta para Creative Commons, PO Box 1866, Mountain View, CA 94042, USA.

Prefácio

Nestas notas de aula são abordados temas introdutórios de matemática numérica. Como ferramenta computacional de apoio didático, apresentam-se códigos em `Python`.

Agradeço a todos e todas que de modo assíduo ou esporádico contribuem com correções, sugestões e críticas. :)

Pedro H A Konzen

Conteúdo

Capa	i
Licença	ii
Prefácio	iii
Sumário	vi
1 Aritmética de Máquina	1
1.1 Sistema de Numeração Posicional	1
1.1.1 Mudança de Base	2
1.1.2 Exercícios Resolvidos	4
1.1.3 Exercícios	8
1.2 Representação de Números em Máquina	9
1.2.1 Números inteiros	10
1.2.2 Ponto flutuante	12
1.2.3 Erro de arredondamento	14
1.2.4 Exercícios Resolvidos	16
1.2.5 Exercício	20
1.3 Notação Científica e Arredondamento	21
1.3.1 Arredondamento	23
1.3.2 Exercícios Resolvidos	25
1.3.3 Exercícios	26
1.4 Tipos e Medidas de Erros	27
1.4.1 Propagação de Erros	31
1.4.2 Cancelamento Catastrófico	35
1.4.3 Exercícios Resolvidos	37

CONTEÚDO

v

650

1.4.4	Exercícios	39
-------	----------------------	----

600

2 Equação com uma Incógnita 41

2.1	Método da Bissecção	41
-----	-------------------------------	----

2.1.1	Análise Numérica	44
-------	----------------------------	----

2.1.2	Zeros de multiplicidade par	49
-------	---------------------------------------	----

2.1.3	Exercícios	51
-------	----------------------	----

2.2	Método da Falsa Posição	52
-----	-----------------------------------	----

550

2.2.1	Exercícios	54
-------	----------------------	----

2.3	Iteração de Ponto Fixo	56
-----	----------------------------------	----

2.3.1	Interpretação geométrica	60
-------	------------------------------------	----

500

2.3.2	Análise Numérica	61
-------	----------------------------	----

2.3.3	Zero de Funções	62
-------	---------------------------	----

2.3.4	Exercícios	64
-------	----------------------	----

2.4	Método de Steffensen	67
-----	--------------------------------	----

450

2.4.1	Acelerador Δ^2 de Aitken	67
-------	---	----

2.4.2	Análise Numérica	69
-------	----------------------------	----

2.4.3	Algoritmo de Steffensen	70
-------	-----------------------------------	----

400

2.5	Método de Newton	72
-----	----------------------------	----

2.5.1	Interpretação geométrica	75
-------	------------------------------------	----

2.5.2	Análise de convergência	78
-------	-----------------------------------	----

2.5.3	Zeros múltiplos	80
-------	---------------------------	----

350

2.6	Método da Secante	83
-----	-----------------------------	----

2.6.1	Interpretação Geométrica	85
-------	------------------------------------	----

2.7	Raízes de Polinômios	88
-----	--------------------------------	----

300

2.7.1	Método de Horner	89
-------	----------------------------	----

2.7.2	Método de Newton-Horner	90
-------	-----------------------------------	----

3 Métodos para Sistemas Lineares 92

3.1	Método da Decomposição LU	93
-----	-------------------------------------	----

250

3.1.1	Sistemas Triangulares	94
-------	---------------------------------	----

3.1.2	Decomposição LU	98
-------	---------------------------	----

200

3.1.3	Resolução do Sistema com Decomposição LU	102
-------	--	-----

3.1.4	Fatoração LU com Pivotamento Parcial	104
-------	--	-----

3.2	Norma e número de condicionamento	111
-----	---	-----

150

3.2.1	Norma L^2	111
-------	-----------------------	-----

3.2.2	Número de condicionamento	112
-------	-------------------------------------	-----

3.2.3	Exercícios	114
-------	----------------------	-----

100

Notas de Aula - Pedro Konzen */* Licença CC-BY-SA 4.0

CONTEÚDO	vi
3.3 Métodos de Jacobi e de Gauss-Seidel	114
3.3.1 Método de Jacobi	114
3.3.2 Método de Gauss-Seidel	117
3.3.3 Análise de convergência	118
3.4 Método do gradiente	120
3.4.1 Escolha do passo	122
3.5 Método do gradiente conjugado	123
4 Sistema de equações não lineares	125
4.1 Método de Newton	125
4.1.1 Considerações sobre convergência	127
4.1.2 Exercícios	128
4.2 Métodos <i>quasi</i> -Newton	129
4.2.1 Método do acorde	129
4.2.2 Jacobiana aproximada	129
4.2.3 Exercícios	130
5 Interpolação	132
5.1 Interpolação polinomial	132
5.2 Interpolação de Lagrange	134
5.2.1 Aproximação de funções	136
5.3 Diferenças divididas de Newton	137
5.4 Spline cúbico	140
5.4.1 Spline <i>Not-a-knot</i>	141
5.4.2 Spline fixado	141
6 Aproximação por mínimos quadrados	144
6.1 Problemas lineares	144
6.1.1 Método das equações normais	145
6.2 Problemas não lineares	151
6.2.1 Método de Gauss-Newton	153
6.2.2 Método de Levenberg-Marquardt	155
Respostas dos Exercícios	158
Referências Bibliográficas	165
Índice Remissivo	166

Capítulo 1

Aritmética de Máquina

```
1 >>> 0.1 + 0.2 == 0.3
2 False
```

1.1 Sistema de Numeração Posicional

[YouTube] | [Vídeo] | [Áudio] | [\[Contatar\]](#)

Cotidianamente, usamos o sistema de numeração posicional na base decimal. Por exemplo, temos

$$123,5 = 1 \times 10^2 + 2 \times 10^1 + 3 \times 10^0 + 5 \times 10^{-1}, \quad (1.1)$$

onde o algarismo/dígito 1 está na posição 2 (posição das centenas), o dígito 2 está na posição 1 (posição das dezenas) e o dígito 3 está na posição 0 (posição das unidades). Mais geralmente, temos a representação decimal

$$\pm d_n \dots d_2 d_1 d_0 d_{-1} d_{-2} d_{-3} \dots \quad (1.2)$$

$$:= \pm \left(d_n \times 10^n + \dots + d_2 \times 10^2 + d_1 \times 10^1 + d_0 \times 10^0 \right. \quad (1.3)$$

$$\left. + d_{-1} \times 10^{-1} + d_{-2} \times 10^{-2} + d_{-3} \times 10^{-3} + \dots \right), \quad (1.4)$$

cujos os dígitos $d_i \in \{0, 1, 2, 3, 4, 5, 6, 7, 8, 9\}$, $i = n, \dots, 2, 1, 0, -1, -2, -3, \dots$. Observamos que esta representação posicional pode ser generalizada para outras bases numéricas.

Definição 1.1.1. (Representação posicional) Dada uma base $b \in \mathbb{N} \setminus \{0\}$, definimos a representação

$$\pm(d_n \dots d_2 d_1 d_0, d_{-1} d_{-2} d_{-3} \dots)_b \quad (1.5)$$

$$:= \pm \left(d_n \times b^n + \dots + d_2 \times b^2 + d_1 \times b^1 + d_0 \times b^0 \right. \quad (1.6)$$

$$\left. + d_{-1} \times b^{-1} + d_{-2} \times b^{-2} + d_{-3} \times b^{-3} + \dots \right), \quad (1.7)$$

onde os dígitos $d_i \in \{0, 1, \dots, b-1\}^1$, $i = n, \dots, 2, 1, 0, -1, -2, -3, \dots$

Exemplo 1.1.1. (Representação binária) O número $(11010,101)_2$ está escrito na representação binária (base $b = 2$). Da Definição 1.1.1, temos

$$\begin{pmatrix} 4 & 3 & 2 & 1 & 0 & -1 & -2 & -3 \\ 1 & 1 & 0 & 1 & 0 & 1 & 0 & 1 \end{pmatrix}_2 \quad (1.8)$$

$$= 1 \times 2^4 + 1 \times 2^3 + 0 \times 2^2 + 1 \times 2^1 + 0 \times 2^0 \quad (1.9)$$

$$+ 1 \times 2^{-1} + 0 \times 2^{-2} + 1 \times 2^{-3} \quad (1.10)$$

$$= 26,625. \quad (1.11)$$

```
1 >>> 1*2**4 + 1*2**3 + 0*2**2 + 1*2**1 + 0*2**0 + \
2 ... 1*2**-1 + 0*2**-2 + 1*2**-3
3 26.625
```

1.1.1 Mudança de Base

Um mesmo número pode ser representado em diferentes bases. A mudança de base da representação de um dado número pode ser feita de várias formas. De forma geral, se temos um número x representado na base b_1 e queremos obter sua representação na base b_2 , fazemos

1. Calculamos a representação do número x na base decimal.
2. Da calculada representação decimal, calculamos a representação de x na base b_2 .

Observamos que o passo 1. ($b \rightarrow 10$) segue imediatamente da Definição 1.1.1. Agora, o passo 2. ($10 \rightarrow b$), podemos usar o seguinte procedimento. Suponhamos que x tenha a seguinte representação decimal

$$d_n d_{n-1} d_{n-2} \dots d_0, d_{-1} d_{-2} d_{-3} \dots \quad (1.12)$$

¹Para bases $b \geq 11$, usamos a representação dos dígitos maiores ou iguais a 10 por letras maiúsculas do alfabeto latino, i.e. $A = 10$, $B = 11$, $C = 12$ e assim por diante.

Então, separamos sua parte inteira $I = d_n d_{n-1} d_{n-2} \dots d_0$ e sua parte fracionária $F = 0, d_{-1} d_{-2} d_{-3} \dots$ ($x = I + F$). Então, usando de sucessivas divisões de I pela base b desejada, obtemos sua representação nesta mesma base. Analogamente, usando de sucessivas multiplicações de F pela base b , obtemos sua representação nesta base. Por fim, basta somar as representações calculadas.

Exemplo 1.1.2. Obtenha a representação em base quartenária ($b = 4$) do número $(11010,101)_2$.

1. $b = 2 \rightarrow 10$. A representação de $(11010,101)_2$ segue direto da Definição 1.1.1 (veja, o Exemplo 1.1.1). Ou seja, temos

$$\begin{pmatrix} 4 & 3 & 2 & 1 & 0 & -1 & -2 & -3 \\ 1 & 1 & 0 & 1 & 0 & 1 & 0 & 1 \end{pmatrix}_2 \quad (1.13)$$

$$= 2^4 + 2^3 + 2^1 + 2^{-1} + 2^{-3} \quad (1.14)$$

$$= 26,625. \quad (1.15)$$

```
1      >>> 2**4 + 2**3 + 2 + 2**-1 + 2**-3
2      26.625
```

2. $b = 10 \rightarrow 4$. Primeiramente, decompomos 26,625 em sua parte inteira $I = 26$ e em sua parte fracionária 0,625. Então, ao fazermos sucessivas divisões de I por $b = 4$, obtemos:

$$I = 26 \quad (1.16)$$

$$= 6 \times 4 + 2 \times 4^0 \quad (1.17)$$

$$= (1 \times 4 + 2) \times 4 + 2 \times 4^0 \quad (1.18)$$

$$= 1 \times 4^2 + 2 \times 4 + 2 \times 4^0 \quad (1.19)$$

$$= (122)_4. \quad (1.20)$$

```
1      I = int(26.625)
2      d_int = []
3      while (I != 0):
4          d_int.insert(0, I % 4)
5          I //= 4
6      print('(' + *d_int, ')_4', sep="")
```

Agora, para a parte fracionária, usamos sucessivas multiplicações de F por $b = 4$, obtendo:

$$F = 0,625 \quad (1.21)$$

$$= 2,5 \times 4^{-1} = 2 \times 4^{-1} + 0,5 \times 4^{-1} \quad (1.22)$$

$$= 2 \times 4^{-1} + 2 \times 4^{-1} \times 4^{-1} \quad (1.23)$$

$$= 2 \times 4^{-1} + 2 \times 4^{-2} \quad (1.24)$$

$$= (0,22)_4. \quad (1.25)$$

```

1      F = 26.625 % 1
2      d_fra = []
3      while (F != 0):
4          F *= 4
5          d_fra.append(int(F))
6          F %= 1
7      print('(0, ', *d_fra, ')_4', sep=" ")

```

Por fim, dos passos 1. e 2., temos $(11010,101)_2 = (122,22)_4$.

```

1      >>> print('(' , *d_int, ', ', *d_fra, ')_4', sep='')
2      (122,22)_4

```

1.1.2 Exercícios Resolvidos

ER 1.1.1. Forneça a representação decimal dos seguintes números:

a) $(10101)_2$

b) $(0,4321)_5$

c) $(23,5)_8$

d) $(A2A)_{11}$

e) $(BEBE)_{16}$

Solução.

a) $(1^4 0^3 1^2 01^{10})_2$

```

1      >>> 0b10101
2      21

```

$$\text{b) } \begin{pmatrix} 0 & -1 & -2 & -3 & -4 \\ 0 & 4 & 3 & 2 & 1 \end{pmatrix}_5$$

```
1      >>> 4*5**-1+3*5**-2+2*5**-3+5**-4
2      0.93760000000000001
```

$$\text{c) } \begin{pmatrix} 1 & 0 & -1 \\ 2 & 3 & 5 \end{pmatrix}_8$$

```
1      >>> 0o235 / 8**1
2      19.625
```

$$\text{d) } \begin{pmatrix} 2 & 1 & 0 \\ A & 2 & A \end{pmatrix}_{11}$$

```
1      >>> int('A2A', 11)
2      1242
```

$$\text{e) } \begin{pmatrix} 3 & 2 & 1 & 0 \\ B & E & B & E \end{pmatrix}_{16}$$

```
1      >>> 0xBEBE
2      48830
```

◇

ER 1.1.2. Forneça a representação na base indicada dos seguintes números decimais:

- a) $203 \rightarrow \text{base } 2$
- b) $0,671875 \rightarrow \text{base } 2$
- c) $17,25 \rightarrow \text{base } 8$
- d) $3245,875 \rightarrow \text{base } 16$

Solução.

- a) $203 \rightarrow \text{base } 2$ Usando o método [Python bin](#), obtemos

```
1      >>> bin(203)
2      '0b11001011'
```

ou seja, $203 = (11001011)_2$.

- b) $0,671875 \rightarrow \text{base } 2$.

Executando o código

```

1      F = 0.671875
2      digs = []
3      while (F != 0):
4          F *= 2
5          digs.append(int(F))
6          F %= 1
7      print('(0,','*digs,')_2',sep="")

```

obtemos que $0,671875 = (0,101011)_2$.

c) $17,25 \rightarrow$ base 8

Temos que

$$17,25 = 17 + 0,25 \quad (1.26)$$

$$= 16 + 1 + \frac{2}{8} \quad (1.27)$$

$$= 2 \cdot 8^1 + 1 \cdot 8^0 + 2 \cdot 8^{-1} \quad (1.28)$$

$$= (21,2)_8 \quad (1.29)$$

d) $3245,875 \rightarrow$ base 16

Executando o seguinte código

```

1      # base
2      b = 16
3      # dígitos
4      digs = "0123456789ABCDEF"
5
6      # número
7      x = 3245.875
8
9      # parte inteira
10     I = int(x)
11     di = []
12     while (I != 0):
13         di.insert(0, I % b)
14         I //= b
15
16     # parte fracionária
17     F = x % 1

```

```

18     df = []
19     while (F != 0):
20         F *= b
21         df.append(int(F))
22         F %= 1
23
24     print('(',*[digs[d] for d in di],\
25           ', ',*[digs[d] for d in df],f')_{b}',sep="")

```

obtemos $3245,875 = (CAD,E)_{16}$.

◇

ER 1.1.3. Na base indicada, forneça a representação dos seguintes números:

a) $(1101)_2 \rightarrow$ base 8

b) $(1011,0101)_2 \rightarrow$ base 8

Solução.

a) $(1101)_2 \rightarrow$ base 8

```

1         >>> oct(0b1101)
2         '0o15'

```

Ou seja, $(1101)_2 = (15)_8$.

b) $(1011,0101)_2 \rightarrow$ base 8

Primeiro, convertemos $(1011,0101)_2$ para decimal (base 10).

```

1         >>> 0b10110101 / 2**4
2         11.3125

```

Logo, convertemos para a base octal (base 8) com o seguinte código:

```

1         # base
2         b = 8
3
4         # número
5         x = 11.3125
6
7         # parte inteira
8         I = int(x)

```

```
9      di = []
10     while (I != 0):
11         di.insert(0, I % b)
12         I //= b
13
14     # parte fracionária
15     F = x % 1
16     df = []
17     while (F != 0):
18         F *= b
19         df.append(int(F))
20         F %= 1
21
22     print('(',*di,', ','*df,f')_{'b}','',sep="")
```

Com este último, obtemos $(1011,0101)_2 = 11,3125 = (13,24)_8$

◇

1.1.3 Exercícios

Exercício 1.1.1. Obtenha a representação decimal dos seguintes números:

- a) $(101101,00101)_2$
- b) $(23,1)_4$
- c) $(DAAD)_{16}$
- d) $(33,11)_8$
- e) $(51)_3$

Exercício 1.1.2. Obtenha a representação dos seguintes números decimais na base indicada:

- a) 10 na base 2.
- b) 45,5 na base 2.
- c) 41 na base octal.
- d) 66,31640625 na base hexadecimal.

e) $0,\bar{3}$ na base 3.

Exercício 1.1.3. Obtenha a representação dos seguintes números na base indicada:

a) $(101101,00101)_2$ na base 4.

b) $(23,1)_4$ na base 2.

c) $(2001)_{16}$ na base 8.

Exercício 1.1.4. Obtenha a representação dos seguintes números na base indicada:

a) $(0,1)_3$ na base decimal.

b) $(0,\bar{1})_3$ na base decimal.

c) $0,\bar{3}$ na base octal.

Exercício 1.1.5. Obtenha a representação dos seguintes números na base indicada:

a) $0,3$ na base 4.

b) $0,3$ na base 9.

c) $(A8)_{16}$ na base 5.

1.2 Representação de Números em Máquina

[\[YouTube\]](#) | [\[Vídeo\]](#) | [\[Áudio\]](#) | [\[Contatar\]](#)

Usualmente, números são manipulados em máquina através de suas representações em registros com n -bits. Ao longo desta seção, vamos usar a seguinte notação

$$[b_1 \ b_2 \ b_3 \ \cdots \ b_n], \quad (1.30)$$

para representar um registro de n -bits $b_i \in \{0, 1\}$, $i = 1, 2, \dots, n$.

Na sequência, fazemos uma breve discussão sobre as formas comumente usadas para a manipulação de números em computadores.

1.2.1 Números inteiros

O sistema de complemento de 2 é utilizado em computadores para a manipulação de números inteiros. Nesta representação, um registro de n *bits*

$$[d_1 \ d_2 \ d_3 \ \cdots \ d_n], \quad (1.31)$$

representa o número inteiro

$$x = (d_{n-1} \ \dots \ d_2 \ d_1)_2 - d_n 2^{n-1}. \quad (1.32)$$

Exemplo 1.2.1. O registro de 8 *bits*²

$$[1 \ 1 \ 0 \ 0 \ 0 \ 0 \ 0 \ 0] \quad (1.33)$$

representa o número

$$x = -d_8 \cdot 2^{8-1} + (d_7 \ d_6 \ \dots \ d_1)_2 \quad (1.34)$$

$$= -0 \dots 2^7 + (0 \ 0 \ 0 \ 0 \ 0 \ 1 \ 1)_2 \quad (1.35)$$

$$= 2^1 + 2^0 = 3. \quad (1.36)$$

Podemos implementar um conversor de registro para número inteiro como segue

Código 1.1: packbits8.py

```
1 def packBitsInt8(dd):
2     x = -dd[7] * 2**7
3     for i, d in enumerate(dd[:7]):
4         x += d * 2**(i)
5     return x
```

Esta função, converte uma lista de *bits* (registro) no inteiro corresponde ao sistema de complemento 2.

```
1 >>> packBitsInt8([1,1,0,0,0,0,0,0])
2 3
```

²8 *bits* = 1 *byte* [B].

Na representação de complemento de 2 com n bits, o menor e o maior números inteiros são obtidos com os registros

$$-2^{n-1} \sim [0\ 0\ 0\ 0\ \dots\ 1], \quad (1.37)$$

$$2^{n-1} - 1 \sim [1\ 1\ 1\ \dots\ 1\ 0], \quad (1.38)$$

respectivamente. Já o zero é obtido com o registro

$$0 \sim [0\ 0\ 0\ 0\ 0\ 0\ 0\ 0]. \quad (1.39)$$

Exemplo 1.2.2. Com um registro de 8-bits, temos que o menor e o maior números inteiros que podem ser representados são

$$[0\ 0\ 0\ 0\ 0\ 0\ 0\ 1] \quad (1.40)$$

$$\sim -2^7 + (0000000)_2 = -128, \quad (1.41)$$

e

$$[1\ 1\ 1\ 1\ 1\ 1\ 1\ 0] \quad (1.42)$$

$$\sim -0 \cdot 2^7 + (1111111)_2 = 127, \quad (1.43)$$

respectivamente.

Usando o Código 1.1, temos

```
1      >>> packBitsInt8([0,0,0,0,0,0,0,1])
300    -128
3      >>> packBitsInt8([1,1,1,1,1,1,1,0])
4      127
5      >>> packBitsInt8([0,0,0,0,0,0,0,0])
250    0
6
```

Observação 1.2.1. No NumPy, o dtype=numpy.int8 corresponde a inteiros de 8 bits.

```
1      >>> import numpy as np
2      >>> np.array([-127, 0, 3, 128, 129], dtype=np.int8)
150    3      array([-127,      0,      3, -128, -127], dtype=int8)
```

Consulte a lista de tipos básicos do NumPy em [NumPy:Data types](#).

A adição de números inteiros na representação de complemento de 2 pode ser feita de maneira simples. Por exemplo, consideremos a soma $3 + 9$ usando registros de 8 *bits*. Temos

$$3 \sim [1\ 1\ 0\ 0\ 0\ 0\ 0\ 0] \quad (1.44)$$

$$9 \sim [1\ 0\ 0\ 1\ 0\ 0\ 0\ 0] + \quad (1.45)$$

$$\text{---} \text{---} \text{---} \text{---} \text{---} \text{---} \text{---} \text{---} \quad (1.46)$$

$$12 \sim [0\ 0\ 1\ 1\ 0\ 0\ 0\ 0] \quad (1.47)$$

No sistema de complemento de 2, a representação de um número negativo $-x$ pode ser obtida da representação de x , invertendo seus *bits* e somando 1. Por exemplo, a representação de -3 pode ser obtida da representação de 3, como segue

$$3 \sim [1\ 1\ 0\ 0\ 0\ 0\ 0\ 0]. \quad (1.48)$$

Invertendo seus *bits* e somando 1, obtemos

$$-3 \sim [1\ 0\ 1\ 1\ 1\ 1\ 1\ 1]. \quad (1.49)$$

A subtração de números inteiros usando a representação de complemento de 2 fica, então, tanto simples quanto a adição. Por exemplo:

$$3 \sim [1\ 1\ 0\ 0\ 0\ 0\ 0\ 0] \quad (1.50)$$

$$-9 \sim [1\ 1\ 1\ 0\ 1\ 1\ 1\ 1] + \quad (1.51)$$

$$\text{---} \text{---} \text{---} \text{---} \text{---} \text{---} \text{---} \text{---} \quad (1.52)$$

$$-6 \sim [0\ 1\ 0\ 1\ 1\ 1\ 1\ 1] \quad (1.53)$$

1.2.2 Ponto flutuante

A manipulação de números decimais em computadores é comumente realizada usando a representação de ponto flutuante de 64 *bits*³. Nesta, um dado registro de 64 *bits*

$$[s \mid c_{10} \ c_9 \ \dots \ c_0 \mid m_1 \ m_2 \ \dots \ m_{52}] \quad (1.54)$$

³Padrão IEEE 754.

representa o número

$$x = (-1)^s M \cdot 2^{c-1023}, \quad (1.55)$$

onde M é chamada de mantissa e c da característica, as quais são definidas por

$$M := (1, m_1 m_2 m_3 \dots m_{52})_2, \quad (1.56)$$

$$c := (c_{10} \dots c_2 c_1 c_0)_2. \quad (1.57)$$

Exemplo 1.2.3. Por exemplo, na representação em ponto flutuante de 64 *bits*, temos que o registro

$$[1 \mid 10 \dots 00 \mid 10100 \dots 0] \quad (1.58)$$

representa o número $-3,25$.

A seguinte função faz a conversão uma lista de 64 *bits* no número decimal corresponde ao sistema de ponto flutuante de 64 *bits*.

Código 1.2: packBitsDouble.py

```

1      def packBitsDouble(ld):
2          s = ld[0]
3          c = 0
4      for i, d in enumerate(ld[1:12]):
5          c += d * 2**(10-i)
6          m = 1.
7      for i, d in enumerate(ld[12:]):
8          m += d * 2**(-(i+1))
9      x = m * 2**(c - 1023)
10     return -x if s else x

```

Por exemplo, usando-a para o registro acima, obtemos

```

1      >>> ld[0]=1; ld[1]=1; ld[12]=1; ld[13]=1
150 2      >>> packBitsDouble(ld)
3      -3.5

```

1.2.3 Erro de arredondamento

Dado um número real x , sua representação $fl(x)$ em ponto flutuante é o registro que representa o número mais próximo de x . Este procedimento é chamado de arredondamento por proximidade.

A seguinte função obtém a representação em ponto flutuante de 64 *bits* de um dado número x ⁴.

Código 1.3: unpackBitsDouble.py

```
1  import numpy as np
2
3  def unpackBitsDouble(x):
4      ld = 64*[0]
5      if ( x == 0):
6          return ld
7      elif (x < 0):
8          ld [0] = 1
9      x = np.fabs(x)
10     c = int(np.log2(x) + 1023)
11     m = x/2**(c - 1023)
12     for i in range(11):
13         ld [11 - i] = c % 2
14         c //= 2
15     m -= 1
16     for i in range(52):
17         m *= 2
18         ld [12+ i] = int(m)
19         m %= 1
20     return ld
```

Por exemplo, $x = 1,1$ é representado pelo registro

```
1  >>> ld = unpackBitsDouble(1.1)
2  >>> ld
3  [0, 0, 1, 1, 1, 1, 1, 1,
4   1, 1, 1, 1, 0, 0, 0, 1,
5   1, 0, 0, 1, 1, 0, 0, 1,
6   1, 0, 0, 1, 1, 0, 0, 1,
```

⁴Esta função não é precisa e pode fornecer registros errados devido a erros de arredondamento. Uma alternativa melhor é apresentada na Observação 1.2.2.

```

7      1, 0, 0, 1, 1, 0, 0, 1,
650 8      1, 0, 0, 1, 1, 0, 0, 1,
9      1, 0, 0, 1, 1, 0, 0, 1,
10     1, 0, 0, 1, 1, 0, 1, 0]

```

que corresponde ao número

```

1      >>> flx = packBitsDouble(ld)
2      >>> print(f'{flx:1.51f}')
550 3      1.1000000000000000008881784197
4      0012523233890533447265625

```

O erro de arredondamento é $|x - fl(x)| \approx 8,9 \times 10^{-17}$.

Observação 1.2.2. O seguinte código é uma solução mais pythonica para obter-se o registro em ponto flutuante de 64 *bits* de $x = 1,1$.

```

450 1      >>> ''.join(f'{c:08b}' for c in struct.pack('!d', 1.1))
2      '00111111111110001
3      1001100110011001
400 4      1001100110011001
5      1001100110011010 '

```

Recomendamos consultar [4] para mais informações sobre a conversão eficiente de números decimais em pontos flutuantes.

Observemos que o erro de arredondamento varia conforme o número dado, podendo ser zero no caso de $x = fl(x)$. Comumente, utiliza-se o **épsilon de máquina** como uma aproximação desse erro. O épsilon de máquina é definido como a distância entre o número 1 e seu primeiro sucessor em ponto flutuante. Temos

```

250 1      >>> ld = unpackBitsDouble(1)
2      >>> ld
3      [0, 0, 1, 1, 1, 1, 1, 1,
200 4      1, 1, 1, 1, 0, 0, 0, 0,
5      0, 0, 0, 0, 0, 0, 0, 0,
6      0, 0, 0, 0, 0, 0, 0, 0,
7      0, 0, 0, 0, 0, 0, 0, 0,
150 8      0, 0, 0, 0, 0, 0, 0, 0,
9      0, 0, 0, 0, 0, 0, 0, 0,
10     0, 0, 0, 0, 0, 0, 0, 0]

```

```
11 >>> ld[63] = 1
12 >>> x = packBitsDouble(ld)
13 >>> x-1
14 2.220446049250313e-16
```

Ou seja, o épsilon de máquina é

$$\text{eps} := 2^{-52} \approx 2,22 \times 10^{-16}. \quad (1.59)$$

Observação 1.2.3. O método `numpy.finfo` pode ser usado para obtermos várias informações sobre o sistema de números em ponto flutuante. Por exemplo, temos

```
1 >>> import numpy as np
2 >>> finfo = np.finfo(np.double)
3 >>> finfo.eps
4 2.220446049250313e-16
5 >>> finfo.min
6 -1.7976931348623157e+308
7 >>> finfo.max
8 1.7976931348623157e+308
```

A aritmética em ponto flutuante requer arredondamentos sucessivos de números. Por exemplo, a computação da soma de dois números dados x e y é feita a partir de suas representações em ponto flutuante $fl(x)$ e $fl(y)$. Então, computa-se $z = fl(x) + fl(y)$ e o resultado é $fl(z)$. Observe, inclusive que $fl(x + y)$ pode ser diferente de $fl(fl(x) + fl(y))$. Por exemplo

```
1 >>> 0.1 + 0.2 == 0.3
2 False
```

1.2.4 Exercícios Resolvidos

ER 1.2.1. No sistema de complemento 2 de 8 *bits*, forneça o registro que representa os seguintes números inteiros:

- a) 1
- b) -1
- c) 15

d) -15

Solução. A seguinte função, obtém o registro de complemento 2 de 8-*bits* de um dado número inteiro x .

```

1      def unpackBitsInt8(x):
2          ld = 8*[0]
3          if (x < 0):
4              ld[7] = 1
5              x += 2**(7)
6          for i in range(7):
7              ld[i] = x % 2
8              x //= 2
9          return ld

```

Usando-a, obtemos os seguintes resultados:

```

1      >>> # a) 1
2      >>> unpackBitsInt8(1)
3      [1, 0, 0, 0, 0, 0, 0, 0]
4      >>> unpackBitsInt8(-1)
5      [1, 1, 1, 1, 1, 1, 1, 1]
6      >>> # c) 15
7      >>> unpackBitsInt8(15)
8      [1, 1, 1, 1, 0, 0, 0, 0]
9      >>> unpackBitsInt8(-15)
10     [1, 0, 0, 0, 1, 1, 1, 1]

```

◇

ER 1.2.2. Qual é o número decimal positivo mais próximo de zero que pode ser representado como um ponto flutuante de 64-*bits*. Também, forneça seu registro.

Solução. Um registro em ponto flutuante de 64-*bits* tem a forma

$$[s \mid c_{10} \ c_9 \ \dots \ c_0 \mid m_1 \ m_2 \ \dots \ m_{52}] \quad (1.60)$$

e representa o número

$$x = (-1)^s M \cdot 2^{c-1023}, \quad (1.61)$$

onde M é chamada de mantissa e c da característica, as quais são definidas por

$$M := (1, m_1 m_2 m_3 \dots m_{52})_2, \quad (1.62)$$

$$c := (c_{10} \dots c_2 c_1 c_0)_2. \quad (1.63)$$

Tendo em vista que o registro nulo é reservado para o número decimal zero, temos que o número positivo mais próximo de zero é obtido com sinal $s = 0$, a mantissa $M = 1$ e a característica $c = 1$, no que obtemos o decimal

$$x = 2^{-1022} \quad (1.64)$$

$$\approx 2.2250738585072014e - 308 \quad (1.65)$$

Seu registro é

$$[0 \mid 0 \ 0 \ \dots \ 1 \mid 0 \ 0 \ \dots \ 0] \quad (1.66)$$

O resultado pode ser verificado com os seguintes comandos:

```
1 >>> import numpy as np
2 >>> import struct
3 >>> x = np.finfo(np.double).tiny; x
4 2.2250738585072014e-308
5 >>> ''.join(f'{c:08b}' \
6 ... for c in struct.pack('!d', x))
7 '00000000000010000
8 00000000000000000
9 00000000000000000
10 00000000000000000'
```

◇

ER 1.2.3. Em aplicações que não necessitam de muita precisão, a representação de números decimais no sistema de ponto flutuante de 32 *bits* é mais eficiente (no sentido de velocidade de processamento computacional). Neste sistema, um registro de 32-*bits*

$$[s \mid c_7 \ c_6 \ \dots \ c_0 \mid m_1 \ m_2 \ \dots \ m_{23}] \quad (1.67)$$

representa o número

$$x = (-1)^s \cdot M \cdot 2^{c-127} \quad (1.68)$$

onde,

$$M = (1, m_1 m_2 \dots m_{23})_2 \quad (1.69)$$

$$c = (c_7 c_6 \dots c_0)_2 \quad (1.70)$$

- a) Forneça o registro do ponto flutuante de 32-*bits* que representa o número 42,5.
- b) Qual é o sucessor em ponto flutuante de 32-*bits* do número decimal 1. Forneça, também, o épsilon de máquina deste sistema.

Solução.

- a) O registro do ponto flutuante de 32-*bits* que representa o número 42,5 pode ser computado com o seguinte código:

```

1      x = 42.5
2      ld = 32*[0]
3      c = int(np.log2(x) + 127)
4      m = x/2**(c-127)
5      for i in range(8):
6          ld[8-i] = c % 2
7          c //= 2
8      m -= 1
9      for i in range(23):
10         m *= 2
11         ld[9+i] = int(m)
12         m %= 1

1      >>> ld
2      [0, 1, 0, 0, 0, 0, 1, 0,
3      0, 0, 1, 0, 1, 0, 1, 0,
4      0, 0, 0, 0, 0, 0, 0, 0,
5      0, 0, 0, 0, 0, 0, 0, 0]
```

Alternativamente, pode-se obter o registro como segue:

```

1      >>> ''.join(f'{c:08b}' \
2      ... for c in struct.pack('!f', 42.5))
3      '0100001000101010
4      0000000000000000'
```

b) No sistema de ponto flutuante de 32-*bits*, o sucessor de 1 tem o registro

$$[0 \mid 0 \ 1 \ 1 \ \dots \ 1 \mid 0 \ 0 \ \dots \ 0 \ 1] \quad (1.71)$$

donde, sua mantissa é $m = 1 + 2^{-23}$, característica $c = 127$ e corresponde ao número decimal

$$x = (-1)^0 \cdot (1 + 2^{-23}) \cdot 2^{127-127} \quad (1.72)$$

$$x = 1 + 2^{-23} \quad (1.73)$$

Portanto, o épsilon de máquina neste sistema é

$$\text{eps} = x - 1 \quad (1.74)$$

$$= 2^{-23} \quad (1.75)$$

```
1      >>> np.float32(2**-23)
2      1.1920929e-07
```

◇

Em construção ...

1.2.5 Exercício

Exercício 1.2.1. Considerando a representação de complemento de 2 de números inteiros, obtenha os registros de 8-*bits* dos seguintes números:

- a) 17
- b) -17
- c) 32
- d) -32

Exercício 1.2.2. Considerando a representação de complemento de 2 de números inteiros, obtenha os registros de 16-*bits* dos seguintes números:

- a) 1024

b) -1024

Exercício 1.2.3. Considerando a representação de complemento de 2 de números inteiros, qual é o maior número que pode ser representado por um registro de 32-bits da forma

$$[1 \ 0 \ b_2 \ b_3 \ b_4 \ \cdots \ b_{30} \ 1], \quad (1.76)$$

onde $b_i \in \{0, 1\}$, $i = 2, 3, 4, \dots, 30$.

Exercício 1.2.4. Obtenha os registros em ponto flutuante de 64-bits dos seguintes números:

a) $-1,25$

b) 3

Exercício 1.2.5. Assumindo o sistema de ponto flutuante de 32-bits, obtenha o registro e o erro de arredondamento na representação dos seguintes números decimais:

a) $0,1$

b) $10,1$

c) $100,1$

1.3 Notação Científica e Arredondamento

Enquanto que a manipulação computacional de números decimais é feita usando-se da aritmética em ponto flutuante, a interpretação dos parâmetros dos problemas de interesse e seus resultados é normalmente feita com poucos dígitos. Nesta seção, introduziremos algumas notações que serão utilizadas ao longo deste material.

A **notação científica** é a representação de um dado número na forma

$$d_n \dots d_2 d_1 d_0, d_{-1} d_{-2} d_{-3} \dots \times 10^E, \quad (1.77)$$

onde d_i , $i = n, \dots, 1, 0, -1, \dots$, são algarismos da base 10. A parte à esquerda do sinal \times é chamada de **mantissa** do número e E é chamado de **expoente** (ou ordem de grandeza).

Exemplo 1.3.1. O número 31,515 pode ser representado em notação científica das seguintes formas

$$31,415 \times 10^0 = 3,1415 \times 10^1 \quad (1.78)$$

$$= 314,15 \times 10^{-1} \quad (1.79)$$

$$= 0,031415 \times 10^3, \quad (1.80)$$

entre outras tantas possibilidades.

Em Python, usa-se a letra `e` para separar a mantissa do expoente na notação científica. Por exemplo

```
1      >>> # 31.415 X 10^0
2      >>> 31.415e0
3      31.515
4      >>> # 3.1415 X 10^1
5      >>> 3.1415e1
6      31.515
7      >>> # 314.15 X 10^-1
8      >>> 314.15e-1
9      31.515
10     >>> # 0.031415 X 10^3
11     >>> 0.031415e3
12     31.415
```

No exemplo anterior (Exemplo 1.3.1), podemos observar que a representação em notação científica de um dado número não é única. Para contornar isto, introduzimos a **notação científica normalizada**, a qual tem a forma

$$d_0 d_{-1} d_{-2} d_{-3} \dots \times 10^E, \quad (1.81)$$

com $d_0 \neq 0$ ⁵.

Exemplo 1.3.2. O número 31,415 representado em notação científica normalizada é $3,1415 \times 10^1$.

Em Python, podemos usar o método `format` para imprimir um número em notação científica normalizada. Por exemplo, temos

⁵No caso do número zero, temos $d_0 = 0$.

```

1      >>> x = 31.415
650 2      >>> print(f"{x:e}")
3      3.141500e+01

```

Como vimos na seção anterior, usamos da aritmética de ponto flutuante nas computações, com a qual os números são representados com muito mais dígitos dos quais costumeiramente estamos interessados na interpretação dos resultados. Isto nos leva de volta a questão do arredondamento.

Dizemos que um número está representado com n dígitos significativos (na notação científica normalizada) quando está escrito na forma

$$d_0, d_1 d_2 \dots d_{n-1} \times 10^E, \quad (1.82)$$

com $d_0 \neq 0$.

Exemplo 1.3.3. Estudamos as seguintes representações do número 31,415:

a) com 5 dígitos significativos

```

400 1      >>> x = 31.415
2      >>> print(f"{x:.4e}")
3      3.1415e+01

```

b) com 6 dígitos significativos

```

350 1      >>> print(f"{x:.5e}")
300 2      3.14150e+01

```

c) com 4 dígitos significativos

```

250 1      >>> print(f"{x:.3e}")
2      3.142e+01

```

Neste último caso, fez-se necessário arredondar o número.

1.3.1 Arredondamento

Observamos que pode ocorrer a necessidade de se arredondar um número para obter sua representação com um número finito de dígitos significativos. Por exemplo, para representarmos o número $x = 3,1415 \times 10^1$ com 3 dígitos

significativos, precisamos determinar de que forma vamos considerar a contribuição de seus demais dígitos a direita. Isto, por sua vez, é determinado pelo tipo de arredondamento que iremos utilizar.

O tipo de arredondamento mais comumente utilizado é o chamado **arredondamento por proximidade com desempate par**. Neste, a representação escolhida é aquela mais próxima do número dado. Por exemplo, a representação de

$$x = 3,1415 \times 10^1 \quad (1.83)$$

com três dígitos significativos é

$$x = 3,14 \times 10^1. \quad (1.84)$$

Agora, sua representação com apenas dois dígitos significativos é

$$x = 3,1 \times 10^1. \quad (1.85)$$

No caso de empate, usa-se a seguinte regra: 1) se o último dígito significativo ser par, este é mantido; 2) se o último dígito significativo ser ímpar, este é acrescido de uma unidade. Por exemplo, no caso do número $x = 3,1415 \times 10^1$, sua representação com 4 dígitos significativos é

$$x = 3,142 \times 10^1. \quad (1.86)$$

Observação 1.3.1. O arredondamento por proximidade com desempate par é o padrão do IEEE 754⁶. No entanto, devemos lembrar que a maioria dos números decimais não tem representação exata no sistema de ponto flutuante. Por exemplo,

```
1      >>> x = 31.415
2      >>> print(f'{x:.3e}')
3      3.141e+01
```

Embora o arredondamento não seja o esperado, o que ocorre é que $x = 31,415$ não tem representação exata em ponto flutuante, de fato

```
1      >>> print(f'{x:.25e}')
2      3.1414999999999999147348717e+01
```

No restante deste material estaremos assumindo a notação científica normalizada com arredondamento por proximidade com desempate par.

⁶Para mais detalhes, consulte [IEEE 754: Wikipedia](#).

1.3.2 Exercícios Resolvidos

ER 1.3.1. Faça o cálculo exato e a computação de

$$\frac{0,33411 \times 10^2 - 271,28 \times 10^{-1}}{2000 \times 10^{-3}} \quad (1.87)$$

Forneça os resultados com 4 dígitos significativos.

Solução.

- Por cálculo exato.

$$\frac{0,33411 \times 10^2 - 271,28 \times 10^{-1}}{2000 \times 10^{-3}} \quad (1.88)$$

$$= \frac{334,11 \times 10^{-1} - 271,28 \times 10^{-1}}{2 \times 10^0} \quad (1.89)$$

$$= \frac{63,83 \times 10^{-1}}{2} \quad (1.90)$$

$$= 31,415 \times 10^{-1} \quad (1.91)$$

Arredondando o resultado para 4 dígitos significativos, obtemos 3,142.

- Por computação.

```

1      >>> x = (0.33411e2 - 271.28e-1)/2000e-3
2      >>> x
3      3.1415000000000006
4      >>> print(f'{x:.3e}')
5      3.142e+00

```

◇

ER 1.3.2. Obtenha os arredondamentos dos seguintes números decimais para quantidade de dígitos significativos indicada em cada caso. Então, compare com a computada em ponto flutuante.

- 2,7128 com 4 dígitos significativos.
- 2,7128 com 2 dígitos significativos.
- 1,9910 com 3 dígitos significativos.
- 1,9910 com 2 dígitos significativos.

e) 5,5555 com 4 dígitos significativos.

f) 5,6555 com 4 dígitos significativos.

Solução.

a) 2,7128 com 4 dígitos significativos = 2,713

```
1      >>> f '{2.7128:.3e}'
2      '2.713e+00'
```

b) 2,7128 com 2 dígitos significativos = 2,7

```
1      >>> f '{2.7128:.1e}'
2      '2.7e+00'
```

c) 1,9910 com 3 dígitos significativos = 1,99

```
1      >>> f '{1.9910:.2e}'
2      '1.99e+00'
```

d) 1,9910 com 2 dígitos significativos = 2,0

```
1      >>> f '{1.9910:.1e}'
2      '2.0e+00'
```

e) 5,5555 com 4 dígitos significativos = 5,556

```
1      >>> f '{5.5555:.3e}'
2      '5.556e+00'
```

f) 5,6555 com 4 dígitos significativos = 5,556

```
1      >>> f '{5.6555:.3e}'
2      '5.655e+00'
```

◇

1.3.3 Exercícios

Exercício 1.3.1. Obtenha a representação dos seguintes números decimais em notação científica normalizada com a quantidade de dígitos indicada em cada caso. Então, compare com o arredondamento computado em ponto flutuante. Caso haja diferença, explique.

- a) π com 6 dígitos significativos.
- b) $\pi/10$ com 6 dígitos significativos.
- c) $\sqrt{2}/\sqrt{3}$ com 7 dígitos significativos.

Exercício 1.3.2. Compute a seguinte expressão

$$\frac{\sqrt{\pi} - \ln(0,9)}{75 \cos\left(\frac{\pi}{4}\right)}. \quad (1.92)$$

Forneça a resposta com 7 dígitos significativos.

Exercício 1.3.3. Forneça o arredondamento dos seguintes números decimais para 2 dígitos significativos. Então, compare com o arredondamento computado em ponto flutuante. Caso haja diferença, explique.

- a) 0,625
- b) 0,615
- c) 0,635

Exercício 1.3.4. Seja f_s a função que recebe número decimal e retorna sua aproximação por arredondamento com 2 dígitos significativos. Calcule

- a) $f_s(2\pi - e)$
- b) $2f_s(\pi) - f_s(e)$
- c) Por que $f_s(2\pi - e) \neq 2f_s(\pi) - f_s(e)$?

Exercício 1.3.5. Explique o porquê de

```
1      >>> np.sqrt(3)**2 == 3
2      False
```

1.4 Tipos e Medidas de Erros

Ao utilizarmos computadores na resolução de problemas matemáticos, acabamos obtendo soluções aproximadas. A diferença entre a solução exata e

a solução aproximada computada é chamada de erro. O erro é comumente classificado nas seguintes duas categorias:

- **Erro de Arredondamento**

Este é o erro que ocorre na representação aproximada de números na máquina.

- **Erro de Truncamento**

Este é o erro que ocorre na interrupção (truncamento) de um procedimento com infinitos passos.

Exemplo 1.4.1. (**Erro de Arredondamento.**) O erro de arredondamento em aproximar π por $3,1415 \times 10^0$ é de aproximadamente $9,3 \times 10^{-5}$.

```
1 >>> import numpy as np
2 >>> np.pi - 3.1415e0
3 9.265358979293481e-05
```

Exemplo 1.4.2. (**Erro de Truncamento.**) Consideramos a seguinte série numérica $\sum_{n=0}^{\infty} 1/n! = e \approx 2,7183 \times 10^0$. Ao computarmos esta série no computador, precisamos truncá-la em algum n suficientemente grande. Por exemplo, truncando a série em seu nono termo, temos

$$\sum_{n=0}^{\infty} \frac{1}{n!} \approx \frac{1}{0!} + \frac{1}{1!} + \frac{1}{2!} + \frac{1}{3!} + \cdots + \frac{1}{8!} \quad (1.93)$$

$$\approx 2.71827876984127 =: \tilde{e}. \quad (1.94)$$

```
1 import math
2 x = 0
3 for n in range(9):
4     x += 1./math.factorial(n)
5 print(math.fabs(math.e - x))
```

A diferença $|e - \tilde{e}| \approx 3 \times 10^{-6}$ é o erro de truncamento associado.

Suponhamos, agora, que x seja o valor exato (valor esperado) de uma quantidade de interesse e \tilde{x} o valor computado (aproximação de x). Em matemática numérica, utilizamos frequentemente as seguintes medidas de erro:

- **Erro absoluto:**

$$\varepsilon_{\text{abs}} := |x - \tilde{x}|. \quad (1.95)$$

- **Erro relativo:**

$$\varepsilon_{\text{rel}} := \frac{|x - \tilde{x}|}{|x|} (\times 100\%). \quad (1.96)$$

A vantagem do erro relativo é em levar em conta a ordem de grandeza da quantidade x .

Exemplo 1.4.3. Estudamos os seguintes casos:

a) $x = 1,0$ e $\tilde{x} = 1,1$:

$$\varepsilon_{\text{abs}} = |x - \tilde{x}| \quad (1.97)$$

$$= |1,0 - 1,1| \quad (1.98)$$

$$= |-0,1| \quad (1.99)$$

$$= 1 \times 10^{-1}. \quad (1.100)$$

$$\varepsilon_{\text{rel}} = \frac{|x - \tilde{x}|}{|x|} \quad (1.101)$$

$$= \frac{|1,0 - 1,1|}{|1,0|} \quad (1.102)$$

$$= \frac{|-0,1|}{|1,0|} \quad (1.103)$$

$$= 1 \times 10^{-1} = 10\%. \quad (1.104)$$

```

1      >>> x = 1.0; xa = 1.1
2      >>> eabs = abs(x - xa); eabs
3      0.100000000000000009
4      >>> erel = eabs/abs(x); erel
5      0.100000000000000009

```

b) $x = 1000,0$ e $\tilde{x} = 1100,0$:

$$\varepsilon_{\text{abs}} = |x - \tilde{x}| \quad (1.105)$$

$$= |1000,0 - 1100,0| \quad (1.106)$$

$$= 1 \times 10^2. \quad (1.107)$$

$$\varepsilon_{\text{rel}} = \frac{|x - \tilde{x}|}{|x|} \quad (1.108)$$

$$= \frac{|1000,0 - 1100,0|}{|1000,0|} \quad (1.109)$$

$$= \frac{|-100,0|}{|1000,0|} \quad (1.110)$$

$$= 1 \times 10^{-1} = 10\%. \quad (1.111)$$

```

1      >>> x = 1000.0; xa = 1100.0
2      >>> eabs = abs(x - xa); eabs
3      100.0
4      >>> erel = eabs/abs(x); erel
5      0.1

```

Outra medida de erro comumente empregada é o **número de dígitos significativos corretos**. Dizemos que \tilde{x} aproxima x com n dígitos significativos corretos, quando

$$\underbrace{\frac{|x - \tilde{x}|}{|x|}}_{\varepsilon_{\text{rel}}} < 5 \times 10^{-n}. \quad (1.112)$$

Isso significa que ao arredondarmos x e \tilde{x} ambos com n dígitos, obtemos o mesmo resultado.

Exemplo 1.4.4. Estudamos os seguintes casos:

- $x = 2$ e $\tilde{x} = 2,4$

$$\varepsilon_{\text{rel}} = 0,2 < 5 \times 10^{-1} \quad (1.113)$$

Temos que $\tilde{x} = 2,4$ aproxima $x = 2$ com um dígito significativo correto. Note que ambos são iguais quando os arredondamos para um dígito.

- $x = 2$ e $\tilde{x} = 2,5$

$$\frac{|x - \tilde{x}|}{|x|} = 0,25 < 5 \times 10^{-1} \quad (1.114)$$

Temos que $\tilde{x} = 2,5$ é uma aproximação com 1 dígito significativo correto de $x = 2$. Note que ambos são iguais quando os arredondamos para um dígito.

- $x = 1$ e $\tilde{x} = 1,5$:

$$\frac{|x - \tilde{x}|}{|x|} = 0,5 < 5 \times 10^0, \quad (1.115)$$

Temos que $\tilde{x} = 1,5$ é uma aproximação com zero dígito significativo correto de $x = 1$. Note que ao arredondarmos⁷ \tilde{x} para um dígito, obtemos $\tilde{x} \approx 2$, enquanto que $x = 1$.

1.4.1 Propagação de Erros

Nesta seção, vamos introduzir uma **estimativa para a propagação de erros (de arredondamento) na computação de um problema**. Para tanto, vamos considerar o caso de se calcular o valor de uma dada função f em um dado ponto x , i.e. queremos calcular y com

$$y = f(x). \quad (1.116)$$

Agora, assumindo que x seja conhecido com um erro $\varepsilon(x)$, este se propaga no cálculo da f , levando a um erro $\varepsilon(y)$ no valor calculado de y . Ou seja, temos

$$y + \varepsilon(y) = f(x + \varepsilon(x)). \quad (1.117)$$

Denotamos $\varepsilon_{\text{abs}}(x) = |\varepsilon(x)|$ o erro absoluto associado a x e $\varepsilon_{\text{abs}}(y) = |\varepsilon(y)|$ o erro absoluto associado a y .

Nosso objetivo é estimar $\varepsilon_{\text{abs}}(y)$ com base em $\varepsilon_{\text{abs}}(x)$. Para tanto, tomamos a aproximação de $f(x + \varepsilon(x))$ dada pelo polinômio de Taylor de grau 1 de f em torno de x , i.e.

$$f(x + \varepsilon(x)) = f(x) + f'(x)\varepsilon(x) + O(\varepsilon^2(x)). \quad (1.118)$$

Então, de (1.116) e (1.117), temos

$$\varepsilon(y) = f'(x)\varepsilon(x) + O(\varepsilon^2(x)). \quad (1.119)$$

⁷Assumindo o arredondamento por proximidade com desempate par.

Daí, passando ao valor absoluto e usando a desigualdade triangular, obtemos

$$\varepsilon_{\text{abs}}(y) = |f'(x)\varepsilon(x) + O(\varepsilon^2(x))| \quad (1.120)$$

$$\leq |f'(x)|\varepsilon_{\text{abs}}(x) + O(\varepsilon_{\text{abs}}^2(x)). \quad (1.121)$$

Deste resultado, obtemos a seguinte estimativa de propagação de erro

$$\varepsilon_{\text{abs}}(y) \approx |f'(x)|\varepsilon_{\text{abs}}(x). \quad (1.122)$$

Exemplo 1.4.5. Consideramos o problema em se calcular

$$y = f(x) = x^2 \text{sen}(x) \quad (1.123)$$

com $x = \pi/3 \pm 0,1$. Usando (1.122) para estimarmos o erro absoluto $\varepsilon_{\text{abs}}(y)$ no cálculo de y com base no erro absoluto $\varepsilon_{\text{abs}}(x) = 0,1$, calculamos

$$\varepsilon_{\text{abs}}(y) = |f'(x)|\varepsilon_{\text{abs}}(x) \quad (1.124)$$

$$= |2x \text{sen}(x) + x^2 \cos(x)|\varepsilon_{\text{abs}}(x) \quad (1.125)$$

$$= 2,3621 \times 10^{-1}. \quad (1.126)$$

```

1      >>> import math
2      >>> x = math.pi/3; eabsx = 0.1
3      >>> eabsy = math.fabs(2*x*math.sin(x) \
4      ... + x**2 * math.cos(x)) * eabsx
5      >>> print(f"{eabsy:.4e}")
6      2.3621e-01

```

Com isso, concluímos que um erro em x de tamanho 0,1 é propagado no cálculo de $f(x)$, causando um erro pelo menos duas vezes maior em y . Também, podemos interpretar este resultado do ponto de vista do erro relativo. O erro relativo associado a x é

$$\varepsilon_{\text{rel}}(x) = \frac{\varepsilon_{\text{abs}}(x)}{|x|} \quad (1.127)$$

$$= \frac{0,1}{\pi/3} \quad (1.128)$$

$$= 9,5493 \times 10^{-2} \approx 10\%, \quad (1.129)$$

acarretando um erro relativo em y de

$$\varepsilon_{\text{rel}}(y) = \frac{\varepsilon_{\text{abs}}(y)}{|y|} \quad (1.130)$$

$$= \frac{\varepsilon_{\text{abs}}(y)}{|f(x)|} \quad (1.131)$$

$$= 2,4872 \times 10^{-2} \approx 25\%. \quad (1.132)$$

```

1      >>> import math
2      >>> x = math.pi/3; eabsx = 0.1
3      >>> erelx = eabsx/math.fabs(x)
4      >>> print(f"{erelx*100: .0f} %")
5      10 %
6      >>> f = lambda x: x**2 * math.sin(x)
7      >>> df = lambda x: 2*x*math.sin(x) \
8      ... + x**2 * math.cos(x)
9      >>> eabsy = math.fabs(df(x)) * eabsx
10     >>> erely = eabsy/math.fabs(f(x))
11     >>> print(f"{erely*100: .0f} %")
12     25 %

```

Associada à estimativa (1.4.5), temos

$$\begin{aligned}
 \varepsilon_{\text{rel}}(y) &= \frac{\varepsilon_{\text{abs}}(y)}{|y|} \\
 &= \frac{|f'(x)|}{|y|} \varepsilon_{\text{abs}}(x) \\
 &= \frac{|x| \cdot |f'(x)|}{|f(x)|} \frac{\varepsilon_{\text{abs}}(x)}{|x|} \\
 &= \left| \frac{x f'(x)}{f(x)} \right| \varepsilon_{\text{rel}}(x).
 \end{aligned}$$

Desta última equação, definimos o **número de condicionamento de f** , denotado por

$$\kappa_f(x) := \left| \frac{x f'(x)}{f(x)} \right|. \quad (1.133)$$

Observamos que $\kappa_f(x)$ é a escala com que erros em x são propagados no cálculo de $y = f(x)$.

Exemplo 1.4.6. O número de condicionamento da função $f(x) = x^2 \sin(x)$ no ponto $x = \pi/3$ é calculado por

$$\kappa_f(x) = \left| \frac{x f'(x)}{f(x)} \right| \quad (1.134)$$

$$= \left| \frac{x [2x \sin(x) + x^2 \cos(x)]}{x^2 \sin(x)} \right|. \quad (1.135)$$

Substituindo x por $\pi/3$, obtemos

$$\kappa_f(\pi/3) = 2,6046. \quad (1.136)$$

Observamos que o resultado é compatível com os obtidos no Exemplo 1.4.5.

```
1      >>> import math
2      >>> f = lambda x: x**2 * math.sin(x)
3      >>> df = lambda x: 2*x*math.sin(x) \
4      ... + x**2 * math.cos(x)
5      >>> x = math.pi/3
6      >>> kf = math.fabs(x*df(x)/f(x))
7      >>> print(f"{kf:.4f}")
8      2.6046
```

A estimativa (1.122) pode ser generalizada para uma função de várias variáveis. No caso de uma função $y = f(x_1, x_2, \dots, x_n)$, temos

$$\varepsilon_{\text{abs}}(y) = \sum_{k=1}^n \left| \frac{\partial f}{\partial x_k} \right| \varepsilon_{\text{abs}}(x_k). \quad (1.137)$$

Exemplo 1.4.7. Consideremos o problema em se calcular

$$z = f(x, y) = x^2 \sin(x) \cos(y) \quad (1.138)$$

com

$$x = \frac{\pi}{3} \pm 0,1, \quad (1.139)$$

$$y = \frac{\pi}{4} \pm 0,02. \quad (1.140)$$

Usando (1.137) para estimarmos o erro absoluto $e_{\text{abs}}(z)$ no cálculo de z com base nos erros absolutos $e_{\text{abs}}(x) = 0,1$ e $e_{\text{abs}}(y) = 0,02$, calculamos

$$e_{\text{abs}}(z) = \left| \frac{\partial f}{\partial x} \right| e_{\text{abs}}(x) + \left| \frac{\partial f}{\partial y} \right| e_{\text{abs}}(y) \quad (1.141)$$

$$= |(2x \sin(x) + x^2 \cos(x)) \cos(y)| e_{\text{abs}}(x) \quad (1.142)$$

$$+ |-x^2 \sin(x) \sin(y)| e_{\text{abs}}(y) \quad (1.143)$$

$$= 1,8046 \times 10^{-1}. \quad (1.144)$$

```

1      >>> import math
2      >>> x = math.pi/3
3      >>> eabsx = 0.1
4      >>> y = math.pi/4
5      >>> eabsy = 0.02
6      >>> eabsz = math.fabs((2*x*math.sin(x) \
7      ... + x**2*math.cos(x))*math.cos(y))*eabsx \
8      ... + math.fabs(-x**2*math.sin(x)*math.sin(y))*eabsy
9      >>> print(f"{eabsz:1.4e}")
10     1.8046e-01

```

1.4.2 Cancelamento Catastrófico

No computador (com aritmética de ponto flutuante de 64-*bits*), as operações e funções elementares são computadas, usualmente, com um erro próximo do épsilon de máquina ($\text{eps} \approx 10^{-16}$). Entretanto, em algumas situações estas operações fundamentais acarretam erros maiores, causando uma perda de precisão.

O chamado cancelamento catastrófico ocorre quando computamos a diferença entre dois números próximos. Para ilustrá-lo, considere os seguintes números

$$x = 314150000001549, \quad (1.145)$$

$$y = 314150000002356. \quad (1.146)$$

Assumindo os arredondamentos de x e y com 12 dígitos significativos, temos

$$\tilde{x} = 314150000002000, \quad (1.147)$$

$$\tilde{y} = 314150000002000. \quad (1.148)$$

Os erros relativos associados às aproximações de x e y por \tilde{x} e \tilde{y} são

$$e_{rel}(x) = \frac{|x - \tilde{x}|}{|x|} \approx 10^{-10}\%, \quad (1.149)$$

$$e_{rel}(y) = \frac{|y - \tilde{y}|}{|y|} \approx 10^{-10}\%, \quad (1.150)$$

respectivamente. Agora, temos

$$y - x = 807, \quad (1.151)$$

$$\tilde{y} - \tilde{x} = 0. \quad (1.152)$$

Ou seja, o erro relativo na aproximação de $y - x$ por $\tilde{y} - \tilde{x}$ é

$$e_{rel}(y - x) = \frac{|(y - x) - (\tilde{y} - \tilde{x})|}{(y - x)} \quad (1.153)$$

$$= \frac{807}{807} = 100\%! \quad (1.154)$$

Exemplo 1.4.8. Na tabela abaixo temos os erros em se computar

$$\frac{(1 + x^4) - 1}{x^4} \quad (1.155)$$

para diferentes valores de x .

x	erro
1	0
10^{-1}	$1,1 \times 10^{-13}$
10^{-2}	$6,1 \times 10^{-9}$
10^{-3}	$8,9 \times 10^{-5}$
10^{-4}	$1,0 \times 10^0$
10^{-5}	$1,0 \times 10^0$

Observamos que, para o valor de $x = 0,001$ o erro na computação já é da ordem de 10^{-5} e para valores de x menores ou iguais a 0,0001 o erro é catastrófico. Isto ocorre, pois se $x \leq 10^{-4}$, então $x^4 \leq 10^{-16} < \text{eps}$ e, portanto, $(1 + x^4) - 1 = 0$.

Exemplo 1.4.9. Uma equação de segundo grau $ax^2 + bx + c = 0$ tem raízes

$$x_1 = \frac{-b + \sqrt{b^2 - 4ac}}{2a}, \quad (1.156)$$

$$x_2 = \frac{-b - \sqrt{b^2 - 4ac}}{2a}. \quad (1.157)$$

Entretanto, no caso de b ser positivo, a fórmula (1.156) não é adequada para a computação da raiz x_1 , pois pode ocorrer cancelamento catastrófico. Podemos contornar este problema reescrevendo (1.156) da seguinte forma

$$x_1 = \frac{-b + \sqrt{b^2 - 4ac}}{2a} \cdot \frac{-b - \sqrt{b^2 - 4ac}}{-b - \sqrt{b^2 - 4ac}} \quad (1.158)$$

$$= \frac{b^2 - b^2 + 4ac}{2a(-b - \sqrt{b^2 - 4ac})} \quad (1.159)$$

$$= \frac{-2c}{b + \sqrt{b^2 - 4ac}}, \quad (1.160)$$

a qual não sofre mais de cancelamento catastrófico. Observamos que também pode ocorrer cancelamento catastrófico no cálculo de x_2 pela fórmula (1.157), no caso de b ser negativo.

1.4.3 Exercícios Resolvidos

ER 1.4.1. O número de Euler é definido por

$$e = \sum_{n=0}^{\infty} \frac{1}{n!} \quad (1.161)$$

Determine o erro relativo da aproximação de e pelo truncamento da série com 4 termos.

Solução. Denotamos $x = e$ e

$$\tilde{x} = \sum_{n=0}^3 \frac{1}{n!} \quad (1.162)$$

$$= \frac{1}{0!} + \frac{1}{1!} + \frac{1}{2!} + \frac{1}{3!} \quad (1.163)$$

$$= \frac{1}{1} + \frac{1}{1} + \frac{1}{2} + \frac{1}{6} \quad (1.164)$$

$$= 2 + \frac{1}{2} + \frac{1}{6} \quad (1.165)$$

$$= \frac{16}{6} \quad (1.166)$$

O erro relativo é

```

1      >>> import math as m
2      >>> x = m.e
3      >>> xa = 16./6
4      >>> eabs = m.fabs(x-xa)
5      >>> erel = eabs/m.fabs(x)
6      >>> print(f"{erel*100:1.1f} %")
7      1.9 %

```

Concluimos que o erro relativo é de 1,9%.

◇

ER 1.4.2. Calcule o número de condicionamento $\kappa_f(x)$ para $f(x) = x^n$.

Solução. Calculamos o número de condicionamento como segue

$$\kappa_f(x) = \left| \frac{x f'(x)}{f(x)} \right| \quad (1.167)$$

$$= \left| \frac{x \cdot nx^{n-1}}{x^n} \right| \quad (1.168)$$

$$= \left| \frac{nx^n}{x^n} \right| \quad (1.169)$$

$$= n, \quad x \neq 0. \quad (1.170)$$

◇

ER 1.4.3. Calcule as raízes do seguinte polinômio quadrático

$$p(x) = 10^{-6}x^2 + 10^2x + 3 \times 10^{-3} \quad (1.171)$$

com 10 dígitos significativos corretos.

Solução. As raízes do polinômio quadrático podem ser calculados pela fórmula de Bhaskara

$$x_1 = \frac{-b + \sqrt{b^2 - 4ac}}{2a} \quad (1.172)$$

$$x_2 = \frac{-b - \sqrt{b^2 - 4ac}}{2a} \quad (1.173)$$

No entanto, a computação da raiz x_1 sofre de cancelamento catastrófico. Para contornar este problema, usamos (1.160), i.e.

$$x_1 = \frac{-2c}{b + \sqrt{b^2 - 4ac}} \quad (1.174)$$

Com o código

```

1      import math as m
2
3      a = 1e-6
4      b = 1e2
5      c = 3e-3
6
7      delta = b**2 - 4*a*c
8
9      x1 = -2*c/(b + m.sqrt(delta))
10     x2 = (-b - m.sqrt(delta))/(2*a)
11
12     print(f"{x1:1.9e}, {x2:1.9e}")

```

obtemos as saídas

```

1      x_1 = -3.000000000e-05
2      x_2 = -1.000000000e+08

```

◇

1.4.4 Exercícios

Exercício 1.4.1. Calcule o erro absoluto na aproximação de

a) π por 3,14.

b) $10e$ por 27,18.

Forneça as respostas com 4 dígitos significativos.

Exercício 1.4.2. Calcule o erro relativo na aproximação de

a) π por 3,14.

b) $10e$ por 27,18.

Forneça as respostas em porcentagem.

Exercício 1.4.3. Com quantos dígitos significativos corretos

a) 3,13 aproxima π ?

b) 27,21 aproxima $10e$?

Exercício 1.4.4. Obtenha uma estimativa do erro de truncamento em se aproximar o valor de $\sin(1)$ usando-se $p_5(1)$, onde $p_5(x)$ é o polinômio de Taylor de grau 5 da função $\sin(x)$ em torno de $x = 0$.

Exercício 1.4.5. Considerando que $x = 2 \pm 0,1$, estime o erro absoluto em se calcular $y = e^{-x^2} \cos(\pi x/3)$. Forneça a estimativa com 7 dígitos significativos por arredondamento.

Exercício 1.4.6. Considerando que $x = 2 \pm 2\%$ e $y = 1,5 \pm 0,3$, estime o erro absoluto em se calcular $y = e^{-x^2} \cos(\pi y/3)$. Forneça a estimativa com 6 dígitos significativos por arredondamento.

Exercício 1.4.7. Considere a computação de

$$y = \frac{1 - \cos(h)}{h} \quad (1.175)$$

para $h = 10^{-9}$. Compute o valor de y reescrevendo esta expressão de forma a mitigar o cancelamento catastrófico. Forneça o valor computado de y com 2 dígitos significativos por arredondamento.

Capítulo 2

Equação com uma Incógnita

Neste capítulo, discutiremos sobre métodos numéricos para resolver equações com uma incógnita real. Observamos que toda equação pode ser reescrita na seguinte forma equivalente

$$f(x) = 0, \quad (2.1)$$

onde f é uma função adequada. Isto é, o problema de se encontrar a incógnita de uma dada equação pode ser reescrito como um problema de encontrar os zeros (ou raízes) de uma função de uma variável real.

Os métodos numéricos que abordaremos ao longo deste capítulo são descritos para problemas da forma (2.1).

2.1 Método da Bisseção

O Método da Bisseção explora o fato de que toda função contínua f com $f(a) \cdot f(b) < 0$ (i.e., $f(a)$ e $f(b)$ tem sinais diferentes) tem pelo menos um zero no intervalo (a, b) ¹.

Exemplo 2.1.1. Consideramos o problema de resolver a equação

$$\begin{aligned} \sin^2 \left(x + \frac{\pi}{4} \right) &= x^3 - \frac{\pi}{4} x^2 \\ &\quad - \frac{5\pi^2}{16} x - \frac{3\pi^3}{64}. \end{aligned} \quad (2.2)$$

¹Esta é uma consequência imediata do Teorema do Valor Intermediário.

Este problema é equivalente a encontrar os zeros da seguinte função

$$f(x) = \sin^2\left(x + \frac{\pi}{4}\right) - x^3 + \frac{\pi}{4}x^2 + \frac{5\pi^2}{16}x + \frac{3\pi^3}{64}. \quad (2.3)$$

Os zeros exatos² desta função são $x_1 = 3\pi/4 \approx 2,3562$ e $x_2 = x_3 = -\pi/4 \approx -0,78540$ (consulte a Figura 2.1).

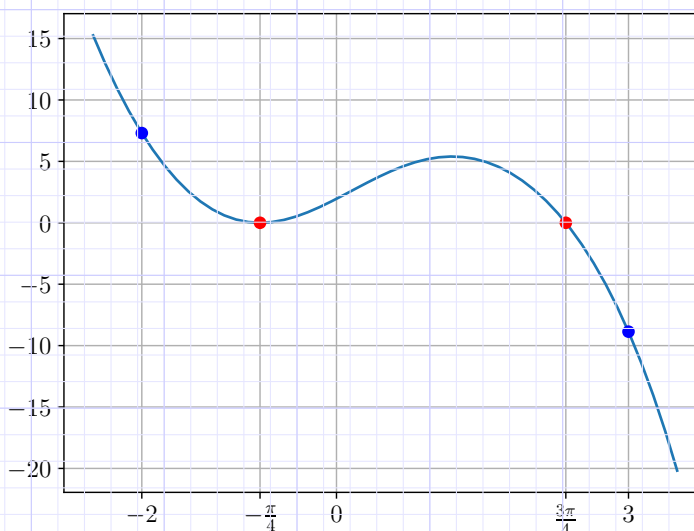


Figura 2.1: Esboço da função f do Exemplo 2.1.1.

Observamos que esta função é contínua e que, por exemplo, $f(-2) > 0$ e $f(3) < 0$, logo $f(-2) \cdot f(3) < 0$ e, de fato, f tem pelo menos um zero³ no intervalo $(-2, 3)$.

Consideramos, então, uma função f contínua tal que $f(a) \cdot f(b) < 0$. O **Método da Bisseção é iterativo**, a primeira aproximação para uma solução

²O problema foi construído para que tivesse estas soluções.

³De fato, f tem três zeros no intervalo $(-2, 3)$.

de $f(x) = 0$ é tomada como o ponto médio do intervalo (a, b) , i.e.

$$x^{(0)} = \frac{a^{(1)} + b^{(1)}}{2}, \quad (2.4)$$

onde $a^{(0)} = a$ e $b^{(0)} = b$. Daí, se ocorrer $f(x^{(0)}) = 0$ o problema está resolvido. Caso contrário, f tem pelo menos um zero num dos subintervalos $(a^{(0)}, x^{(0)})$ ou $(x^{(0)}, b^{(0)})$, pois $f(a^{(0)}) \cdot f(x^{(0)}) < 0$ ou $f(x^{(0)}) \cdot f(b^{(0)}) < 0$, respectivamente e exclusivamente. No primeiro caso, escolhemos $(a^{(1)}, b^{(1)}) = (a^{(0)}, x^{(0)})$ ou, no segundo caso, tomamos $(a^{(1)}, b^{(1)}) = (x^{(0)}, b^{(0)})$. Então, a segunda aproximação para uma solução é computada como

$$x^{(1)} = \frac{a^{(1)} + b^{(1)}}{2}. \quad (2.5)$$

O procedimento se repete até obtermos uma aproximação com a precisão desejada.

Exemplo 2.1.2. Consideremos o problema de encontrar um zero da função

$$f(x) = \sin^2\left(x + \frac{\pi}{4}\right) - x^3 + \frac{\pi}{4}x^2 + \frac{5\pi^2}{16}x + \frac{3\pi^3}{64}. \quad (2.6)$$

Do esboço de seu gráfico (Figura 2.1), observamos que $f(2) \cdot f(3) \neq 0$ sendo que o zero $x = 3\pi/4 \approx 2,3562$ de f está no intervalo $(2, 3)$. Aplicando o Método da Bisseção com intervalo inicial $(a^{(0)}, b^{(0)}) = (2, 3)$ e aproximação inicial $x^{(0)} = (a^{(0)} + b^{(0)})/2$, obtemos as aproximações apresentadas na Tabela 2.1.

```

1  import numpy as np
2
3  f = lambda x: np.sin(x+np.pi/4)**2 \
4      - x**3 + np.pi/4*x**2 + 5*np.pi**2/16*x \
5      + 3*np.pi**3/64
6
7  a = 2
8  b = 3
9  x = (a + b)/2
10 print(f"0: a={a:.4f}, b={b:.4f}, x={x:.4f}")

```

Tabela 2.1: Resultados referentes ao Exemplo 2.1.2.

k	$a^{(k)}$	$b^{(k)}$	$x^{(k)}$	s
0	2,0000	3,0000	2,5000	-1
1	2,0000	2,5000	2,2500	1
2	2,2500	2,5000	2,3750	-1
3	2,2500	2,3750	2,3125	1
4	2,3125	2,3750	2,3438	1
5	2,3438	2,3750	2,3594	-1
6	2,3438	2,3594	2,3516	1
7	2,3516	2,3594	2,3555	1
8	2,3555	2,3594	2,3574	-1
9	2,3555	2,3574	2,3564	-1

$s := f(a^{(k)}) \cdot f(x^{(k)})$

```

11  for k in range(9):
12      s = np.sign(f(a)*f(x))
13      if (s == -1):
14          b = x
15      elif (s == 1):
16          a = x
17      else:
18          break
19      x = (a + b)/2
20      print(f"{k+1}: a={a:.4f}, b={b:.4f}, x={x:.4f}")

```

2.1.1 Análise Numérica

Dada uma função contínua $f : [a, b] \rightarrow \mathbb{R}$ com $f(a) \cdot f(b) < 0$, vamos mostrar que o **Método da Bissecção é globalmente convergente e tem ordem de convergência linear**.

Definição 2.1.1. (**Método Iterativo Globalmente Convergente**.) Um método iterativo

$$x^{(0)} = \text{aprox. inicial}, \quad (2.7)$$

$$x^{(k+1)} = g(x^{(k)}), \quad (2.8)$$

com $k = 0, 1, \dots$, é dito **globalmente convergente**, quando

$$\lim_{k \rightarrow \infty} |x^{(k+1)} - x^{(k)}| = 0 \quad (2.9)$$

para qualquer escolha de $x^{(0)}$.

Definição 2.1.2. (**Ordem de convergência**.) Seja $(x^{(k)})_{k=1}^{\infty}$ uma sequência convergente com

$$\lim_{k \rightarrow \infty} |x^{(k+1)} - x^{(k)}| = 0, \quad (2.10)$$

com $x^{(k+1)} - x^{(k)} \neq 0$ para todo k . Dizemos que $(x^{(k)})_{k=1}^{\infty}$ converge com ordem $\alpha > 0$ e com constante de erro assintótica $C > 0$, quando

$$\lim_{k \rightarrow \infty} \frac{|x^{(k+1)} - x^*|}{|x^{(k)} - x^*|^{\alpha}} = C. \quad (2.11)$$

Em geral, quando maior o valor de α , mais rapidamente é a convergência das iteradas de um método iterativo. Os seguintes casos são particularmente importantes:

- Se $\alpha = 1$ e $\lambda < 1$, o método é **linearmente convergente**.
- Se $\alpha = 2$, o método é **quadraticamente convergente**.

Convergência e Precisão

Teorema 2.1.1. *Seja $f : [a, b] \rightarrow \mathbb{R}$ função contínua com $f(a) \cdot f(b) < 0$. Então, o Método da Bisseção é globalmente convergente.*

Demonstração. Seja $(x^{(k)})_{k=1}^{\infty}$ a sequência de aproximações⁴ do Método da Bisseção. Por construção, temos

$$|x^{(k)} - x^{(k-1)}| \leq b^{(k-1)} - a^{(k-1)} \quad (2.12)$$

$$\leq \frac{b^{(k-2)} - a^{(k-2)}}{2} \quad (2.13)$$

$$\vdots \quad (2.14)$$

⁴Caso, $f(a^{(k)}) = 0$ ou $f(b^{(k)}) = 0$, então assumimos que $a^{(k+i)} = a^{(k)}$ ou $b^{(k+i)} = b^{(k)}$, conforme o caso, para $i = 1, 2, 3, \dots$

$$\leq \frac{b^{(0)} - a^{(0)}}{2^{k-1}} \quad (2.15)$$

Ou seja, obtemos a **estimativa de convergência**

$$|x^{(k)} - x^{(k-1)}| \leq \frac{b^{(0)} - a^{(0)}}{2^{k-1}} \quad (2.16)$$

Daí, segue que

$$\lim_{k \rightarrow \infty} |x^{(k)} - x^{(k-1)}| = \lim_{k \rightarrow \infty} b^{(k)} - a^{(k-1)} \quad (2.17)$$

$$= 0. \quad (2.18)$$

□

Exemplo 2.1.3. No Exemplo 2.1.2 aplicamos o Método da Bissecção para a função

$$f(x) = \sin^2\left(x + \frac{\pi}{4}\right) - x^3 + \frac{\pi}{4}x^2 + \frac{5\pi^2}{16}x + \frac{3\pi^3}{64}. \quad (2.19)$$

no intervalo $(2, 3)$. Ao recuperarmos os valores de $|x^{(k)} - x^{(k-1)}|$ obtemos

k	$x^{(k)}$	$ x^{(k)} - x^{(k-1)} $
0	2.5000	-x-
1	2.2500	$2,5 \times 10^{-1}$
2	2,3750	$1,2 \times 10^{-1}$
3	2,3125	$6,2 \times 10^{-2}$
4	2,3438	$3,1 \times 10^{-2}$
5	2,3594	$1,6 \times 10^{-2}$
6	2,3516	$7,8 \times 10^{-3}$
7	2,3555	$3,9 \times 10^{-3}$
8	2,3574	$2,0 \times 10^{-3}$
9	2,3564	$9,8 \times 10^{-4}$

Observamos que os valores estão de acordo com a estimativa de convergência 2.16, donde

$$|x^{(9)} - x^{(8)}| \leq \frac{b^{(0)} - a^{(0)}}{2^9} \quad (2.20)$$

$$= \frac{3-2}{2^9} = 1.9 \times 10^{-3} \quad (2.21)$$

O Teorema 2.1.1 nos garante a convergência do Método da Bissecção e uma estimativa de precisão (Equação 2.16). O teorema não garante que o método converge para um zero da função objetivo, apenas garante que as aproximações convergem para algum valor no intervalo inicial dado.

Convergência e Exatidão

Dada uma função contínua e estritamente monótona⁵ $f: [a, b] \rightarrow \mathbb{R}$ com $f(a) \cdot f(b) < 0$, temos que o Método da Bissecção converge para o zero de f em $[a, b]$.

Teorema 2.1.2. *Seja $f: [a, b] \rightarrow \mathbb{R}$ função contínua e estritamente monótona com $f(a) \cdot f(b) < 0$. Então, o Método da Bissecção converge para o zero de f em $[a, b]$.*

Demonstração. Das hipóteses temos que f tem um único zero x^* em (a, b) . Seja $(x^{(k)})_{k=1}^{\infty}$ a sequência de aproximações⁶ do Método da Bissecção. Por construção, temos

$$|x^{(k)} - x^*| \leq \frac{b^{(k)} - a^{(k)}}{2} \quad (2.22)$$

$$\leq \frac{b^{(k-1)} - a^{(k-1)}}{2^2} \quad (2.23)$$

$$\vdots \quad (2.24)$$

$$\leq \frac{b^{(1)} - a^{(1)}}{2^k}, \quad (2.25)$$

donde, obtemos a seguinte estimativa do erro de truncamento

$$|x^{(k)} - x^*| \leq \frac{b^{(1)} - a^{(1)}}{2^k}. \quad (2.26)$$

E, daí também, segue que o método converge para o zero de f , pois

$$\lim_{k \rightarrow \infty} |x^{(k)} - x^*| = \lim_{k \rightarrow \infty} \frac{b^{(1)} - a^{(1)}}{2^k} = 0. \quad (2.27)$$

⁵Função estritamente crescente ou estritamente decrescente, exclusivamente.

⁶Caso, $f(a^{(k)}) = 0$ ou $f(b^{(k)}) = 0$, então assumimos que $a^{(k+i)} = a^{(k)}$ ou $b^{(k+i)} = b^{(k)}$, conforme o caso, para $i = 1, 2, 3, \dots$

□

Observação 2.1.1. (**Estimativa de Exatidão.**) A estimativa de truncamento 2.26 é também um **estimativa de exatidão**, i.e. nos fornece uma medida do erro na k -ésima aproximação do Método da Bissecção.

Exemplo 2.1.4. No Exemplo 2.1.2 aplicamos o Método da Bissecção para a função

$$f(x) = \sin^2\left(x + \frac{\pi}{4}\right) - x^3 + \frac{\pi}{4}x^2 + \frac{5\pi^2}{16}x + \frac{3\pi^3}{64}. \quad (2.28)$$

no intervalo $(2, 3)$. A aplicação do método, nos fornece

k	$x^{(k)}$	$ x^{(k)} - x^* $
0	2.3560	1.4×10^{-1}
1	2.2500	1.1×10^{-1}
2	2.3750	1.9×10^{-2}
3	2.3125	4.4×10^{-2}
4	2.3438	1.2×10^{-2}
5	2.3594	3.2×10^{-3}
6	2.3516	4.6×10^{-3}
7	2.3555	7.3×10^{-4}
8	2.3574	1.2×10^{-3}
9	2.3564	2.5×10^{-4}

onde, $x^* = x_1 = 3\pi/4$. Observamos que este resultado é consistente com a estimativa do erro de truncamento (2.26), da qual temos

$$|x^{(9)} - x^*| \leq \frac{b^{(0)} - a^{(0)}}{2^{10}} \quad (2.29)$$

$$= \frac{1}{2^{10}} = 1,0\text{E}-3. \quad (2.30)$$

Observação 2.1.2. (**Ordem de Convergência Linear.**) A estimativa de convergência (2.26) também pode ser usada para mostrarmos que, assintoticamente, o Método da Bissecção tem a seguinte taxa de convergência linear

$$|x^{(k+1)} - x^{(k)}| \lesssim \frac{1}{2} |x^{(k)} - x^{(k-1)}|^1. \quad (2.31)$$

2.1.2 Zeros de multiplicidade par

Sejam f uma função suave e x^* um zero de multiplicidade par de f . Observamos que o Método da Bissecção não é diretamente aplicável para aproximar x^* . Isto ocorre, pois, neste caso, x^* será um ponto de mínimo ou de máximo local de f , não havendo pontos a e b próximos de x^* tal que $f(a) \cdot f(b) < 0$.

Agora, sendo x^* um zero de f de multiplicidade $2m$, temos que ela admite a seguinte decomposição

$$f(x) = (x - x^*)^{2m} g(x), \quad (2.32)$$

onde g é uma função suave e $g(x^*) \neq 0$. Daí, a derivada de f

$$f'(x) = 2m(x - x^*)^{2m-1} g(x) + (x - x^*)^{2m} g'(x), \quad (2.33)$$

tem x^* como um zero de multiplicidade $2m - 1$ (ímpar) e, desta forma, podemos aplicar o Método da Bissecção em f' para aproximar x^* .

Exemplo 2.1.5. A função

$$\begin{aligned} f(x) = \sin^2 \left(x + \frac{\pi}{4} \right) - x^3 \\ + \frac{\pi}{4} x^2 + \frac{5\pi^2}{16} x + \frac{3\pi^3}{64}. \end{aligned} \quad (2.34)$$

tem $x = -\pi/4 \approx -0,7854$ como um zero de multiplicidade par (veja Figura 2.2).

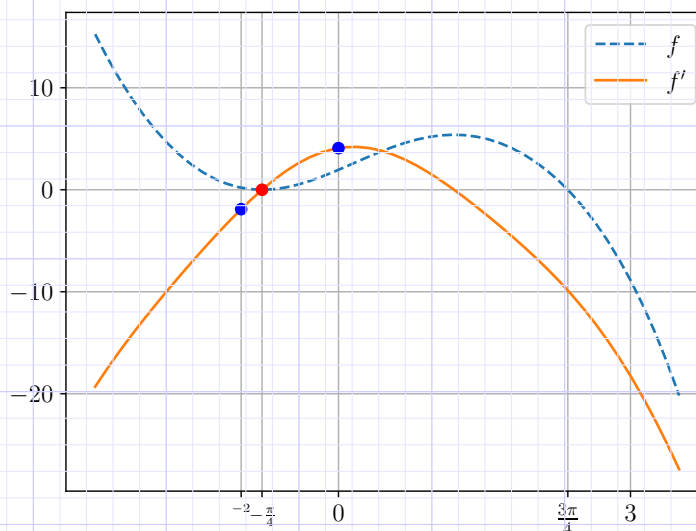


Figura 2.2: Esboço do gráfico da f e de sua derivada f' dada no Exemplo 2.1.5.

Para aplicarmos o Método da Bissecção para aproximarmos este zero, primeiramente, derivamos f

$$f'(x) = 2 \sin(x + \pi/4) \cos(x + \pi/4) - 3x^2 + \frac{\pi}{2}x + \frac{5\pi^2}{16}. \quad (2.35)$$

O esboço do gráfico de f' (Figura 2.2) mostra que $f'(-1) \cdot f'(0) < 0$ sendo que no intervalo $(-1, 0)$ f' tem um zero de multiplicidade ímpar. Então, aplicando o Método da Bissecção a f' no intervalo inicial $(a^{(1)}, b^{(1)}) = (-1, 0)$, obtemos os resultados apresentados na Tabela 2.2. Nesta tabela são apresentados as iteradas até a convergência da solução com precisão de 10^{-3} .

Tabela 2.2: Resultados referentes ao Exemplo 2.1.2.

k	$a^{(k)}$	$b^{(k)}$	$x^{(k)}$	s
0	-1,0000E+0	0,0000E+0	-5,0000E-1	-1
1	-1,0000E+0	-5,0000E-1	-7,5000E-1	-1
2	-1,0000E+0	-7,5000E-1	-8,7500E-1	1
3	-8,7500E-1	-7,5000E-1	-8,1250E-1	1
4	-8,1250E-1	-7,5000E-1	-7,8125E-1	-1
5	-8,1250E-1	-7,8125E-1	-7,9688E-1	1
6	-7,9688E-1	-7,8125E-1	-7,8906E-1	1
7	-7,8906E-1	-7,8125E-1	-7,8516E-1	-1
8	-7,8906E-1	-7,8516E-1	-7,8711E-1	1
9	-7,8711E-1	-7,8516E-1	-7,8613E-1	1

$s := f'(a^{(k)}) \cdot f'(x^{(k)})$

2.1.3 Exercícios

Exercício 2.1.1. Use o Método da Bissecção para aproximar um zero de

$$f(x) = x^3 \sin(x) - \cos(x) \quad (2.36)$$

aplicando como intervalo inicial $(a^{(0)}, b^{(0)}) = (0,5, 1)$ e aproximação inicial $x^{(0)} = (a^{(0)} + b^{(0)})/2$. Faça, então, 6 iterações de forma a obter a aproximação $x^{(6)}$ e forneça-a com 7 dígitos significativos por arredondamento.

Exercício 2.1.2. Considere o Método da Bissecção para aproximar um zero de $f(x) = x^3 \sin(x) - \cos(x)$, aplicando como intervalo inicial $(a^{(0)}, b^{(0)}) = (0,5, 1)$ e aproximação inicial $x^{(0)} = (a^{(0)} + b^{(0)})/2$. Use a estimativa de convergência (2.26)

$$|x^{(k)} - x^*| \leq \frac{b^{(1)} - a^{(1)}}{2^k}, \quad (2.37)$$

para estimar o número mínimo de iterações k_{conv} necessárias para se obter a solução com exatidão de 10^{-4} . Então, compute $x^{(k_{conv})}$ e forneça-o com 6 dígitos significativos por arredondamento.

Exercício 2.1.3. Use o Método da Bissecção para computar a(s) solução(ões) das seguintes equações com precisão de 8 dígitos significativos.

a) $x = 2^{-x}$ para $0 \leq x \leq 2$.

b) $e^{-x^2} = 3x - x^2$ para $-1 \leq x \leq 4$.

Exercício 2.1.4. Use o Método da Bisseção para encontrar uma aproximação com precisão de 10^{-4} do zero de

$$f(x) = (-x^2 + 1.154x - 0,332929) \cos(x) + x^2 - 1,154x + 0,332929 \quad (2.38)$$

no intervalo $(0,55, 0,65)$. Forneça a aproximação computada com 7 dígitos significativos por arredondamento.

Exercício 2.1.5. Aplique o Método da Bisseção para encontrar o ponto crítico⁷ de

$$f(x) = (1 - x^2)e^{-x^2} \quad (2.39)$$

no intervalo $(0, 2)$. Obtenha o resultado com precisão de 5 dígitos significativos por arredondamento.

2.2 Método da Falsa Posição

O Método da Falsa Posição é uma variação do Método da Bisseção. Dada uma função f contínua, escolhemos um intervalo inicial (a, b) tal que $f(a) \cdot f(b) < 0$ (i.e. f tem sinais trocados nos pontos a e b). Então, uma aproximação para o zero de f neste intervalo é computada como o ponto de interseção da reta secante a f pelos pontos $(a, f(a))$ e $(b, f(b))$, i.e.

$$x = a - \frac{b - a}{f(b) - f(a)} f(a). \quad (2.40)$$

Veja a Figura 2.3.

⁷Definimos que x é ponto crítico de uma dada f , quando $f'(x) = 0$ ou $\nexists f'(x)$.

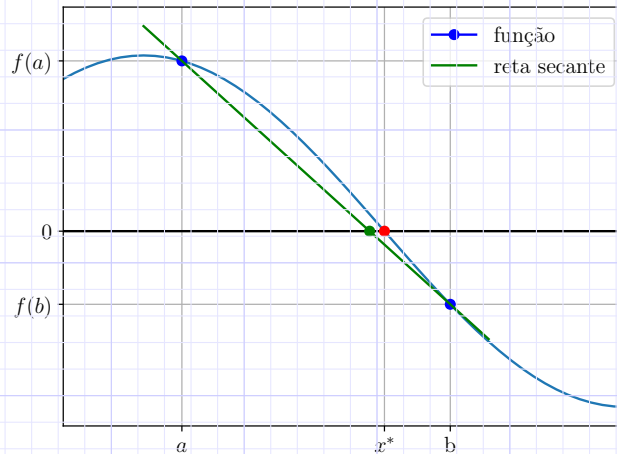


Figura 2.3: Ilustração do método da falsa posição.

Mais explicitamente, o método consiste no seguinte procedimento iterativo:

1. Determinar um intervalo $(a^{(1)}, b^{(1)})$ tal que $f(a^{(1)}) \cdot f(b^{(1)}) < 0$.
2. Para $k = 1, 2, 3, \dots, N$:
 - 2.1 $x^{(k)} = a^{(k)} - \frac{b^{(k)} - a^{(k)}}{f(b^{(k)}) - f(a^{(k)})} f(a^{(k)})$
 - 2.2 Verificar critério de parada.
 - 2.3 Se $f(a^{(k)}) \cdot f(x^{(k)}) < 0$, então $a^{(k+1)} = a^{(k)}$ e $b^{(k+1)} = x^{(k)}$.
 - 2.4 Se $f(x^{(k)}) \cdot f(b^{(k)}) > 0$, então $a^{(k+1)} = x^{(k)}$ e $b^{(k+1)} = b^{(k)}$.

Exemplo 2.2.1. Consideremos o problema de aproximar o zero de

$$f(x) = \sin^2\left(x + \frac{\pi}{4}\right) - x^3 + \frac{\pi}{4}x^2 + \frac{5\pi^2}{16}x + \frac{3\pi^3}{64}. \quad (2.41)$$

no intervalo $(0, 3)$. A tabela abaixo mostra os resultados obtidos da aplicação do Método da Falsa Posição com intervalo inicial $(a^{(1)}, b^{(1)}) = (2, 3)$. Aqui, o método foi iterado até a convergência com cinco dígitos significativos.

k	$a^{(k)}$	$b^{(k)}$	$x^{(k)}$	s
1	2,0000	3,0000	2,2455	1
2	2,2455	3,0000	2,3240	1
3	2,3240	3,0000	2,3470	1
4	2,3470	3,0000	2,3536	1
5	2,3536	3,0000	2,3555	1
6	2,3555	3,0000	2,3560	1
7	2,3560	3,0000	2,3561	1
8	2,3561	3,0000	2,3562	1
9	2,3562	3,0000	2,3562	1
10	2,3562	3,0000	2,3562	1

$$s := f'(a^{(k)}) \cdot f'(x^{(k)})$$

```

1 import numpy as np
2
3 f = lambda x: np.sin(x+np.pi/4)**2 \
4     - x**3 + np.pi/4*x**2 + 5*np.pi**2/16*x \
5     + 3*np.pi**3/64
6
7 a = 2.
8 b = 3.
9 for k in range(10):
10     x = a - (b-a)/(f(b)-f(a))*f(a)
11     print(f"{k+1}: {x:.4f}")
12
13     s = np.sign(f(a)*f(x))
14     if (s == -1):
15         b = x
16     elif (s == 1):
17         a = x
18     else:
19         break

```

Observação 2.2.1. (**Ordem de Convergência.**) O Método da Falsa Posição é globalmente convergente e tem ordem de convergência linear [7, Seção 8.3].

2.2.1 Exercícios

Exercício 2.2.1. Use o método da falsa posição para aproximar um zero de

$$f(x) = x^3 \sin(x) - \cos(x) \quad (2.42)$$

aplicando, como intervalo inicial $(a^{(1)}, b^{(1)}) = (0,5, 1)$ e aproximação inicial

$$x^{(0)} = a^{(1)} - \frac{b^{(1)} - a^{(1)}}{f(b^{(1)}) - f(a^{(1)})} f(a^{(1)}). \quad (2.43)$$

Faça, então, 4 iterações deste método de forma a obter a aproximação $x^{(4)}$ e forneça-a com 7 dígitos significativos por arredondamento.

Exercício 2.2.2. Use o Método da Falsa Posição para computar a(s) solução(ões) das seguintes equações com precisão de 8 dígitos significativos.

a) $x = 2^{-x}$ para $0 \leq x \leq 2$.

b) $e^{-x^2} = 3x - x^2$ para $-1 \leq x \leq 4$.

Exercício 2.2.3. Use o Método da Falsa Posição para encontrar uma aproximação com precisão de 4 dígitos significativos do zero de

$$f(x) = (-x^2 + 1,154x - 0,332929) \cos(x) + x^2 - 1,154x + 0,332929 \quad (2.44)$$

no intervalo $[-1, 0]$.

Exercício 2.2.4. Use o Método da Falsa Posição para encontrar uma aproximação com precisão de 10^{-4} do zero de

$$f(x) = (-x^2 + 1,154x - 0,332929) \cos(x) + x^2 - 1,154x + 0,332929 \quad (2.45)$$

no intervalo $(0,55, 0,65)$. Forneça a aproximação computada com 7 dígitos significativos por arredondamento.

Exercício 2.2.5. Aplique o Método da Falsa Posição para encontrar o ponto crítico⁸ de

$$f(x) = (1 - x^2)e^{-x^2} \quad (2.46)$$

⁸Definimos que x é ponto crítico de uma dada f , quando $f'(x) = 0$ ou $\nexists f'(x)$.

no intervalo $(0, 2)$. Obtenha o resultado com precisão de 5 dígitos significativos por arredondamento.

2.3 Iteração de Ponto Fixo

Um ponto fixo de uma função g é um ponto x tal que

$$g(x) = x. \quad (2.47)$$

Geometricamente, pontos fixos são interseções do gráfico da g com a reta $y = x$, veja a Figura 2.4.

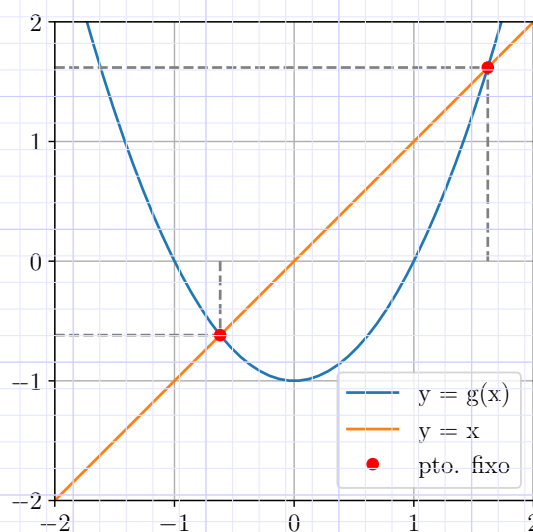


Figura 2.4: Exemplos de pontos fixos.

Observamos que toda equação de uma incógnita pode ser reescrita de forma equivalente como um problema de ponto fixo.

Exemplo 2.3.1. Consideremos o problema de resolver

$$\begin{aligned} \sin^2 \left(x + \frac{\pi}{4} \right) &= x^3 - \frac{\pi}{4}x^2 \\ &\quad - \frac{5\pi^2}{16}x - \frac{3\pi^3}{64}. \end{aligned} \quad (2.48)$$

Podemos reescrevê-la como o problema de se obter os zeros da seguinte função

$$\begin{aligned} f(x) = \operatorname{sen}^2\left(x + \frac{\pi}{4}\right) - x^3 \\ + \frac{\pi}{4}x^2 + \frac{5\pi^2}{16}x + \frac{3\pi^3}{64}. \end{aligned} \quad (2.49)$$

Por sua vez, este problema é equivalente aos seguintes problemas de ponto fixo (entre outros):

a)

$$\begin{aligned} g_1(x) = \frac{16}{5\pi^2} \left[-\operatorname{sen}^2\left(x + \frac{\pi}{4}\right) + x^3 \right. \\ \left. - \frac{\pi}{4}x^2 - \frac{3\pi^3}{64} \right] = x. \end{aligned} \quad (2.50)$$

b)

$$\begin{aligned} g_2(x) = \left[\operatorname{sen}^2\left(x + \frac{\pi}{4}\right) + \frac{\pi}{4}x^2 \right. \\ \left. + \frac{5\pi^2}{16}x + \frac{3\pi^3}{64} \right]^{\frac{1}{3}} = x \end{aligned} \quad (2.51)$$

Na Figura 2.5 podemos observar que os zeros da f (a saber, $x_1 = 3\pi/4 \approx 2,3562$ e $x_2 = x_3 = -\pi/4 \approx -0,78540$) coincidem com os pontos fixos das funções g_1 e g_2 .

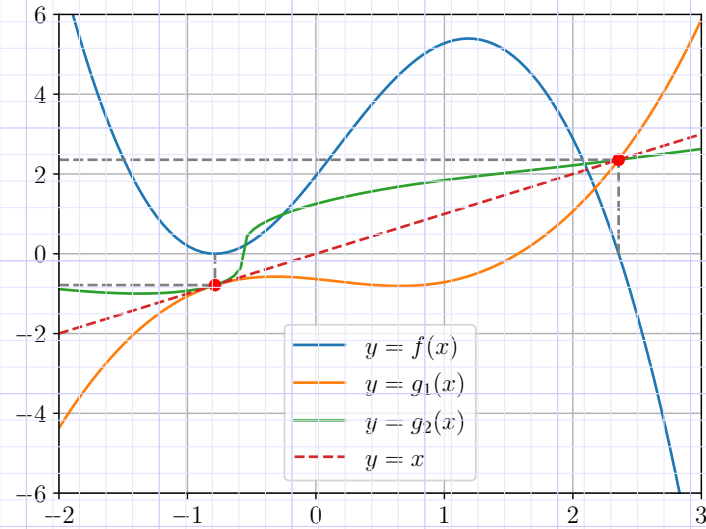


Figura 2.5: Esboço da função f , g_1 e g_2 do Exemplo 2.3.1.

Em muitos casos, é possível obter aproximações de um ponto fixo de uma dada função g pela chamada **iteração de ponto fixo**:

$$x^{(0)} = \text{aprox. inicial}, \quad (2.52)$$

$$x^{(k+1)} = g(x^{(k)}), \quad (2.53)$$

com $k = 0, 1, 2, \dots$

Exemplo 2.3.2. Vamos estudar as seguintes iterações de ponto fixo com as funções g_1 e g_2 consideradas no Exemplo 2.3.1.

a) Função g_1 com $x^{(0)} = 0,7$.

$$x^{(0)} = -0,70000, \quad (2.54)$$

$$x^{(1)} = g_1(x^{(0)}) \quad (2.55)$$

$$= -0,70959, \quad (2.56)$$

$$x^{(2)} = g_1(x^{(1)}) \quad (2.57)$$

$$= -0,71716, \quad (2.58)$$

$$\begin{aligned} & \vdots \\ x^{(99)} &= g_1(x^{(98)}) \end{aligned} \quad (2.59)$$

$$= -0,77862, \quad (2.60)$$

$$\begin{aligned} & \vdots \\ x^{(999)} &= g_1(x^{(998)}) \end{aligned} \quad (2.61)$$

$$= -0,78466, \quad (2.62)$$

$$\begin{aligned} & \vdots \\ x^{(19999)} &= g_1(x^{(19998)}) \end{aligned} \quad (2.63)$$

$$= -0,78536. \quad (2.64)$$

Neste caso as iterações de ponto fixo convergem (lentamente) para o ponto fixo $x = -\pi/4 \approx -0,78540$.

b) Função g_1 com $x^{(0)} = 2,5$.

Este valor inicial está próximo do ponto fixo $x = 3\pi/4 \approx 2,3562$, entretanto as iterações de ponto fixo divergem:

$$x^{(0)} = 2,50000, \quad (2.65)$$

$$x^{(1)} = g_1(x^{(0)}) \quad (2.66)$$

$$= 2,9966, \quad (2.67)$$

$$x^{(2)} = 5,8509, \quad (2.68)$$

$$\begin{aligned} & \vdots \\ x^{(7)} &= 4,8921 \times 10^{121}. \end{aligned} \quad (2.69)$$

c) Função g_2 com $x^{(0)} = 2,5$. Neste caso, as iterações de ponto fixo convergem (rapidamente) para o ponto fixo próximo:

$$x^{(0)} = 2,50000, \quad (2.70)$$

$$x^{(1)} = g_2(x^{(0)}) \quad (2.71)$$

$$= 2,4155, \quad (2.72)$$

$$x^{(2)} = 2,3805, \quad (2.73)$$

$$\vdots \quad (2.74)$$

$$x^{(9)} = 2,3562. \quad (2.75)$$

Este último exemplo mostra que a iteração do ponto fixo nem sempre é convergente. Antes de vermos condições suficientes para a convergência, vejamos sua interpretação geométrica.

2.3.1 Interpretação geométrica

A Figura 2.6 apresenta o caso de uma iteração de ponto fixo convergente. As iterações iniciam-se no ponto $x^{(0)}$ e seguem para $x^{(1)} = g(x^{(0)})$ e $x^{(2)} = g(x^{(1)})$.

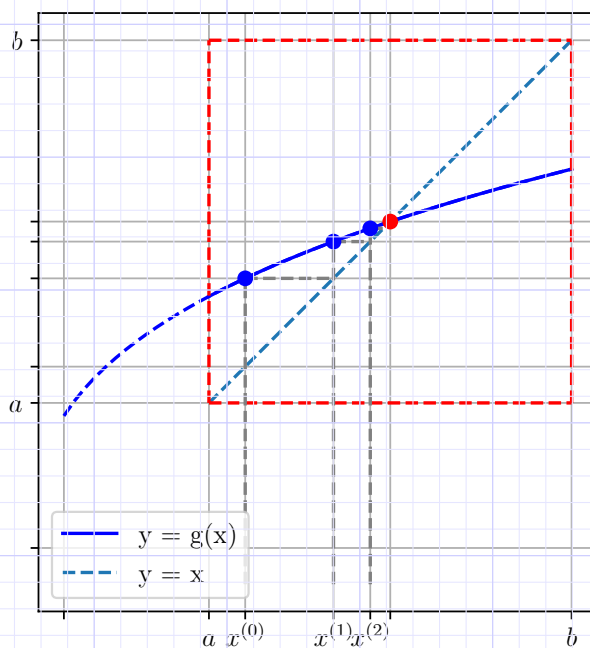


Figura 2.6: Interpretação geométrica da iteração de ponto fixo.

2.3.2 Análise Numérica

O seguinte teorema nos fornece condições suficientes para a convergência das iterações de ponto fixo.

Teorema 2.3.1. (**Teorema do Ponto Fixo.**) Seja g função continuamente diferenciável satisfazendo ambas as seguintes condições

a) $g([a, b]) \subset [a, b]$,

b) $|g'(x)| < K < 1$ para todo $x \in [a, b]$.

Então, g tem um único ponto fixo $x^* \in [a, b]$ e as iterações

$$x^{(k+1)} = g(x^{(k)}), k = 0, 1, 2, \dots, \quad (2.76)$$

convergem para x^* , para qualquer escolha de $x^{(0)} \in [a, b]$.

Demonstração. Da hipótese b), temos que g é uma contração com

$$|g(x) - g(y)| < K \cdot |x - y|, \quad (2.77)$$

para quaisquer $x, y \in [a, b]$. Com isso, da hipótese a) e tomando $x^{(0)} \in [a, b]$, temos

$$|x^{(k+1)} - x^{(k)}| = |g(x^{(k)}) - g(x^{(k-1)})| \quad (2.78)$$

$$\leq K |x^{(k)} - x^{(k-1)}| \quad (2.79)$$

$$\vdots$$

$$\leq K^{k-1} |x^{(2)} - x^{(1)}|, \quad (2.80)$$

para $k = 1, 2, \dots$. Como $K < 1$, temos $|x^{(k+1)} - x^{(k)}| \rightarrow 0$ quando $k \rightarrow \infty$ e, portanto, $x^{(k)}$ converge para algum $x^* \in [a, b]$.

De fato, x^* é ponto fixo de g , pois da continuidade da g , temos

$$x^* = \lim_{k \rightarrow \infty} x^{(k+1)} \quad (2.81)$$

$$= \lim_{k \rightarrow \infty} g(x^{(k)}) = g(x^*). \quad (2.82)$$

Por fim, x^* é único, pois assumindo a existência de outro ponto fixo $x^{**} \neq x^*$ teríamos

$$|x^* - x^{**}| = |g(x^*) - g(x^{**})| \quad (2.83)$$

$$< K|x^* - x^{**}| \quad (2.84)$$

$$< |x^* - x^{**}|. \quad (2.85)$$

□

Observação 2.3.1. (Ordem de Convergência.) A iteração de ponto fixo tem ordem de convergência linear

$$|x^{(k+1)} - x^{(k)}| < K|x^{(k)} - x^{(k-1)}|, \quad (2.86)$$

onde $0 < K < 1$ é a constante dada na hipótese b) do Teorema do Ponto Fixo. Além disso, isso mostra que quanto menor o valor da constante K , mais rápida é a convergência das iterações de ponto fixo.

2.3.3 Zero de Funções

Dado um problema de encontrar um zero de uma função f (i.e., resolver $f(x) = 0$), podemos construir uma função g com ponto fixo no zero de f e aplicarmos a iteração de ponto fixo para computá-lo. Para tanto, observamos que

$$f(x) = 0 \quad (2.87)$$

$$\Leftrightarrow \quad (2.88)$$

$$\underbrace{x - \alpha f(x)}_{=:g(x)} = x, \quad (2.89)$$

com $\alpha \in \mathbb{R}$ escolhido de forma a satisfazer as hipóteses do Teorema do Ponto Fixo (Teorema 2.3.1).

Exemplo 2.3.3. Retornamos ao problema de encontrar o zero da função

$$f(x) = \sin^2\left(x + \frac{\pi}{4}\right) - x^3 + \frac{\pi}{4}x^2 + \frac{5\pi^2}{16}x + \frac{3\pi^3}{64}. \quad (2.90)$$

no intervalo $[2, 3]$. Para construir uma função g para a iteração de ponto fixo neste intervalo, podemos tomar

$$g(x) = x - \alpha f(x), \quad (2.91)$$

com $\alpha = -0,1$. A Figura 2.7 mostra esboços dos gráficos de g e $|g'|$ no intervalos $[2, 3]$ e podemos observar que esta escolha de α faz com que a g satisfaça o Teorema do Ponto Fixo.

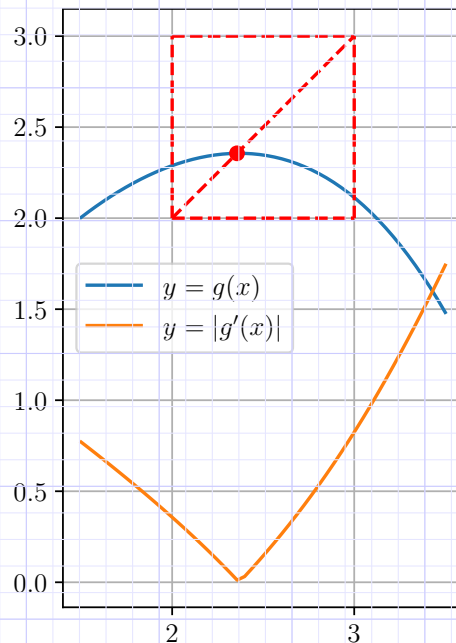


Figura 2.7: Esboço dos gráficos de g e $|g'|$ discutidas no Exemplo 2.3.3.

Então, fazendo as iterações de ponto fixo com aproximação inicial $x^{(0)} = 2,6$, obtemos os resultados apresentados na Tabela 2.3.

Tabela 2.3: Resultados referentes ao Exemplo 2.3.3.

k	$x^{(k)}$	$ x^{(k)} - x^{(k-1)} $
0	2,6000	-x-
1	2,3264	2,7E-1
2	2,3553	2,9E-2
3	2,3562	8,4E-4
4	2,3562	1,1E-5

```

1 import numpy as np
2
3 # fun obj
4 f = lambda x: np.sin(x+np.pi/4)**2 \
5     - x**3 + np.pi/4*x**2 + 5*np.pi**2/16*x \
6     + 3*np.pi**3/64
7
8 # param
9 alpha = -0.1
10 # fun pto fixo
11 g = lambda x: x - alpha*f(x)
12
13 # aprox inicial
14 x0 = 2.6
15 print(f'\n{1}: {x0:.4f}')
16 for k in range(4):
17     x = g(x0)
18     nd = np.fabs(x-x0)
19     print(f'{k+1}: {x:.4f}, {nd:.1e}')
20     x0 = x

```

2.3.4 Exercícios

Exercício 2.3.1. Forneça o(s) ponto(s) fixo(s) de

$$g(x) = x^2 e^{-x^2}. \quad (2.92)$$

Exercício 2.3.2. Verifique se a iteração de ponto fixo é convergente para as seguintes funções e aproximações iniciais:

a) $g_1(x) = \cos(x)$, $x^{(1)} = 0,5$

b) $g_2(x) = x^2$, $x^{(1)} = 1,01$

Justifique sua resposta.

Exercício 2.3.3. Considere o problema de computar uma aproximação do zero de $f(x) = x - \cos(x)$. Resolva-o aplicando a iteração de ponto fixo para

a função auxiliar

$$g(x) = x - \alpha f(x), \quad (2.93)$$

restrita ao intervalo $[a, b] = [0.5, 1]$ com aproximação inicial $x^{(0)} = (a + b)/2$. Escolha o melhor valor de α entre os seguintes:

1. $\alpha = 1$
2. $\alpha = 0,5$
3. $\alpha = -0,5$
4. $\alpha = 0,6$

Então, compute uma aproximação do zero de f com 5 dígitos significativos de precisão.

Exercício 2.3.4. Seja

$$f(x) = \sin^2\left(x + \frac{\pi}{4}\right) - x^3 + \frac{\pi}{4}x^2 + \frac{5\pi^2}{16}x + \frac{3\pi^3}{64}. \quad (2.94)$$

a) Aplique a iteração de ponto fixo na função auxiliar

$$g(x) = x - \alpha f(x) \quad (2.95)$$

para algum α adequado, de forma que aproximação inicial $x^{(0)} = -0,5$ leve a iterações de ponto fixo que converjam para $x^* = -\pi/4$, zero de multiplicidade par de f .

b) Mostre que $g'(x^*) = 1$ para qualquer valor de α . Por que isso explica a lenta convergência observada no item a)?

c) Alternativamente, verifique que a abordagem da iteração de ponto fixo converge muito mais rápido para x^* se aplicada à derivada de f , i.e. aplicando a iteração à função auxiliar

$$h(x) = x - \alpha f'(x), \quad (2.96)$$

para um valor de α adequado.

Exercício 2.3.5. Use o Método da Iteração de Ponto Fixo para aproximar um zero de

$$f(x) = x^3 \operatorname{sen}(x) - \cos(x) \quad (2.97)$$

no intervalo inicial $[0, 5, 1]$.

Exercício 2.3.6. Use o Método da Iteração de Ponto Fixo para computar a(s) solução(ões) das seguintes equações com precisão de 8 dígitos significativos.

a) $x = 2^{-x}$ para $0 \leq x \leq 2$.

b) $e^{-x^2} = 3x - x^2$ para $-1 \leq x \leq 4$.

Exercício 2.3.7. Use o Método de Iteração de Ponto Fixo para encontrar uma aproximação com precisão de 4 dígitos significativos do zero de

$$f(x) = (-x^2 + 1,154x - 0,332929) \cos(x) + x^2 - 1,154x + 0,332929 \quad (2.98)$$

no intervalo $[-1, 0]$.

Exercício 2.3.8. Use o Método de Iteração de Ponto Fixo para encontrar uma aproximação com precisão de 10^{-4} do zero de

$$f(x) = (-x^2 + 1,154x - 0,332929) \cos(x) + x^2 - 1,154x + 0,332929 \quad (2.99)$$

no intervalo $(0,55, 0,65)$. Forneça a aproximação computada com 7 dígitos significativos por arredondamento.

Exercício 2.3.9. Use o Método da Iteração de Ponto Fixo para encontrar o ponto crítico⁹ de

$$f(x) = (1 - x^2)e^{-x^2} \quad (2.100)$$

no intervalo $(0, 2)$. Obtenha o resultado com precisão de 5 dígitos significativos por arredondamento.

⁹Definimos que x é ponto crítico de uma dada f , quando $f'(x) = 0$ ou $\nexists f'(x)$.

2.4 Método de Steffensen

O método de Steffensen¹⁰ é uma aplicação do método de aceleração de convergência Δ^2 de Aitken¹¹ à iteração de ponto fixo.

2.4.1 Acelerador Δ^2 de Aitken

Seja dada uma sequência $(x^{(k)})_{k=1}^{\infty}$ monotonicamente convergente para x^* . Assumimos que k seja suficientemente grande tal que

$$\frac{x^{(k+1)} - x^*}{x^{(k)} - x^*} \approx \frac{x^{(k+2)} - x^*}{x^{(k+1)} - x^*}. \quad (2.101)$$

Então, isolando x^* obtemos

$$x^* \approx \frac{x^{(k)}x^{(k+2)} - (x^{(k+1)})^2}{x^{(k)} - 2x^{(k+1)} + x^{(k+2)}}. \quad (2.102)$$

Ainda, somando e subtraindo $(x^{(k)})^2$ e $2x^{(k)}x^{(k+1)}$ no numerador acima e rearranjando os termos, obtemos

$$x^* \approx x^{(k)} - \frac{(x^{(k+1)} - x^{(k)})^2}{x^{(k+2)} - 2x^{(k+1)} + x^{(k)}}. \quad (2.103)$$

O observado acima, nos motiva a introduzir o acelerador Δ^2 de Aitken

$$\Delta^2\{x^{(k)}, x^{(k+1)}, x^{(k+2)}\} := x^{(k)} - \frac{(x^{(k+1)} - x^{(k)})^2}{x^{(k+2)} - 2x^{(k+1)} + x^{(k)}}. \quad (2.104)$$

Exemplo 2.4.1. Consideremos o problema de encontrar o zero da função

$$f(x) = \sin^2\left(x + \frac{\pi}{4}\right) - x^3 + \frac{\pi}{4}x^2 + \frac{5\pi^2}{16}x + \frac{3\pi^3}{64}. \quad (2.105)$$

¹⁰Johan Frederik Steffensen, 1873 - 1961, matemático e estatístico dinamarquês. Fonte: [Wikipédia](#).

¹¹Alexander Aitken, 1895 - 1967, matemático neozelandês. Fonte: [Wikipédia](#).

no intervalo $[2,3]$. Para tanto, podemos aplicar a iteração de ponto fixo dada por

$$\begin{aligned} x^{(k+1)} &= g(x^{(k)}) \\ &:= x^{(k)} - \alpha f(x^{(k)}), \quad k = 1, 2, \dots, \end{aligned} \quad (2.106)$$

com $\alpha = -0,05$ e $x^{(0)} = 2,6$. Na Tabela 2.4 temos os valores das iteradas $x^{(k)}$ e das correções $\Delta^2 = \Delta^2\{x^{(k)}, x^{(k+1)}, x^{(k+2)}\}$ de Aitken. Neste caso, a aceleração de convergência é notável.

Tabela 2.4: Resultados referentes ao Exemplo 2.4.1.

k	$x^{(k)}$	Δ^2
0	2,6000	-x-
1	2,4632	-x-
2	2,4073	2,3687
3	2,3814	2,3590
4	2,3688	2,3569
5	2,3625	2,3564
6	2,3594	2,3562
7	2,3578	2,3562

```

1 import numpy as np
2
3 # fun obj
4 f = lambda x: np.sin(x+np.pi/4)**2 \
5     - x**3 + np.pi/4*x**2 + 5*np.pi**2/16*x \
6     + 3*np.pi**3/64
7
8 # fun pto fixo
9 alpha = -0.05
10 g = lambda x: x - alpha*f(x)
11
12 x0 = 2.6
13 print(f'\n1: {x0:.4f}')
14 for k in range(7):
15     x1 = g(x0)
16     x2 = g(x1)
17     x = x0 - (x1-x0)**2/(x2-2*x1+x0)

```

```

18     print(f'\n{k+2}: {x1:.4f}, {x:.4f}')
650 19     x0 = x1

```

2.4.2 Análise Numérica

Definição 2.4.1. (Diferença Progressiva.) Para uma sequência $(x^{(k)})_{k=1}^{\infty}$, $\Delta x^{(k)}$ denota o **operador de diferença progressiva** e é definido por

$$\Delta x^{(k)} := x^{(k+1)} - x^{(k)} \quad (2.107)$$

Potências maiores do operador são definidas recursivamente por

$$\Delta^n x^{(k)} = \Delta \left(\Delta^{n-1} x^{(k)} \right), \quad n \geq 2. \quad (2.108)$$

Da definição acima, temos que

$$\Delta^2 x^{(k)} := \Delta \left(\Delta x^{(k)} \right) \quad (2.109)$$

$$= \Delta \left(x^{(k+1)} - x^{(k)} \right) \quad (2.110)$$

$$= \Delta x^{(k+1)} - \Delta x^{(k)} \quad (2.111)$$

$$= \left(x^{(k+2)} - x^{(k+1)} \right) - \left(x^{(k+1)} - x^{(k)} \right) \quad (2.112)$$

$$= x^{(k+2)} - 2x^{(k+1)} + x^{(k)} \quad (2.113)$$

Com isso, temos que o **acelerador Δ^2 de Aitken** (2.104) pode ser reescrito como

$$\Delta^2 \left\{ x^{(k)}, x^{(k+1)}, x^{(k+2)} \right\} := x^{(k)} - \frac{\left(\Delta x^{(k)} \right)^2}{\Delta^2 x^{(k)}}. \quad (2.114)$$

Teorema 2.4.1. *Seja $(x^{(k)})_{k=1}^{\infty}$ uma sequência linearmente convergente para x^* e*

$$\lim_{k \rightarrow \infty} \frac{x^{(k+1)} - x^*}{x^{(k)} - x^*} < 1. \quad (2.115)$$

Então, a sequência Δ^2 de Aitken $(\hat{x}^{(k)})_{k=1}^{\infty}$, com

$$\hat{x}^{(k)} := \Delta^2 \left\{ x^{(k)}, x^{(k+1)}, x^{(k+2)} \right\}, \quad (2.116)$$

converge para x^* mais rápido que $(x^{(k)})$ no sentido de que

$$\lim_{k \rightarrow \infty} \frac{\hat{x}^{(k)} - x^*}{x^{(k)} - x^*} = 0. \quad (2.117)$$

Demonstração. Em construção ... \square

2.4.3 Algoritmo de Steffensen

O método de Steffensen consiste em aplicar o acelerador Δ^2 de Aitken à iteração de ponto fixo. Mais especificamente, sejam uma aproximação inicial $x^{(0)}$ e uma iteração de ponto fixo

$$x^{(k+1)} = g(x^{(k)}), \quad k = 0, 1, 2, \dots \quad (2.118)$$

O algoritmo de Steffensen consiste em:

1. $x \leftarrow x^{(0)}$.
2. Para $k = 0, 1, 2, \dots, N - 1$:
 - (a) $x_1 \leftarrow g(x)$.
 - (b) $x_2 \leftarrow g(x_1)$.
 - (c) $x^{(k+1)} \leftarrow \Delta^2\{x, x_1, x_2\}$.
 - (d) $x \leftarrow x^{(k+1)}$.

Exemplo 2.4.2. Retornamos ao exemplo anterior (Exemplo 2.4.1. Na Tabela 2.5 temos os valores das iteradas de Steffensen $x^{(k)}$ e do indicador de convergência $|x^{(k)} - x^{(k-1)}|$.

Tabela 2.5: Resultados referentes ao Exemplo 2.4.2.

k	$x^{(k)}$	$ x^{(k)} - x^{(k-1)} $
0	2,6000	-x-
1	2,3687	2,3E-1
2	2,3562	1,2E-2
3	2,3562	4,2E-5

```

1 import numpy as np
2
3 # fun obj
4 f = lambda x: np.sin(x+np.pi/4)**2 \
5     - x**3 + np.pi/4*x**2 + 5*np.pi**2/16*x \
6     + 3*np.pi**3/64
7
8 # fun pto fixo
9 alpha = -0.05
10 g = lambda x: x - alpha*f(x)
11
12 x0 = 2.6
13 print(f'\n1: {x0:.4f}')
14 for k in range(3):
15     x1 = g(x0)
16     x2 = g(x1)
17     x = x0 - (x1-x0)**2/(x2-2*x1+x0)
18     nd = np.fabs(x-x0)
19     print(f'\n{k+2}: {x:.4f}, {nd:.1e}')
20     x0 = x

```

Exercícios

Exercício 2.4.1. Use o método de Steffensen para obter uma aproximação do zero de $f(x) = x^3 \sin(x) - \cos(x)$ no intervalo $[0,5,1]$ com precisão de 10^{-6} .

Exercício 2.4.2. Use o Método da Iteração de Ponto Fixo para aproximar um zero de

$$f(x) = x^3 \sin(x) - \cos(x) \quad (2.119)$$

no intervalo inicial $[0,5,1]$.

Exercício 2.4.3. Use o Método de Steffensen para computar a(s) solução(ões) das seguintes equações com precisão de 8 dígitos significativos.

a) $x = 2^{-x}$ para $0 \leq x \leq 2$.

b) $e^{-x^2} = 3x - x^2$ para $-1 \leq x \leq 4$.

Exercício 2.4.4. Use o Método de Steffensen para encontrar uma aproximação com precisão de 4 dígitos significativos do zero de

$$f(x) = (-x^2 + 1,154x - 0,332929) \cos(x) + x^2 - 1,154x + 0,332929 \quad (2.120)$$

no intervalo $[-1, 0]$.

Exercício 2.4.5. Use o Método de Steffensen para encontrar uma aproximação com precisão de 10^{-4} do zero de

$$f(x) = (-x^2 + 1,154x - 0,332929) \cos(x) + x^2 - 1,154x + 0,332929 \quad (2.121)$$

no intervalo $(0,55, 0,65)$. Forneça a aproximação computada com 7 dígitos significativos por arredondamento.

Exercício 2.4.6. Use o Método de Steffensen para encontrar o ponto crítico¹² de

$$f(x) = (1 - x^2)e^{-x^2} \quad (2.122)$$

no intervalo $(0, 2)$. Obtenha o resultado com precisão de 5 dígitos significativos por arredondamento.

2.5 Método de Newton

Seja x^* um zero de uma dada função f , i.e.

$$f(x^*) = 0. \quad (2.123)$$

A expansão em polinômio de Taylor¹³ de f em um ponto \tilde{x} dado, é

$$f(x^*) = f(\tilde{x}) + f'(\tilde{x})(x^* - \tilde{x}) + O(|x^* - \tilde{x}|^2). \quad (2.124)$$

¹²Definimos que x é ponto crítico de uma dada f , quando $f'(x) = 0$ ou $\nexists f'(x)$.

¹³Brook Taylor, 1685 - 1731, matemático britânico. Fonte: [Wikipédia](#).

Como $f(x^*) = 0$, temos

$$0 = f(\tilde{x}) + f'(\tilde{x})(x^* - \tilde{x}) + O((x^* - \tilde{x})^2) \quad (2.125)$$

$$x^* + O(|x^* - \tilde{x}|^2) = \tilde{x} - \frac{f(\tilde{x})}{f'(\tilde{x})} \quad (2.126)$$

Esta última expressão nos indica que dada uma aproximação \tilde{x} do zero de f a expressão

$$\tilde{x} - \frac{f(\tilde{x})}{f'(\tilde{x})}, \quad (2.127)$$

aproxima x^* com um erro da ordem de $|x^* - \tilde{x}|^2$.

Estas observações nos levam a **iteração de Newton**¹⁴

$$x^{(0)} = \text{aprox. inicial}, \quad (2.128)$$

$$x^{(k+1)} = x^{(k)} - \frac{f(x^{(k)})}{f'(x^{(k)})}, \quad (2.129)$$

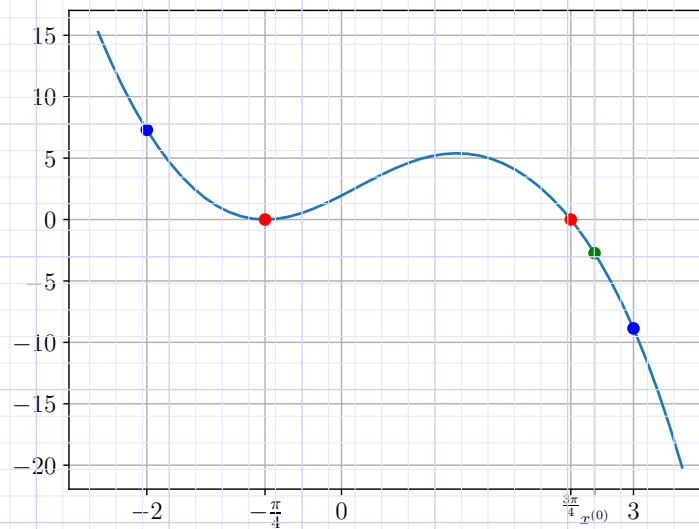
com $k = 0, 1, 2, \dots$

Exemplo 2.5.1. Consideramos o problema de encontrar o zero da função

$$\begin{aligned} f(x) &= \sin^2\left(x + \frac{\pi}{4}\right) - x^3 \\ &\quad + \frac{\pi}{4}x^2 + \frac{5\pi^2}{16}x + \frac{3\pi^3}{64}. \end{aligned} \quad (2.130)$$

no intervalo $[2, 3]$ (Consulte a Figura 2.8).

¹⁴Sir Isaac Newton, matemático e físico inglês, 1642 - 1726/27. Fonte: [Wikipedia](#).

Figura 2.8: Esboço da função f do Exemplo 2.5.1.

Fazendo as iterações de Newton com aproximação inicial $x^{(0)} = 2,6$, obtemos os resultados apresentados na Tabela 2.6.

Tabela 2.6: Resultados referentes ao Exemplo 2.5.1.

k	$x^{(k)}$	$ x^{(k)} - x^{(k-1)} $
0	2,6000	-x-
1	2,3836	2,2E-1
2	2,3566	2,7E-2
3	2,3562	3,9E-4
4	2,3562	8,3E-8

```

1 import numpy as np
2
3 # fun obj
4 f = lambda x: np.sin(x+np.pi/4)**2 \
5     - x**3 + np.pi/4*x**2 + 5*np.pi**2/16*x \
6     + 3*np.pi**3/64
7

```



```

8 fl = lambda x: 2*np.sin(x+np.pi/4)*np.cos(x+np.pi/4) \
650 9     -3*x**2 + np.pi/2*x + 5*np.pi**2/16
10
11 # aprox. inicial
12 x0 = 2.6
600 13 print(f'0: {x0:.4e}')
14
15 # iterações
550 16 for k in range(4):
17     x = x0 - f(x0)/fl(x0)
18     print(f'{k+1}: {x:.4e}')
19     x0 = x

```

Observação 2.5.1. O método de Newton é uma iteração de ponto fixo ótima. Do Teorema do Ponto Fixo (Teorema 2.3.1), a iteração

$$x^{k+1} = g(x^{(k)}) \quad (2.131)$$

$$:= x^{(k)} - \alpha f(x) \quad (2.132)$$

tem taxa de convergência¹⁵

$$|x^{(k+1)} - x^{(k)}| \leq K|x^{(k)} - x^{(k-1)}|, \quad (2.133)$$

com K tal que $|g'(x)| = |1 - \alpha f'(x)| < K < 1$. Isto nos indica que a melhor escolha para α é

$$\alpha = \frac{1}{f'(x)}, \quad (2.134)$$

de forma que (2.132) coincide com a iteração de (2.129).

2.5.1 Interpretação geométrica

Dadas uma aproximação $x^{(k)}$ de um zero de uma função f , a iteração de Newton fornece uma nova aproximação $x^{(k+1)}$ com

$$x^{(k+1)} = x^{(k)} - \frac{f(x^{(k)})}{f'(x^{(k)})}. \quad (2.135)$$

¹⁵Supondo verdadeiras as demais hipóteses do Teorema 2.3.1.

Subtraindo $x^{(k+1)}$ e multiplicando por $-f'(x^{(k)})$, obtemos

$$0 = f'(x^{(k)})(x^{(k+1)} - x^{(k)}) + f(x^{(k)}), \quad (2.136)$$

Observemos que o lado direito desta última equação corresponde a expressão da reta tangente ao gráfico de f pelo ponto $(x^{(k)}, f(x^{(k)}))$, avaliada em $x^{(k+1)}$. Mais precisamente, a equação desta reta tangente é

$$y = f'(x^{(k)})(x - x^{(k)}) + f(x^{(k)}) \quad (2.137)$$

e a equação (2.136) nos informa que em $x = x^{(k+1)}$ a reta tangente cruza o eixo x .

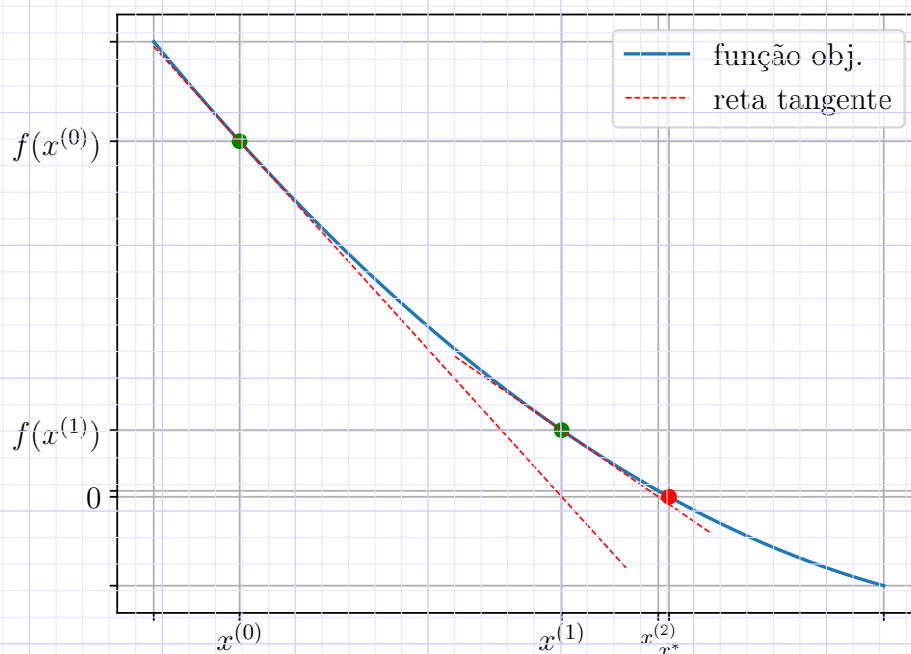


Figura 2.9: Interpretação geométrica das iterações de Newton.

Destas observações, concluímos que a iterada $x^{(k+1)}$ do método de Newton corresponde ao ponto de interseção da reta tangente ao gráfico da f pelo ponto $(x^k, f(x^k))$ com o eixo das abscissas¹⁶. Consulte a Figura 2.9.

¹⁶Eixo x .

Exemplo 2.5.2. Consideremos que o método de Newton seja usado para aproximarmos o zero de

$$f(x) = (x - 1)e^{-x^2}. \quad (2.138)$$

Observemos que esta função tem $x = 1$ como seu único zero. Agora, se escolhermos $x^{(0)} = 0,5$ as iterações de Newton convergem para este zero, mas, se escolhermos $\tilde{x}^{(0)} = 1,5$ não (consulte a Tabela 2.7).

Tabela 2.7: Resultados referentes ao Exemplo 2.5.2

k	$x^{(k)}$	$\tilde{x}^{(k)}$
0	5,0000E-1	1,5000E+0
1	8,3333E-1	2,5000E+0
2	9,6377E-1	2,7308E+0
3	9,9763E-1	2,9355E+0
4	9,9999E-1	3,1223E+0
5	1,0000E+0	3,2955E+0

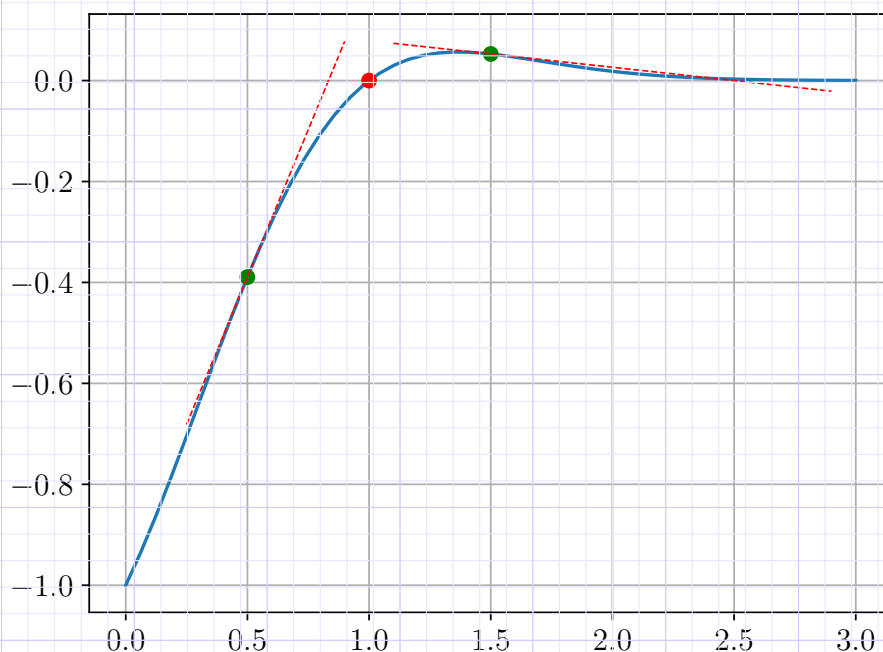


Figura 2.10: Escolha da aproximação inicial para o método de Newton.

Embora ambas aproximações iniciais estão a mesma distância da solução $x = 1$, quando tomamos $x^{(0)} = 1,5$ as iterações irão divergir, como podemos observar da interpretação geométrica dada na Figura 2.10.

2.5.2 Análise de convergência

Seja x^* o zero de uma dada função f duas vezes continuamente diferenciável com $f'(x) \neq 0$ para todo $x \in [x^* - \varepsilon_0, x^* + \varepsilon_0]$ para algum $\varepsilon_0 > 0$. Seja, também, $(x^{(k)})_{k=0}^{\infty}$ a sequência das iteradas de Newton

$$x^{(k+1)} = x^{(k)} - \frac{f(x^{(k)})}{f'(x^{(k)})}, \quad k = 0, 1, 2, \dots, \quad (2.139)$$

com aproximação inicial $x^{(0)} \in (x^* - \varepsilon_0, x^* + \varepsilon_0)$. Então, do polinômio de Taylor de grau 1 de f em torno de $x^{(0)}$, temos

$$f(x^*) = f(x^{(0)}) + f'(x^{(0)})(x^* - x^{(0)}) + \frac{f''(\xi^{(0)})}{2!}(x^* - x^{(0)})^2, \quad (2.140)$$

onde $\xi^{(0)}$ está entre $x^{(0)}$ e x^* . Daí, rearranjamos os termos e notamos que $f(x^*) = 0$ para obtermos

$$x^* - \left[x^{(0)} - \frac{f(x^{(0)})}{f'(x^{(0)})} \right] = \frac{f''(\xi^{(0)})}{2f'(x^{(0)})}(x^* - x^{(0)})^2. \quad (2.141)$$

Então, da iteração de Newton (2.139), temos

$$x^* - x^{(1)} = \frac{f''(\xi^{(0)})}{2f'(x^{(0)})}(x^* - x^{(0)})^2 \quad (2.142)$$

Logo,

$$|x^* - x^{(1)}| \leq C|x^* - x^{(0)}|^2, \quad (2.143)$$

com

$$C = \sup_{x, y \in [x^* - \varepsilon, x^* + \varepsilon]} \left| \frac{f''(x)}{2f'(y)} \right|. \quad (2.144)$$

Segue, então, que se $x^{(0)} \in (x^* - \varepsilon, x^* + \varepsilon)$ para algum $\varepsilon > 0$ tal que

$$C|x^* - x^{(0)}|^2 < 1, \quad \forall x \in (x^* - \varepsilon, x^* + \varepsilon), \quad (2.145)$$

então $x^{(1)} \in (x^* - \varepsilon, x^* + \varepsilon)$.

Logo, por indução matemática¹⁷, temos que o método de Newton tem ordem de convergência quadrática

$$|x^{(k+1)} - x^*| \leq C|x^{(k)} - x^*|^2, \quad (2.146)$$

para qualquer escolha de $x^{(0)}$ suficientemente próximo de x^* , i.e. $x^{(0)} \in (x^* - \varepsilon, x^* + \varepsilon)$.

¹⁷Veja o exercício 2.5.5.

Observação 2.5.2. O intervalo $(x^* - \varepsilon, x^* + \varepsilon)$ é chamado de **bacia de atração do método de Newton**.

Exemplo 2.5.3. Retornamos ao problema de encontrar o zero da função

$$f(x) = \sin^2\left(x + \frac{\pi}{4}\right) - x^3 + \frac{\pi}{4}x^2 + \frac{5\pi^2}{16}x + \frac{3\pi^3}{64}. \quad (2.147)$$

no intervalo $[2, 3]$. Este problema foi construído de forma que $x^* = 3\pi/4$ é um zero de f . Então, fazendo as iterações de Newton com aproximação inicial $x^{(0)} = 2,6$, obtemos os resultados apresentados na Tabela 2.8, os quais evidenciam a convergência quadrática das iterações computadas.

Tabela 2.8: Resultados referentes ao Exemplo 2.5.3.

k	$x^{(k)}$	$ x^{(k)} - x^* $
0	2,6000	2,4E-01
1	2,3836	2,7E-02
2	2,3566	3,9E-04
3	2,3562	8,3E-08
4	2,3562	3,6E-15

2.5.3 Zeros múltiplos

Na análise de convergência acima foi necessário assumir que $f'(x) \neq 0$ para todo x em uma vizinhança do zero x^* da função f . Isto não é possível no caso de x^* ser um zero duplo pois, então, $f'(x^*) = 0$. Neste caso, podemos aplicar o método de Newton a $f'(x)$, a qual tem x^* como um zero simples.

Exemplo 2.5.4. Consideremos o problema de aproximar o zero da função

$$f(x) = \sin^2\left(x + \frac{\pi}{4}\right) - x^3 + \frac{\pi}{4}x^2 + \frac{5\pi^2}{16}x + \frac{3\pi^3}{64}. \quad (2.148)$$

no intervalo $[-1, 0]$. Este problema foi construído de forma que $x^* = -\pi/4$ é

um zero duplo de f . Então, aplicamos o método de Newton a

$$f'(x) = 2 \operatorname{sen} \left(x + \frac{\pi}{4} \right) \cos \left(x + \frac{\pi}{4} \right) - 3x\check{s} + \frac{\pi}{2}x + \frac{5\pi^2}{16}. \quad (2.149)$$

Ou seja, as iterações de Newton são

$$x^{(k+1)} = x^{(k)} - \frac{f'(x^{(k)})}{f''(x^{(k)})}, \quad k = 0, 1, 2, \dots, \quad (2.150)$$

sendo $x^{(1)}$ uma aproximação inicial. Na Tabela 2.9, temos os resultados obtidos da computação destas iterações com $x^{(1)} = -0,5$.

Tabela 2.9: Resultados referentes ao Exemplo ??.

k	$x^{(k)}$	$ x^{(k)} - x^* $
0	-0.5000	
1	-0.8341	3.3e-01
2	-0.7862	4.8e-02
3	-0.7854	7.9e-04
4	-0.7854	2.3e-07
5	-0.7854	1.9e-14

Observação 2.5.3. (Zeros múltiplos.) No caso de zeros de multiplicidade $m > 1$ de uma dada função f , podemos aplicar o método de Newton à derivada $m - 1$ de f , o que requer o cálculo de m derivadas de f . Alternativamente, consideramos aplicar o método à função auxiliar

$$\mu(x) := \frac{f(x)}{f'(x)}. \quad (2.151)$$

De fato, se x^* é zero de multiplicidade $m \geq 1$ de f , então existe uma função g tal que $g(x^*) \neq 0$ e

$$f(x) = (x - x^*)^m g(x) \quad (2.152)$$

Com isso, temos

$$\mu(x) = \frac{(x - x^*)^m g(x)}{m(x - x^*)^{m-1} g(x) + (x - x^*)^m g'(x)}$$

$$= \frac{(x - x^*) g(x)}{mg(x) + (x - x^*) g'(x)}$$

Como $g(x^*) \neq 0$, temos que

$$\frac{g(x^*)}{mg(x^*) + (x^* - x^*) g'(x^*)} = \frac{1}{m} \neq 0. \quad (2.153)$$

Ou seja, x^* é um zero simples de μ . A iteração do Método de Newton aplicado à μ fornece

$$x^{(k+1)} = x^{(k)} - \frac{\mu(x^{(k)})}{\mu'(x^{(k)})} \quad (2.154)$$

$$= x^{(k)} - \frac{\frac{f(x^{(k)})}{f'(x^{(k)})}}{\frac{[f'(x^{(k)})]^2 - f(x^{(k)})f''(x^{(k)})}{[f'(x^{(k)})]^2}} \quad (2.155)$$

Rearranjando os termos, obtemos a **iteração modificada de Newton para zeros de multiplicidade maior que 1**

$$x^{(k+1)} = x^{(k)} - \frac{f(x^{(k)}) f'(x^{(k)})}{[f'(x^{(k)})]^2 - f(x^{(k)}) f''(x^{(k)})}. \quad (2.156)$$

Para uma aplicação, consulte o exercício 2.5.3.

Exercícios

Exercício 2.5.1. Use o método de Newton para obter uma aproximação do zero de $f(x) = x^3 \sin(x) - \cos(x)$ no intervalo $[0,5, 1]$ com precisão de 10^{-6} .

Exercício 2.5.2. Use o método de Newton para obter uma aproximação do zero de

$$f(x) = (-x^2 + 1,154x - 0,332929) \cos(x) + x^2 - 1,154x + 0,332929 \quad (2.157)$$

no intervalo $(0,55, 0,65)$ com precisão de 10^{-5} .

Exercício 2.5.3. A função (2.148) tem um zero de multiplicidade par em $x = -\pi/4$. Assumindo a aproximação inicial $x^{(0)} = -0,5$, aplique a iteração modificada de Newton dada em (2.156) e compare os resultados com apresentados na Tabela 2.9.

Exercício 2.5.4. Assumindo a aproximação inicial $x^{(0)} = 1$, aproxime o zero de

$$f(x) = e^x - x - 1 \quad (2.158)$$

usando:

- a) a iteração de Newton para f .
- b) a iteração de Newton para f' .
- c) a iteração modificada de Newton¹⁸ para f .

Qual a melhor abordagem? Justifique sua resposta.

Exercício 2.5.5. Complete a demonstração por indução matemática de que o método de Newton tem taxa de convergência quadrática.

2.6 Método da Secante

O Método da Secante é um método tipo de Newton. Observamos que para duas aproximações $x^{(k)}$ e $x^{(k-1)}$ suficientemente próximas, temos¹⁹

$$f'(x^{(k)}) \approx \frac{f(x^{(k)}) - f(x^{(k-1)})}{x^{(k)} - x^{(k-1)}}. \quad (2.159)$$

Assim sendo, substituindo esta aproximação na iteração de Newton (Eq. (2.129)), obtemos a **iteração do Método da Secante**

$$x^{(0)}, x^{(1)} = \text{aprox. iniciais}, \quad (2.160a)$$

$$x^{(k+1)} = x^{(k)} - f(x^{(k)}) \frac{x^{(k)} - x^{(k-1)}}{f(x^{(k)}) - f(x^{(k-1)})}, \quad (2.160b)$$

para $k = 1, 2, 3, \dots$

¹⁸Equação (2.156).

¹⁹Razão fundamental do Cálculo.

Exemplo 2.6.1. Consideramos o problema de encontrar o zero da função

$$f(x) = \sin^2\left(x + \frac{\pi}{4}\right) - x^3 + \frac{\pi}{4}x^2 + \frac{5\pi^2}{16}x + \frac{3\pi^3}{64}. \quad (2.161)$$

no intervalo $[2,3]$. Fazendo as iterações do Método da Secante com aproximações iniciais $x^{(0)} = 2,6$ e $x^{(1)} = 2,5$, obtemos os resultados apresentados na Tabela 2.10.

Tabela 2.10: Resultados referentes ao Exemplo ??.

k	$x^{(k-1)}$	$x^{(k)}$	$ x^{(k)} - x^{(k-1)} $
0	2,6000	2,5000	-x-
1	2,5000	2,3728	1,3E-1
2	2,3728	2,3574	1,5E-2
3	2,3574	2,3562	1,2E-3
4	2,3562	2,3562	1,1E-5
5	2,3562	2,3562	7,0E-9

```

1 import numpy as np
2
3 # fun obj
4 f = lambda x: np.sin(x+np.pi/4)**2 \
5     - x**3 + np.pi/4*x**2 + 5*np.pi**2/16*x \
6     + 3*np.pi**3/64
7
8 # aprox. iniciais
9 x0 = 2.6
10 x1 = 2.5
11 print(f'\n0: {x0:.4f}, {x1:.4f}')
12
13 # iterações
14 for k in range(5):
15     x = x1 - f(x1)*(x1-x0)/(f(x1)-f(x0))
16     x0 = x1
17     x1 = x
18     print(f'{k+1}: {x0:.4f}, {x1:.4f}, {np.fabs(x1-x0):.1e}')
```

2.6.1 Interpretação Geométrica

A iteração do Método da Secante é

$$x^{(k+1)} = x^{(k)} - f(x^{(k)}) \frac{x^{(k)} - x^{(k-1)}}{f(x^{(k)}) - f(x^{(k-1)})}, \quad (2.162)$$

donde segue que

$$0 = x^{(k+1)} - x^{(k)} + f(x^{(k)}) \frac{x^{(k)} - x^{(k-1)}}{f(x^{(k)}) - f(x^{(k-1)})}, \quad (2.163)$$

bem como que

$$0 = \frac{f(x^{(k)}) - f(x^{(k-1)})}{x^{(k)} - x^{(k-1)}} (x^{(k+1)} - x^{(k)}) + f(x^{(k)}). \quad (2.164)$$

Ou seja, $x^{(k+1)}$ é o ponto de interseção da reta

$$y = \frac{f(x^{(k)}) - f(x^{(k-1)})}{x - x^{(k-1)}} (x^{(k+1)} - x^{(k)}) + f(x^{(k)}). \quad (2.165)$$

com o eixo x . Esta é a reta secante ao gráfico de f pelos pontos $(x^{(k)}, f(x^{(k)}))$ e $(x^{(k-1)}, f(x^{(k-1)}))$.

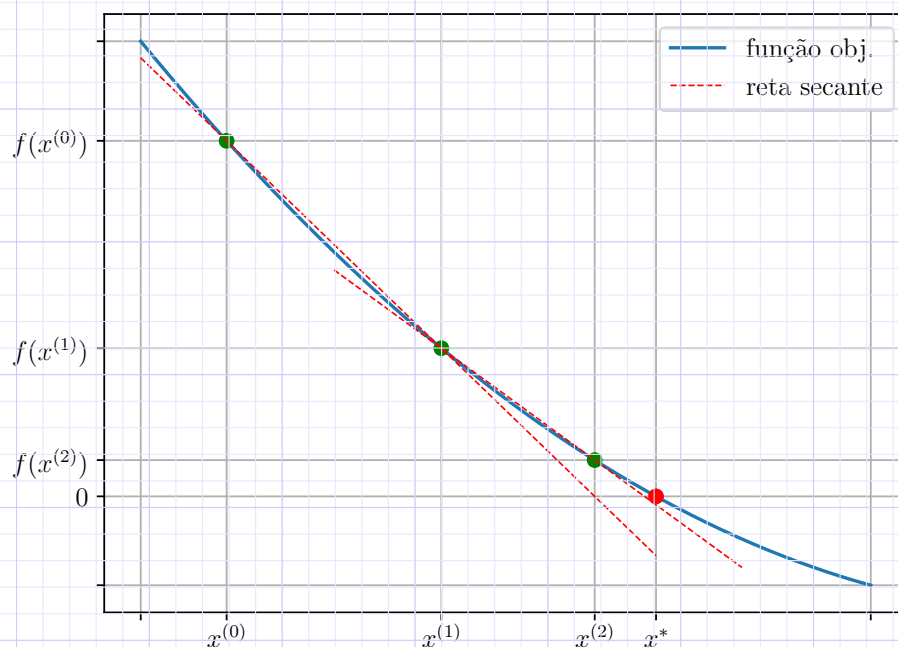


Figura 2.11: Interpretação geométrica do Método da Secante.

Observação 2.6.1. (Aproximações iniciais.) A interpretação geométrica do método da secante pode nos ajudar a escolher as aproximações iniciais $x^{(1)}$ e $x^{(2)}$. Como uma boa prática, escolhemo-las próximas do zero (por inspeção gráfica), tomando $x^{(1)}$ como uma aproximação melhor que $x^{(0)}$.

Observação 2.6.2. (Ordem de convergência super-linear.) A ordem de convergência do Método da Secante é superlinear com

$$|x^{(k+1)} - x^*| \leq C|x^{(k)} - x^*|^\varphi, \quad (2.166)$$

onde $\varphi = (1 + \sqrt{5})/2 \approx 1,618$ (razão áurea) e x^* é o zero de f .

Observação 2.6.3. (Zeros de multiplicidade par.) A ordem de convergência super-linear do método da secante não se mantém para o caso de x^* ser um zero múltiplo. Para contornar este problema, pode-se aplicar o método à derivada $n - 1$ de f , a fim de se aproximar um zero de multiplicidade n .

Observação 2.6.4. (Cancelamento catastrófico.) Conforme convergem as iterações do método da secante, o denominador $f(x^{(k)}) - f(x^{(k-1)})$ pode convergir rapidamente para zero, ocasionando uma divisão por zero.

Exercícios

Exercício 2.6.1. Use o Método da Secante para obter uma aproximação do zero de

$$f(x) = x^3 \sin(x) - \cos(x) \quad (2.167)$$

no intervalo $[0, 5, 1]$ com precisão de 10^{-5} .

Exercício 2.6.2. Use o Método da Secante para computar a(s) solução(ões) das seguintes equações com precisão de 8 dígitos significativos.

a) $x = 2^{-x}$ para $0 \leq x \leq 2$.

b) $e^{-x^2} = 3x - x^2$ para $-1 \leq x \leq 4$.

Exercício 2.6.3. Use o Método da Secante para obter uma aproximação do zero de

$$f(x) = \sin^2\left(x + \frac{\pi}{4}\right) - x^3 + \frac{\pi}{4}x^2 + \frac{5\pi^2}{16}x + \frac{3\pi^3}{64}. \quad (2.168)$$

no intervalo $[-1, 0]$ com precisão de 10^{-5} . Compare a convergência entre as seguintes abordagens:

a) aplicando a iteração (2.160) diretamente à f .

b) aplicando a iteração (2.160) diretamente à f' .

Qual das duas abordagens tem convergência mais rápida? Justifique sua resposta.

Exercício 2.6.4. Use o Método da Secante para obter uma aproximação do zero de

$$f(x) = (-x^2 + 1,154x - 0,332929) \cos(x) + x^2 - 1,154x + 0,332929 \quad (2.169)$$

no intervalo $[0,55, 0,65]$ com precisão de 10^{-5} .

Exercício 2.6.5. Use o Método da Secante para encontrar uma aproximação com precisão de 4 dígitos significativos do zero de

$$f(x) = (-x^2 + 1,154x - 0,332929) \cos(x) + x^2 - 1,154x + 0,332929 \quad (2.170)$$

no intervalo $[-1, 0]$.

bootstra

Exercício 2.6.6. Use o Método da Secante para encontrar o ponto crítico²⁰ de

$$f(x) = (1 - x^2)e^{-x^2} \quad (2.171)$$

no intervalo $[0, 2]$. Obtenha o resultado com precisão de 5 dígitos significativos por arredondamento.

2.7 Raízes de Polinômios

[[tag:revisar]]

Nesta seção, veremos como o método de Newton pode ser aplicado de forma robusta a polinômios com o auxílio do método de Horner²¹. A questão central é que dado um polinômio de grau n escrito na forma

$$p(x) = a_1x^n + a_2x^{n-1} + \cdots + a_nx + a_{n+1}, \quad (2.172)$$

o procedimento de avaliá-lo em um ponto requer $n!n$ multiplicações e n adições. Desta forma, a aplicação do método de Newton para obter as raízes de p torna-se computacionalmente custosa, por requer a avaliação de p e de sua derivada a cada iteração. Agora, o método de Horner nos permite avaliar p em um ponto qualquer usando apenas n multiplicações e n adições, reduzindo enormemente o custo computacional.

²⁰Definimos que x é ponto crítico de uma dada f , quando $f'(x) = 0$ ou $\nexists f'(x)$.

²¹William George Horner, matemático britânico, 1786 - 1837. Fonte: [Wikipedia](#)

2.7.1 Método de Horner

[[tag:revisar]]

Sejam dados um número x_0 e um polinômio de grau n

$$p(x) = p_1x^n + p_2x^{n-1} + \cdots + p_nx + p_{n+1}s. \quad (2.173)$$

O método de Horner consiste em computar $p(x_0)$ pela iteração

$$q_1 = p_1, \quad (2.174)$$

$$q_k = p_k + q_{k-1}x_0, \quad k = 2, 3, \dots, n+1, \quad (2.175)$$

sendo que, então, $p(x_0) = q_{n+1}$ e, além disso,

$$p(x) = (x - x_0)q(x) + q_{n+1}, \quad (2.176)$$

com

$$q(x) = q_1x^{n-1} + q_2x^{n-2} + \cdots + q_{n-1}x + q_n. \quad (2.177)$$

De fato, a verificação de (2.176) é direta, uma vez que

$$\begin{aligned} (x - x_0)q(x) + q_{n+1} &= (x - x_0)(q_1x^{n-1} + q_2x^{n-2} + \cdots + q_{n-1}x + q_n) \\ &\quad + q_{n+1} \end{aligned} \quad (2.178)$$

$$= q_1x^n + (q_2 - q_1x_0)x^{n-1} + \cdots + (q_{n+1} - q_nx_0). \quad (2.179)$$

E, então, igualando a $p(x)$ na forma (2.173), temos as equações (2.174)-(2.175).

Exemplo 2.7.1. Consideremos o polinômio

$$p(x) = x^3 - 3x^2 + 4. \quad (2.180)$$

Para computarmos $p(1)$ pelo método de Horner, tomamos $x_0 = 1$, $q_1 = p_1 = 1$ e

$$q_2 = p_2 + q_1x_0 = -3 + 1 \cdot 1 = -2 \quad (2.181)$$

$$q_3 = p_3 + q_2x_0 = 0 + (-2) \cdot 1 = -2 \quad (2.182)$$

$$q_4 = p_4 + q_3x_0 = 4 + (-2) \cdot 1 = 2. \quad (2.183)$$

Com isso, temos $p(3) = q_4 = 4$ (verifique!).

Observação 2.7.1. Ao computarmos $p(x_0)$ pelo método de Horner, obtemos a decomposição

$$p(x) = (x - x_0)q(x) + b_{n+1}. \quad (2.184)$$

Desta forma, temos

$$p'(x) = q(x) + (x - x_0)q'(x), \quad (2.185)$$

donde temos que $p'(x_0) = q(x_0)$. Com isso, para computarmos $p'(x_0)$ podemos aplicar o método de Horner a $q(x)$.

2.7.2 Método de Newton-Horner

[[tag:revisar]]

A implementação do método de Newton a polinômios pode ser feita de forma robusta com o auxílio do método de Horner. Dado um polinômio p e uma aproximação inicial $x^{(1)}$ para uma de suas raízes reais, a iteração de Newton consiste em

$$x^{(k+1)} = x^{(k)} - \frac{p(x^{(k)})}{p'(x^{(k)})}, \quad (2.186)$$

na qual podemos utilizar o método de Horner para computar $p(x^{(k)})$ e $p'(x^{(k)})$.

Exemplo 2.7.2. Consideremos o caso de aplicar o método de Newton para obter uma aproximação da raiz $x = -1$ de

$$p(x) = x^3 - 3x^2 + 4, \quad (2.187)$$

com aproximação inicial $x^{(1)} = -2$. Na Tabela 2.11 temos os resultados obtidos.

Exercícios

[[tag:revisar]]

Exercício 2.7.1. Use o método de Newton-Horner para computar a aproximação da raiz de $p(x) = x^3 - 3x^2 + 4$ no intervalo $[1, 3]$. Observe que p tem um zero duplo deste intervalo.

Tabela 2.11: Resultados referentes ao Exemplo 2.7.2.

k	$x^{(k)}$	$ x^{(k)} - x^{(k-1)} $
1	-2,0000	-x-
2	-1,3333	6,7E-1
3	-1,0556	2,8E-1
4	-1,0019	5,4E-2
5	-1,0000	1,9E-3

Capítulo 3

Métodos para Sistemas Lineares

Neste capítulo, discutimos sobre métodos diretos para a resolução de sistemas lineares de n -equações com n -incógnitas. Isto é, sistemas que podem ser escritos na seguinte **forma algébrica**

$$a_{11}x_1 + a_{12}x_2 + \cdots + a_{1n}x_n = b_1 \quad (3.1)$$

$$a_{21}x_1 + a_{22}x_2 + \cdots + a_{2n}x_n = b_2 \quad (3.2)$$

$$\vdots \quad (3.3)$$

$$a_{n1}x_1 + a_{n2}x_2 + \cdots + a_{nn}x_n = b_n. \quad (3.4)$$

Equivalentemente, o sistema pode ser escrito na **forma matricial**

$$A\mathbf{x} = \mathbf{b} \quad (3.5)$$

onde, $A = [a_{i,j}]_{i,j=1}^{n,n}$ é a **matriz dos coeficientes**

$$A = \begin{bmatrix} a_{1,1} & a_{1,2} & \cdots & a_{1,n} \\ a_{2,1} & a_{2,2} & \cdots & a_{2,n} \\ \vdots & \vdots & \ddots & \vdots \\ a_{n,1} & a_{n,2} & \cdots & a_{n,n} \end{bmatrix}, \quad (3.6)$$

o **vetor das incógnitas** $\mathbf{x} = (x_i)_{i=1}^n$ é

$$\mathbf{x} = \begin{bmatrix} x_1 \\ x_2 \\ \vdots \\ x_n \end{bmatrix} \quad (3.7)$$

e o **vetor dos termos constantes** $\mathbf{b} = (b_i)_{i=1}^n$ é

$$\mathbf{b} = \begin{bmatrix} b_1 \\ b_2 \\ \vdots \\ b_n \end{bmatrix} \quad (3.8)$$

3.1 Método da Decomposição LU

O Método da Decomposição LU é uma forma eficiente de se resolver sistemas lineares de pequeno porte. Dado um sistema $A\mathbf{x} = \mathbf{b}$, a ideia é decompor a matriz A como o produto de uma **matriz triangular inferior** L (do inglês, *lower triangular matrix*) com uma **matriz triangular superior** U (do inglês, *upper triangular matrix*), i.e.

$$A = LU. \quad (3.9)$$

Com isso, o sistema pode ser reescrito na forma

$$A\mathbf{x} = \mathbf{b} \quad (3.10)$$

$$(LU)\mathbf{x} = \mathbf{b} \quad (3.11)$$

$$L(U\mathbf{x}) = \mathbf{b}. \quad (3.12)$$

Denotando,

$$U\mathbf{x} =: \mathbf{y} \quad (3.13)$$

podemos resolver o seguinte sistema triangular

$$L\mathbf{y} = \mathbf{b}. \quad (3.14)$$

Tendo resolvido este sistema, a solução do sistema $A\mathbf{x} = \mathbf{b}$ pode, então, ser computada como a solução do sistema triangular

$$U\mathbf{x} = \mathbf{y}. \quad (3.15)$$

Ou seja, a decomposição LU nos permite resolver um sistema pela resolução de dois sistemas triangulares.

3.1.1 Sistemas Triangulares

Antes de estudarmos como podemos computar a decomposição LU de uma matriz, vamos discutir sobre a resolução de sistemas triangulares.

Sistema Triangular Inferior

Um sistema linear triangular inferior tem a forma algébrica

$$\begin{array}{rccccccc} a_{1,1}x_1 & & & & & & = b_1 \\ a_{2,1}x_1 & + a_{2,2}x_2 & & & & & = b_2 \\ \vdots & & & & & & \vdots \\ a_{n-1,1}x_1 & + a_{n-1,2}x_2 & + \cdots & + a_{n-1,n-1}x_{n-1} & & & = b_{n-1} \\ a_{n,1}x_1 & + a_{n,2}x_2 & + \cdots & + a_{n,n-1}x_{n-1} & + a_{n,n}x_n & & = b_n \end{array} \quad (3.16)$$

Pode ser diretamente resolvido de cima para baixo, i.e.

$$x_1 = \frac{b_1}{a_{1,1}} \quad (3.17)$$

$$x_2 = \frac{b_2 - a_{2,1}x_1}{a_{2,2}} \quad (3.18)$$

$$\vdots \quad (3.19)$$

$$x_n = \frac{b_n - a_{n,1}x_1 - a_{n,2}x_2 - \cdots - a_{n,n-1}x_{n-1}}{a_{n,n}} \quad (3.20)$$

Exemplo 3.1.1. Vamos resolver o sistema triangular inferior

$$\begin{array}{rcccc} x_1 & & & = 2 \\ -3x_1 & + 2x_2 & & = -8 \\ -x_1 & + x_2 & - x_3 & = 0 \end{array} \quad (3.21)$$

Na primeira equação, temos

$$x_1 = 2 \quad (3.22)$$

Então, da segunda equação do sistema

$$-3x_1 + 2x_2 = -8 \quad (3.23)$$

$$x_2 = \frac{-8 + 3x_1}{2} \quad (3.24)$$

$$x_2 = \frac{-8 + 3 \cdot 2}{2} \quad (3.25)$$

$$x_2 = -1 \quad (3.26)$$

E, por fim, da última equação

$$-x_1 + x_2 - x_3 = 0 \quad (3.27)$$

$$x_3 = \frac{x_1 - x_2}{-1} \quad (3.28)$$

$$x_3 = \frac{2 - (-1)}{-1} \quad (3.29)$$

$$x_3 = 3 \quad (3.30)$$

Concluimos que a solução do sistema é $\mathbf{x} = (2, -1, 3)$.

Código 3.1: solSisTriaInf.py

```
1 import numpy as np
2
3 def solSisTriaInf(A, b):
4     n = b.size
5     x = np.zeros_like(b)
6     for i in range(n):
7         x[i] = b[i]
8         for j in range(i):
9             x[i] -= A[i,j]*x[j]
10        x[i] /= A[i,i]
11    return x
12
13
14 # mat coeficientes
15 A = np.array([[1., 0., 0.],
16              [-3., 2., 0.],
17              [-1., 1., -1.]])
18
19 # vet termos constantes
20 b = np.array([2., -8., 0.])
21
22 # resol sis lin
23 x = solSisTriaInf(A, b)
24 print(x)
```

Observação 3.1.1. (Número de operações em ponto flutuante.) A computação da solução de um sistema $n \times n$ triangular inferior requer $O(n^2)$ operações em ponto flutuante (multiplicações/divisões e adições/subtrações).

Sistema Triangular Superior

Um sistema linear triangular superior tem a forma algébrica

$$\begin{array}{ccccccc} a_{1,1}x_1 & +a_{1,2}x_2 & +\cdots & +a_{1,n}x_n & = & b_1 \\ & a_{2,2}x_2 & +\cdots & +a_{2,n}x_n & = & b_2 \\ & & & \vdots & & \vdots \\ & & & a_{n,n}x_n & = & b_n \end{array} \quad (3.31)$$

Pode ser diretamente resolvido de baixo para cima, i.e.

$$x_n = \frac{b_n}{a_{n,n}} \quad (3.32)$$

$$x_{n-1} = \frac{b_{n-1} - a_{n-1,n}x_n}{a_{n-1,n-1}} \quad (3.33)$$

$$\vdots \quad (3.34)$$

$$x_1 = \frac{b_1 - a_{1,1}x_1 - a_{1,2}x_2 - \dots - a_{1,n-1}x_{n-1}}{a_{1,1}} \quad (3.35)$$

Exemplo 3.1.2. Vamos resolver o sistema triangular superior

$$\begin{array}{cccc} 2x_1 & -x_2 & +2x_3 & = 7 \\ & 2x_2 & -x_3 & = -3 \\ & & 3x_3 & = 3 \end{array} \quad (3.36)$$

Da última equação, temos

$$x_3 = \frac{3}{3} \quad (3.37)$$

$$x_3 = 1 \quad (3.38)$$

Então, da segunda equação do sistema, obtemos

$$2x_2 - x_3 = -3 \quad (3.39)$$

$$x_2 = \frac{x_3 - 3}{2} \quad (3.40)$$

$$x_2 = \frac{1 - 3}{2} \quad (3.41)$$

$$x_2 = -1 \quad (3.42)$$

Por fim, da primeira equação

$$2x_1 - x_2 + 2x_3 = 7 \quad (3.43)$$

$$x_1 = \frac{7 + x_2 - 2x_3}{2} \quad (3.44)$$

$$x_1 = \frac{7 - 1 - 2}{2} \quad (3.45)$$

$$x_1 = 2 \quad (3.46)$$

Concluimos que a solução do sistema é $\mathbf{x} = (2, -1, 1)$.

Código 3.2: solSisTriaSup.py

```

1 import numpy as np
2
3 def solSisTriaSup(A, b):
4     n = b.size
5     x = np.zeros_like(b)
6     for i in range(n-1, -1, -1):
7         x[i] = b[i]
8         for j in range(n-1, i, -1):
9             x[i] -= A[i, j]*x[j]
10        x[i] /= A[i, i]
11    return x
12
13
14 # mat coeficientes
15 A = np.array([[2., -1., 2.],
16              [0., 2., -1.],
17              [0., 0., 3.]])
18
19 # vet termos constantes
20 b = np.array([7., -3., 3.])
21
22 # sol sis lin

```

```

23 x = solSisTriaSup(A, b)
24 print(x)

```

Observação 3.1.2. (Número de operações em ponto flutuante.) A computação da solução um sistema $n \times n$ triangular superior requer $O(n^2)$ operações em ponto flutuante (multiplicações/divisões e adições/subtrações).

3.1.2 Decomposição LU

O procedimento da decomposição LU é equivalente ao método de eliminação gaussiana. Consideramos uma matriz $A = [a_{ij}]_{i,j=1}^{n,n}$, com $a_{1,1} \neq 0$, e começamos denotando esta matriz por $U^{(0)} = [u_{i,j}^{(0)}]_{i,j=1}^{n,n} = A$ e tomando $L^{(0)} = I_{n \times n}$. A eliminação abaixo do pivô $u_{1,1}^{(0)}$, pode ser computada com as seguintes operações equivalentes por linha

$$U^{(0)} = \begin{bmatrix} u_{1,1}^{(0)} & u_{1,2}^{(0)} & u_{1,3}^{(0)} & \dots & u_{1,n}^{(0)} \\ u_{2,1}^{(0)} & u_{2,2}^{(0)} & u_{2,3}^{(0)} & \dots & u_{2,n}^{(0)} \\ u_{3,1}^{(0)} & u_{3,2}^{(0)} & u_{3,3}^{(0)} & \dots & u_{3,n}^{(0)} \\ \vdots & \vdots & \vdots & \dots & \vdots \\ u_{n,1}^{(0)} & u_{n,2}^{(0)} & u_{n,3}^{(0)} & \dots & u_{n,n}^{(0)} \end{bmatrix} \begin{array}{l} U_1^{(1)} \leftarrow U_1^{(0)} \\ U_2^{(1)} \leftarrow U_2^{(0)} - l_{2,1}^{(1)} U_1^{(0)} \\ U_3^{(1)} \leftarrow U_3^{(0)} - l_{3,1}^{(1)} U_1^{(0)} \\ \vdots \\ U_n^{(1)} \leftarrow U_n^{(0)} - l_{n,1}^{(1)} U_1^{(0)} \end{array} \quad (3.47)$$

onde, $l_{i,1}^{(1)} = u_{i,1}^{(0)} / u_{1,1}^{(0)}$, $i = 2, 3, \dots, n$.

Destas computações, obtemos uma nova matriz da forma

$$U^{(1)} = \begin{bmatrix} u_{1,1}^{(1)} & u_{1,2}^{(1)} & u_{1,3}^{(1)} & \dots & u_{1,n}^{(1)} \\ 0 & u_{2,2}^{(1)} & u_{2,3}^{(1)} & \dots & u_{2,n}^{(1)} \\ 0 & u_{3,2}^{(1)} & u_{3,3}^{(1)} & \dots & u_{3,n}^{(1)} \\ \vdots & \vdots & \vdots & \dots & \vdots \\ 0 & u_{n,2}^{(1)} & u_{n,3}^{(1)} & \dots & u_{n,n}^{(1)} \end{bmatrix} \quad (3.48)$$

E, denotando

$$L^{(1)} = \begin{bmatrix} 1 & 0 & 0 & \dots & 0 \\ l_{2,1}^{(1)} & 1 & 0 & \dots & 0 \\ l_{3,1}^{(1)} & 0 & 1 & \dots & 0 \\ \vdots & \vdots & \vdots & \dots & \vdots \\ l_{n,1}^{(1)} & 0 & 0 & \dots & 1 \end{bmatrix} \quad (3.49)$$

temos

$$A = L^{(1)}U^{(1)}. \quad (3.50)$$

No caso de $u_{2,2}^{(1)} \neq 0$, podemos continuar com o procedimento de eliminação gaussiana com as seguintes operações equivalentes por linha

$$U^{(1)} = \begin{bmatrix} u_{1,1}^{(1)} & u_{1,2}^{(1)} & u_{1,3}^{(1)} & \dots & u_{1,n}^{(1)} \\ 0 & u_{2,2}^{(1)} & u_{2,3}^{(1)} & \dots & u_{2,n}^{(1)} \\ 0 & u_{3,2}^{(1)} & u_{3,3}^{(1)} & \dots & u_{3,n}^{(1)} \\ \vdots & \vdots & \vdots & \dots & \vdots \\ 0 & u_{n,2}^{(1)} & u_{n,3}^{(1)} & \dots & u_{n,n}^{(1)} \end{bmatrix} \begin{array}{l} U_1^{(2)} \leftarrow U_1^{(1)} \\ U_2^{(2)} \leftarrow U_2^{(1)} \\ U_3^{(2)} \leftarrow U_3^{(1)} - l_{3,2}^{(2)}U_2^{(1)} \\ \vdots \\ U_n^{(2)} \leftarrow U_n^{(1)} - l_{n,2}^{(2)}U_2^{(1)} \end{array} \quad (3.51)$$

onde, $l_{i,2}^{(2)} = u_{i,2}^{(1)}/u_{2,2}^{(1)}$, $i = 3, 4, \dots, n$. Isto nos fornece o que nos fornece

$$U^{(2)} = \begin{bmatrix} u_{1,1}^{(2)} & u_{1,2}^{(2)} & u_{1,3}^{(2)} & \dots & u_{1,n}^{(2)} \\ 0 & u_{2,2}^{(2)} & u_{2,3}^{(2)} & \dots & u_{2,n}^{(2)} \\ 0 & 0 & u_{3,3}^{(2)} & \dots & u_{3,n}^{(2)} \\ \vdots & \vdots & \vdots & \dots & \vdots \\ 0 & 0 & u_{n,3}^{(2)} & \dots & u_{n,n}^{(2)} \end{bmatrix}. \quad (3.52)$$

Além disso, denotando

$$L^{(2)} = \begin{bmatrix} 1 & 0 & 0 & \dots & 0 \\ l_{2,1}^{(1)} & 1 & 0 & \dots & 0 \\ l_{3,1}^{(1)} & l_{3,2}^{(2)} & 1 & \dots & 0 \\ \vdots & \vdots & \vdots & \dots & \vdots \\ l_{n,1}^{(1)} & l_{n,2}^{(2)} & 0 & \dots & 1 \end{bmatrix} \quad (3.53)$$

temos

$$A = L^{(2)}U^{(2)}. \quad (3.54)$$

Continuando com este procedimento, ao final de $n - 1$ passos teremos obtido a decomposição

$$A = LU, \quad (3.55)$$

onde L é a matriz triangular inferior

$$L = L^{(n-1)} = \begin{bmatrix} 1 & 0 & 0 & \dots & 0 \\ l_{2,1}^{(1)} & 1 & 0 & \dots & 0 \\ l_{3,1}^{(1)} & l_{3,2}^{(2)} & 1 & \dots & 0 \\ \vdots & \vdots & \vdots & \dots & \vdots \\ l_{n,1}^{(1)} & l_{n,2}^{(2)} & l_{n,3}^{(3)} & \dots & 1 \end{bmatrix} \quad (3.56)$$

e U é a matriz triangular superior

$$U = U^{(n-1)} = \begin{bmatrix} u_{1,1}^{(0)} & u_{1,2}^{(0)} & u_{1,3}^{(0)} & \dots & u_{1,n}^{(0)} \\ 0 & u_{2,2}^{(1)} & u_{2,3}^{(1)} & \dots & u_{2,n}^{(1)} \\ 0 & 0 & u_{3,3}^{(2)} & \dots & u_{3,n}^{(2)} \\ \vdots & \vdots & \vdots & \dots & \vdots \\ 0 & 0 & 0 & \dots & u_{n,n}^{(n-1)} \end{bmatrix}. \quad (3.57)$$

Exemplo 3.1.3. Consideramos a seguinte matriz

$$A = \begin{bmatrix} -1 & 2 & -2 \\ 3 & -4 & 1 \\ 1 & -5 & 3 \end{bmatrix}. \quad (3.58)$$

Para obtermos sua decomposição LU começamos com

$$L^{(0)} := \begin{bmatrix} 1 & 0 & 0 \\ 0 & 1 & 0 \\ 0 & 0 & 1 \end{bmatrix}, \quad (3.59)$$

$$U^{(0)} := \begin{bmatrix} -1 & 2 & -2 \\ 3 & -4 & 1 \\ 1 & -5 & 3 \end{bmatrix}. \quad (3.60)$$

Então, observando que a eliminação abaixo do pivô $u_{1,1} = -1$ pode ser feita com as seguintes operações equivalentes por linha

$$U^{(0)} = \begin{bmatrix} -1 & 2 & -2 \\ 3 & -4 & 1 \\ 1 & -5 & 3 \end{bmatrix} \quad \begin{array}{l} U_1^{(1)} \leftarrow U_1^{(0)} \\ U_2^1 \leftarrow U_2^{(0)} - \frac{3}{-1}U_1^{(0)} \\ U_3^1 \leftarrow U_3^{(0)} - \frac{1}{-1}U_1^{(0)} \end{array}, \quad (3.61)$$

temos

$$L^{(1)} := \begin{bmatrix} 1 & 0 & 0 \\ -3 & 1 & 0 \\ -1 & 0 & 1 \end{bmatrix}, \quad (3.62)$$

$$U^{(1)} := \begin{bmatrix} -1 & 2 & -2 \\ 0 & 2 & -5 \\ 0 & -3 & 1 \end{bmatrix}. \quad (3.63)$$

Agora, para eliminarmos abaixo do pivô $u_{2,2} = 2$, usamos as operações

$$U^{(1)} := \begin{bmatrix} -1 & 2 & -2 \\ 0 & 2 & -5 \\ 0 & -3 & 1 \end{bmatrix} \begin{array}{l} U_1^{(2)} \leftarrow U_1^{(1)} \\ U_2^{(2)} \leftarrow U_2^{(1)} \\ U_3^{(2)} \leftarrow U_3^{(1)} - \frac{-3}{2}U_2^{(1)} \end{array}, \quad (3.64)$$

donde

$$L^{(2)} = \begin{bmatrix} 1 & 0 & 0 \\ -3 & 1 & 0 \\ -1 & -1,5 & 1 \end{bmatrix}, \quad (3.65)$$

$$U^{(1)} = \begin{bmatrix} -1 & 2 & -2 \\ 0 & 2 & -5 \\ 0 & 0 & -6,5 \end{bmatrix}. \quad (3.66)$$

Isso completa a decomposição, sendo $L := L^{(3)}$ e $U := U^{(3)}$.

Código 3.3: lu.py

```
1 import numpy as np
2
3 def lu(A):
4     # num. de linhas
5     n = A.shape[0]
6
7     # inicialização
8     U = A.copy()
9     L = np.eye(n)
10
11     print(f'\n0')
12     print(f'L = \n{L}')
13     print(f'U = \n{U}')
```

```

14
15     # decomposição
16     for i in range(n-1):
17         for j in range(i+1,n):
18             L[j,i] = U[j,i]/U[i,i]
19             U[j,i:] -= L[j,i]*U[i,i:]
20
21         print(f'{i+1}:')
22         print(f'L = \n{L}')
23         print(f'U = \n{U}')
24
25     return L, U
26
27 # matriz
28 A = np.array([[ -1.,  2., -2.],
29               [ 3., -4.,  1.],
30               [ 1., -5.,  3.]])
31
32 L, U = lu(A)

```

Observação 3.1.3. (Número de operações em ponto flutuante.) A decomposição LU de um sistema $n \times n$ requer $O(n^3)$ operações em ponto flutuante (multiplicações/divisões e adições/subtrações).

3.1.3 Resolução do Sistema com Decomposição LU

Consideramos o sistema linear

$$A\mathbf{x} = \mathbf{b}. \quad (3.67)$$

Para resolvê-lo com o Método LU, fazemos

1. Computamos a decomposição LU

$$A = LU. \quad (3.68)$$

2. Resolvemos o sistema triangular inferior

$$L\mathbf{y} = \mathbf{b}. \quad (3.69)$$

3. Resolvemos o sistema triangular superior

$$Ux = y. \quad (3.70)$$

Exemplo 3.1.4. Vamos resolver o seguinte sistema linear

$$-x_1 + 2x_2 - 2x_3 = 6 \quad (3.71)$$

$$3x_1 - 4x_2 + x_3 = -11 \quad (3.72)$$

$$x_1 - 5x_2 + 3x_3 = -10. \quad (3.73)$$

No exemplo anterior (Exemplo 3.1.4), vimos que a matriz de coeficientes A deste sistema admite a seguinte decomposição LU

$$\underbrace{\begin{bmatrix} -1 & 2 & -2 \\ 3 & -4 & 1 \\ 1 & -5 & 3 \end{bmatrix}}_A = \underbrace{\begin{bmatrix} 1 & 0 & 0 \\ -3 & 1 & 0 \\ -1 & -1,5 & 1 \end{bmatrix}}_L \underbrace{\begin{bmatrix} -1 & 2 & -2 \\ 0 & 2 & -5 \\ 0 & 0 & -6,5 \end{bmatrix}}_U \quad (3.74)$$

Daí, iniciamos resolvendo o seguinte sistema triangular inferior $Ly = b$, i.e.

$$y_1 = 6 \quad (3.75)$$

$$-3y_1 + y_2 = -11 \quad (3.76)$$

$$\Rightarrow y_2 = 7 \quad (3.77)$$

$$-y_1 - 1,5y_2 + y_3 = -10 \quad (3.78)$$

$$\Rightarrow y_3 = 6,5. \quad (3.79)$$

Por fim, computamos a solução x resolvendo o sistema triangular superior $Ux = y$, i.e.

$$-6,5x_3 = 6,5 \quad (3.80)$$

$$\Rightarrow x_3 = -1, \quad (3.81)$$

$$2x_2 - 5x_3 = 7 \quad (3.82)$$

$$\Rightarrow x_2 = 1 \quad (3.83)$$

$$-x_1 + 2x_2 - 2x_3 = 6 \quad (3.84)$$

$$\Rightarrow x_1 = -2. \quad (3.85)$$

```

1  import numpy as np
2
3  # mat coefs
4  A = np.array([[ -1.,  2., -2.],
5                [ 3., -4.,  1.],
6                [ 1., -5.,  3.]])
7  # vet termos const
8  b = np.array([6., -11., -10.])
9
10 # 1. LU
11 L, U = lu(A)
12
13 # 2. Ly = b
14 y = solSisTriaInf(L, b)
15
16 # 3. Ux = y
17 x = solSisTriaSup(U, y)

```

3.1.4 Fatoração LU com Pivotamento Parcial

O algoritmo estudando acima não é aplicável no caso de o pivô ser nulo, o que pode ser corrigido através de permutações de linhas. Na fatoração LU com pivotamento parcial fazemos permutações de linha na matriz de forma que o pivô seja sempre aquele de maior valor em módulo. Por exemplo, suponha que o elemento $a_{3,1}$ seja o maior valor em módulo na primeira coluna da matriz $A = U^{(0)}$ com

$$U^{(0)} = \begin{bmatrix} u_{1,1}^{(0)} & u_{1,2}^{(0)} & u_{1,3}^{(0)} & \cdots & u_{1,n}^{(0)} \\ u_{2,1}^{(0)} & u_{2,2}^{(0)} & u_{2,3}^{(0)} & \cdots & u_{2,n}^{(0)} \\ \mathbf{u_{3,1}^{(0)}} & u_{3,2}^{(0)} & u_{3,3}^{(0)} & \cdots & u_{3,n}^{(0)} \\ \vdots & \vdots & \vdots & \cdots & \vdots \\ u_{n,1}^{(0)} & u_{n,2}^{(0)} & u_{n,3}^{(0)} & \cdots & u_{n,n}^{(0)} \end{bmatrix}. \quad (3.86)$$

Neste caso, o procedimento de eliminação na primeira coluna deve usar $u_{3,1}^{(0)}$ como pivô, o que requer a permutação entre as linhas 1 e 3 ($U_1^{(0)} \leftrightarrow U_3^{(0)}$).

Isto pode ser feito utilizando-se da seguinte **matriz de permutação**

$$P = \begin{bmatrix} 0 & 0 & 1 & \dots & 0 \\ 0 & 1 & 0 & \dots & 0 \\ 1 & 0 & 0 & \dots & 0 \\ \vdots & \vdots & \vdots & \dots & \vdots \\ 0 & 0 & 0 & \dots & 1 \end{bmatrix}. \quad (3.87)$$

Com essa, iniciamos o procedimento de decomposição LU com $PA = L^{(0)}U^{(0)}$, onde $L^{(0)} = I_{n \times n}$ e $U^{(0)} = PA$. Caso sejam necessárias outras mudanças de linhas no decorrer do procedimento de decomposição, a matriz de permutação P deve ser atualizada apropriadamente.

Exemplo 3.1.5. Vamos fazer a decomposição LU com pivotamento parcial da seguinte matriz

$$A = \begin{bmatrix} -1 & 2 & -2 \\ 3 & -4 & 1 \\ 1 & -5 & 3 \end{bmatrix} \quad (3.88)$$

Começamos, tomando

$$P^{(0)} = \begin{bmatrix} 1 & 0 & 0 \\ 0 & 1 & 0 \\ 0 & 0 & 1 \end{bmatrix}, \quad (3.89)$$

$$L^{(0)} = \begin{bmatrix} 1 & 0 & 0 \\ 0 & 1 & 0 \\ 0 & 0 & 1 \end{bmatrix}, \quad (3.90)$$

$$U^{(0)} = \begin{bmatrix} -1 & 2 & -2 \\ 3 & -4 & 1 \\ 1 & -5 & 3 \end{bmatrix} \quad (3.91)$$

O candidato a pivô é o elemento $u_{2,1}^{(0)}$. Então, fazemos as permutações de linhas

$$P_1^{(0)} \leftrightarrow P_2^{(0)}, \quad (3.92)$$

$$U_1^{(0)} \leftrightarrow U_2^{(0)} \quad (3.93)$$

e, na sequência, as operações elementares por linhas

$$U_{2:3}^{(1)} \leftarrow U_{2:3}^{(0)} - m_{2:3,1}^{(0)} U_1^{(0)}, \quad (3.94)$$

donde obtemos

$$P^{(1)} = \begin{bmatrix} 0 & 1 & 0 \\ 1 & 0 & 0 \\ 0 & 0 & 1 \end{bmatrix}, \quad (3.95)$$

$$L^{(1)} = \begin{bmatrix} 1 & 0 & 0 \\ -0,\bar{3} & 1 & 0 \\ 0,\bar{3} & 0 & 1 \end{bmatrix}, \quad (3.96)$$

$$U^{(1)} = \begin{bmatrix} 3 & -4 & 1 \\ 0 & 0,\bar{6} & -1,\bar{6} \\ 0 & -3,\bar{6} & 2,\bar{6} \end{bmatrix} \quad (3.97)$$

Agora, o candidato a pivô é o elemento $u_{3,2}^{(1)}$. Assim, fazemos as permutações de linhas

$$P_2^{(1)} \leftrightarrow P_3^{(1)}, \quad (3.98)$$

$$U_2^{(1)} \leftrightarrow U_3^{(1)} \quad (3.99)$$

e análogo para os elementos da coluna 1 de L . Então, fazemos a operação elementar por linha

$$U_3^{(2)} \leftarrow U_3^{(1)} - m_{3,2}^{(1)} U_2^{(1)} \quad (3.100)$$

. Com isso, obtemos

$$P^{(2)} = \begin{bmatrix} 0 & 1 & 0 \\ 0 & 0 & 1 \\ 1 & 0 & 0 \end{bmatrix}, \quad (3.101)$$

$$L^{(2)} = \begin{bmatrix} 1 & 0 & 0 \\ 0,\bar{3} & 1 & 0 \\ -0,\bar{3} & -0,\bar{18} & 1 \end{bmatrix}, \quad (3.102)$$

$$U^{(2)} = \begin{bmatrix} 3 & -4 & 1 \\ 0 & -3,\bar{6} & 2,\bar{6} \\ 0 & 0 & -1,\bar{18} \end{bmatrix} \quad (3.103)$$

Por fim, temos obtido a decomposição LU de A na forma

$$PA = LU, \quad (3.104)$$

com $P = P^{(2)}$, $L = L^{(2)}$ e $U = U^{(2)}$.

Código 3.4: lup.py

```
1 import numpy as np
2
3 def lup(A):
4     # num. de linhas
5     n = A.shape[0]
6
7     # inicialização
8     U = A.copy()
9     L = np.eye(n)
10    P = np.eye(n)
11
12    print(f'\n0')
13    print(f'P = \n{P}')
14    print(f'L = \n{L}')
15    print(f'U = \n{U}')
16
17    # decomposição
18    for i in range(n-1):
19        # permutação de linhas
20        p = i + np.argmax(np.fabs(U[i:,i]))
21        P[[i,p]] = P[[p,i]]
22        U[[i,p]] = U[[p,i]]
23        L[[i,p],:] = L[[p,i],:]
24        # eliminação gaussiana
25        for j in range(i+1,n):
26            L[j,i] = U[j,i]/U[i,i]
27            U[j,i:] -= L[j,i]*U[i,i:]
28
29        print(f'{i+1}:')
30        print(f'P = \n{P}')
31        print(f'L = \n{L}')
32        print(f'U = \n{U}')
33
34    return P, L, U
35
36 # matriz
37 A = np.array([[ -1.,  2., -2.],
38               [ 3., -4.,  1.],
39               [ 1., -5.,  3.]])
```

40
41 $P, L, U = \text{lup}(A)$

Exemplo 3.1.6. Vamos computar a solução do seguinte sistema linear com o Método da Decomposição LU com Pivotamento Parcial.

$$-x_1 + 2x_2 - 2x_3 = 6 \quad (3.105)$$

$$3x_1 - 4x_2 + x_3 = -11 \quad (3.106)$$

$$x_1 - 5x_2 + 3x_3 = -10. \quad (3.107)$$

No exemplo anterior (Exemplo 3.1.5), vimos que a matriz de coeficientes A deste sistema admite a seguinte decomposição LU

$$PA = LU \quad (3.108)$$

com

$$P = \begin{bmatrix} 0 & 1 & 0 \\ 0 & 0 & 1 \\ 1 & 0 & 0 \end{bmatrix}, \quad (3.109)$$

$$L = \begin{bmatrix} 1 & 0 & 0 \\ 0, \overline{3} & 1 & 0 \\ -0, \overline{3} & -0, \overline{18} & 1 \end{bmatrix}, \quad (3.110)$$

$$U = \begin{bmatrix} 3 & -4 & 1 \\ 0 & -3, \overline{6} & 2, \overline{6} \\ 0 & 0 & -1, \overline{18} \end{bmatrix} \quad (3.111)$$

Multiplicando o sistema a esquerda pela matriz P , obtemos

$$PA\mathbf{x} = P\mathbf{b} \quad (3.112)$$

$$LU\mathbf{x} = P\mathbf{b} \quad (3.113)$$

$$L(U\mathbf{x}) = P\mathbf{b} \quad (3.114)$$

Com isso, resolvemos

$$L\mathbf{y} = P\mathbf{b} \quad (3.115)$$

donde obtemos

$$\mathbf{y} = (-11, -6, \overline{3}, 1, \overline{18}) \quad (3.116)$$

Então, resolvemos

$$U\mathbf{x} = \mathbf{y} \quad (3.117)$$

donde obtemos a solução

$$\mathbf{x} = (-2, 1, -1). \quad (3.118)$$

```

1  # matriz
2  A = np.array([[ -1.,  2., -2.],
3                [ 3., -4.,  1.],
4                [ 1., -5.,  3.]])
5  b = np.array([6, -11, -10])
6
7  P, L, U = lup(A)
8
9  y = solSisTriaInf(L, P@b)
10 x = solSisTriaSup(U, y)

```

Exercícios

Exercício 3.1.1. Seja a matriz

$$A = \begin{bmatrix} -1 & 2 & -2 \\ 3 & 4 & 1 \\ -4 & -5 & 3 \end{bmatrix} \quad (3.119)$$

- Compute sua decomposição LU sem pivotamento parcial.
- Compute sua decomposição LU com pivotamento parcial.

Exercício 3.1.2. Use o Método da Decomposição LU para resolver o sistema linear

$$-x_1 + 2x_2 - 2x_3 = -1 \quad (3.125)$$

$$3x_1 - 4x_2 + x_3 = -4 \quad (3.126)$$

$$-4x_1 - 5x_2 + 3x_3 = 20 \quad (3.127)$$

usando LU.

Exercício 3.1.3. Compute a decomposição LU da matriz

$$A = \begin{bmatrix} -1 & 0 & -2 & 1 \\ 3 & 0 & 0 & -2 \\ 1 & -1 & 0 & -1 \\ 0 & 2 & -3 & 0 \end{bmatrix}. \quad (3.128)$$

Exercício 3.1.4. Use o Método da Decomposição LU para resolver o sistema linear

$$-x_1 - 2x_3 + x_4 = 1 \quad (3.132)$$

$$3x_1 - 2x_4 = -7 \quad (3.133)$$

$$x_1 - x_2 - x_4 = -3 \quad (3.134)$$

$$2x_2 - 3x_3 = -3 \quad (3.135)$$

Exercício 3.1.5. A matriz de Vandermonde¹ é definida por

$$V(x_1, \dots, x_n) = \begin{bmatrix} x_1^{n-1} & \cdots & x_1^2 & x_1 & 1 \\ x_2^{n-1} & \cdots & x_2^2 & x_2 & 1 \\ \vdots & & \vdots & \vdots & \vdots \\ x_n^{n-1} & \cdots & x_n^2 & x_n & 1 \end{bmatrix} \quad (3.136)$$

Compute a decomposição LU com pivotamento parcial das matrizes de Vandermonde.

a) $V(1, 2, 3)$

b) $V(-2, -1, 0, 1)$

c) $V(0, 1, 0, 25, 0, 5, 0, 75)$

d) $V(-0, 1, 0, 5, 1, 2, 10)$

¹Alexandre-Théophile Vandermonde, 1735 - 1796, matemático francês. Fonte: [Wikipédia](#).

3.2 Norma e número de condicionamento

[[tag:revisar]]

Nesta seção, fazemos uma rápida discussão sobre normas de vetores e matrizes, bem como do número de condicionamento de uma matriz.

3.2.1 Norma L^2

[[tag:revisar]]

A norma L^2 de um dado vetor $v = (v_1, v_2, \dots, v_n) \in \mathbb{R}^n$ é definida por

$$\|v\| := \sqrt{v_1^2 + v_2^2 + \dots + v_n^2}. \quad (3.137)$$

Proposição 3.2.1. *Dados os vetores $u, v \in \mathbb{R}^n$ e um escalar $\lambda \in \mathbb{R}$, temos:*

- a) $\|v\| \geq 0$.
- b) $\|v\| = 0 \Leftrightarrow v = 0$.
- c) $\|\lambda v\| = |\lambda| \cdot \|v\|$.
- d) $\|u + v\| \leq \|u\| + \|v\|$ (*desigualdade triangular*).
- e) $u \cdot v \leq \|u\| \cdot \|v\|$ (*desigualdade de Cauchy-Schwarz*).

Exemplo 3.2.1. A norma L^2 do vetor $v = (1, -2, 3, -4)$ é

$$\|v\| = \sqrt{v_1^2 + v_2^2 + v_3^2 + v_4^2} \quad (3.138)$$

$$= \sqrt{1^2 + (-2)^2 + 3^2 + (-4)^2} \quad (3.139)$$

$$= 5,4772. \quad (3.140)$$

A norma L^2 induzida de uma dada matriz real $A = [a_{ij}]_{i,j=1}^n$ é definida por

$$\|A\| := \sup_{x \in \mathbb{R}^n, \|x\|=1} \|Ax\|. \quad (3.141)$$

Pode-se mostrar que

$$\|A\| = \sqrt{\lambda_{\max}(A^T A)}, \quad (3.142)$$

onde $\lambda_{\max}(A^T A) := \max\{|\lambda|; \lambda \text{ é autovalor de } A^T A\}$.

Proposição 3.2.2. Dadas as matrizes reais A, B $n \times n$, um vetor $v \in \mathbb{R}^2$ e um escalar λ , temos

$$a) \|A\| \geq 0.$$

$$b) \|A\| = 0 \Leftrightarrow A = 0.$$

$$c) \|\lambda A\| = |\lambda| \cdot \|A\|.$$

$$d) \|A + B\| \leq \|A\| + \|B\| \text{ (desigualdade triangular)}.$$

$$e) \|AB\| \leq \|A\| \|B\|.$$

$$f) \|Av\| \leq \|A\| \|v\|.$$

Exemplo 3.2.2. A matriz

$$A = \begin{bmatrix} 1 & -1 & 2 \\ -2 & \pi & 4 \\ 7 & -5 & \sqrt{2} \end{bmatrix} \quad (3.143)$$

tem norma L^2

$$\|A\| = 9,3909. \quad (3.144)$$

3.2.2 Número de condicionamento

[[tag:revisar]]

O número de condicionamento de uma matriz é uma medida referente a propagação de erros que ocorre da sua aplicação. Mais especificamente, assumamos que seja dada uma matriz invertível $A = [a_{ij}]_{i,j=1}^{n,n}$, um vetor $x \in \mathbb{R}^n$ e uma perturbação $\delta_x \in \mathbb{R}^n$. Além disso, sejam

$$y = Ax \quad (3.145)$$

$$y + \delta_y = A(x + \delta_x). \quad (3.146)$$

Ou seja, δ_y é a perturbação em y propagada da aplicação de A em x com perturbação δ_x .

Agora, podemos estimar a razão entre os erros relativos $e_{rel}(y) := \|\delta_y\|/\|y\|$ e $e_{rel}(x) := \|\delta_x\|/\|x\|$ da seguinte forma

$$\frac{\frac{\|y\|}{\|\delta_y\|}}{\frac{\|x\|}{\|\delta_x\|}} = \frac{\|y\|}{\|\delta_y\|} \frac{\|\delta_x\|}{\|x\|} \quad (3.147)$$

$$= \frac{\|Ax\| \|A^{-1}\delta_y\|}{\|\delta_y\| \|x\|} \quad (3.148)$$

$$\leq \frac{\|A\| \|x\| \|A^{-1}\| \|\delta_y\|}{\|\delta_y\| \|x\|} \quad (3.149)$$

$$\leq \|A\| \|A^{-1}\|. \quad (3.150)$$

Logo, temos a seguinte estimativa de propagação de erro

$$e_{rel}(y) \leq \|A\| \|A^{-1}\| e_{rel}(x). \quad (3.151)$$

Isto nos motiva a definir o **número de condicionamento** da matriz A por

$$\kappa(A) := \|A\| \|A^{-1}\|. \quad (3.152)$$

Observação 3.2.1. A matriz identidade tem o menor número de condicionamento, o qual é

$$\kappa(I) = 1. \quad (3.153)$$

Exemplo 3.2.3. Um exemplo de uma matriz bem condicionada é

$$A = \begin{bmatrix} 1 & -1 & 2 \\ -2 & \pi & 4 \\ 7 & -5 & \sqrt{2} \end{bmatrix}, \quad (3.154)$$

cujo número de condicionamento é $\kappa(A) = 13,997$.

Já, a matriz

$$B = \begin{bmatrix} 1 & 0 & 0 \\ 0 & 0 & -2 \\ 10^5 & 10^{-4} & 10^5 \end{bmatrix}, \quad (3.155)$$

tem número de condicionamento

$$\kappa(B) = 1,5811 \times 10^{14}, \quad (3.156)$$

o que indica que B é uma matriz mal condicionada.

3.2.3 Exercícios

[[tag:construcao]]

Exercício 3.2.1. Considere o seguinte sistema linear

$$10^{-12}x_1 + 20x_2 + 3x_3 = -1, \quad (3.157)$$

$$2,001x_1 + 10^{-5}x_2 + -x_3 = -2, \quad (3.158)$$

$$x_1 - 2x_2 - 0,1x_3 = 0,1. \quad (3.159)$$

- Compute a norma L^2 do vetor dos termos constantes deste sistema.
- Compute a norma L^2 da matriz dos coeficientes deste sistema.
- Compute o número de condicionamento da matriz dos coeficientes deste sistema.

3.3 Métodos de Jacobi e de Gauss-Seidel

[[tag:revisar]]

Nesta seção, discutiremos os métodos de Jacobi² e de Gauss-Seidel³ para a aproximação da solução de sistemas lineares.

3.3.1 Método de Jacobi

[[tag:revisar]]

Dado um sistema $A\mathbf{x} = \mathbf{b}$ com n equações e n incógnitas, consideramos a seguinte decomposição da matriz $A = L + D + U$:

$$A = \begin{bmatrix} a_{11} & a_{12} & a_{13} & \dots & a_{1n} \\ a_{21} & a_{22} & a_{23} & \dots & a_{2n} \\ a_{31} & a_{32} & a_{33} & \dots & a_{3n} \\ \vdots & \vdots & \vdots & \dots & \vdots \\ a_{n1} & a_{n2} & a_{n3} & \dots & a_{nn} \end{bmatrix} \quad (3.160)$$

²Carl Gustav Jacob Jacobi, 1804 - 1851, matemático alemão. Fonte: [Wikipedia](#).

³Johann Carl Friedrich Gauss, 1777 - 1855, matemático alemão. Philipp Ludwig von Seidel, 1821 - 1896, matemático alemão. Fonte: [Wikipedia](#).

$$= \underbrace{\begin{bmatrix} 0 & 0 & 0 & \dots & 0 \\ a_{21} & 0 & 0 & \dots & 0 \\ a_{31} & a_{32} & 0 & \dots & 0 \\ \vdots & \vdots & \vdots & \dots & \vdots \\ a_{n1} & a_{n2} & a_{n3} & \dots & 0 \end{bmatrix}}_L \quad (3.161)$$

$$+ \underbrace{\begin{bmatrix} a_{11} & 0 & 0 & \dots & 0 \\ 0 & a_{22} & 0 & \dots & 0 \\ 0 & 0 & a_{33} & \dots & 0 \\ \vdots & \vdots & \vdots & \dots & \vdots \\ 0 & 0 & 0 & \dots & a_{nn} \end{bmatrix}}_D \quad (3.162)$$

$$+ \underbrace{\begin{bmatrix} 0 & a_{12} & a_{13} & \dots & a_{1n} \\ 0 & 0 & a_{23} & \dots & a_{2n} \\ 0 & 0 & a_{33} & \dots & a_{3n} \\ \vdots & \vdots & \vdots & \dots & \vdots \\ 0 & 0 & 0 & \dots & a_{nn} \end{bmatrix}}_U. \quad (3.163)$$

Isto é, a matriz A decomposta como a soma de sua parte triangular inferior L , de sua diagonal D e de sua parte triangular superior U .

Desta forma, podemos reescrever o sistema $A\mathbf{x} = \mathbf{b}$ da seguinte forma:

$$A\mathbf{x} = \mathbf{b} \Leftrightarrow (L + D + U)\mathbf{x} = \mathbf{b} \quad (3.164)$$

$$\Leftrightarrow D\mathbf{x} = -(L + U)\mathbf{x} + \mathbf{b} \quad (3.165)$$

$$\Leftrightarrow \mathbf{x} = -D^{-1}(L + U)\mathbf{x} + D^{-1}\mathbf{b}. \quad (3.166)$$

Ou seja, resolver o sistema $A\mathbf{x} = \mathbf{b}$ é equivalente a resolver o problema de ponto fixo

$$\mathbf{x} = T_J\mathbf{x} + \mathbf{c}_J, \quad (3.167)$$

onde $T_J = -D^{-1}(L + U)$ é chamada de **matriz de Jacobi** e $\mathbf{c}_J = D^{-1}\mathbf{b}$ é chamado de **vetor de Jacobi**.

Exemplo 3.3.1. Consideremos o sistema linear $A\mathbf{x} = \mathbf{b}$ com

$$A = \begin{bmatrix} -4 & 2 & -1 \\ -2 & 5 & 2 \\ 1 & -1 & -3 \end{bmatrix}, \quad \mathbf{b} = \begin{bmatrix} -11 \\ -7 \\ 0 \end{bmatrix}. \quad (3.168)$$

Este sistema tem solução $\mathbf{x} = (2, -1, 1)$. Neste caso, temos a decomposição $A = L + D + U$ com

$$L = \begin{bmatrix} 0 & 0 & 0 \\ -2 & 0 & 0 \\ 1 & -1 & 0 \end{bmatrix}, \quad D = \begin{bmatrix} -4 & 0 & 0 \\ 0 & 5 & 0 \\ 0 & 0 & -3 \end{bmatrix} \quad (3.169)$$

e

$$U = \begin{bmatrix} 0 & 2 & -1 \\ 0 & 0 & 2 \\ 0 & 0 & 0 \end{bmatrix}. \quad (3.170)$$

Ainda, observamos que

$$T_J \mathbf{x} + \mathbf{c}_J = -D^{-1}(L + U)\mathbf{x} + D^{-1}\mathbf{b} \quad (3.171)$$

$$= \underbrace{\begin{bmatrix} 0 & 1/2 & 1/4 \\ 2/5 & 0 & -2/5 \\ 1/3 & -1/3 & 0 \end{bmatrix}}_{T_J} \underbrace{\begin{bmatrix} 2 \\ -1 \\ 1 \end{bmatrix}}_{\mathbf{x}} + \underbrace{\begin{bmatrix} 11/4 \\ -7/5 \\ 0 \end{bmatrix}}_{\mathbf{c}_J} \quad (3.172)$$

$$= \underbrace{\begin{bmatrix} 2 \\ -1 \\ 1 \end{bmatrix}}_{\mathbf{x}}. \quad (3.173)$$

Com o exposto acima, o **método de Jacobi** consiste na seguinte iteração de ponto fixo

$$\mathbf{x}^{(1)} = \text{aprox. inicial}, \quad (3.174)$$

$$\mathbf{x}^{(k+1)} = T_J \mathbf{x}^{(k)} + \mathbf{c}_J, \quad (3.175)$$

onde $\mathbf{x}^{(k)} = (x_1^{(k)}, x_2^{(k)}, \dots, x_n^{(k)})$ é a k -ésima aproximação (ou iterada) de Jacobi.

A iteração (3.175) pode ser equivalentemente escrita na seguinte forma algébrica

$$x_i^{(k+1)} = \frac{b_i - \sum_{\substack{j=1 \\ j \neq i}}^n a_{ij} x_j^{(k)}}{a_{ii}}, \quad i = 1, 2, \dots, n, \quad (3.176)$$

a qual não requer a computação da matriz T_J e \mathbf{c}_J .

Exemplo 3.3.2. Consideremos o sistema $A\mathbf{x} = \mathbf{b}$ com

$$A = \begin{bmatrix} -4 & 2 & -1 \\ -2 & 5 & 2 \\ 1 & -1 & -3 \end{bmatrix}, \quad \mathbf{b} = \begin{bmatrix} -11 \\ -7 \\ 0 \end{bmatrix}. \quad (3.177)$$

Aplicando o método de Jacobi com aproximação inicial $\mathbf{x}^{(1)} = (0, 0, 0)$ obtemos os resultados da Tabela 3.1.

k	$\mathbf{x}^{(k)}$	$\ A\mathbf{x}^{(k)} - \mathbf{b}\ $
1	(0,0, 0,0, 0,0)	1,3E+1
2	(2,8, -1,4, 0,0)	7,4E+0
3	(2,0, -0,3, 1,4)	4,6E+0
4	(2,3, -1,1, 0,8)	2,2E+0
5	(2,0, -0,8, 1,1)	1,4E+0
6	(2,1, -1,1, 0,9)	6,9E-1
7	(2,0, -0,9, 1,0)	4,2E-1
8	(2,0, -1,0, 1,0)	2,2E-1
9	(2,0, -1,0, 1,0)	1,3E-1
10	(2,0, -1,0, 1,0)	6,9E-2

Tabela 3.1: Resultados referentes ao Exemplo 3.3.4.

3.3.2 Método de Gauss-Seidel

[[tag:revisar]]

Como acima, começamos considerando um sistema linear $A\mathbf{x} = \mathbf{b}$ e a decomposição $A = L + D + U$, onde L é a parte triangular inferior de A , D é sua parte diagonal e U sua parte triangular superior. Então, observamos que

$$A\mathbf{x} = \mathbf{b} \Leftrightarrow (L + D + U)\mathbf{x} = \mathbf{b} \quad (3.178)$$

$$\Leftrightarrow (L + D)\mathbf{x} = -U\mathbf{x} + \mathbf{b} \quad (3.179)$$

$$\Leftrightarrow \mathbf{x} = -(L + D)^{-1}U\mathbf{x} + (L + D)^{-1}\mathbf{b}. \quad (3.180)$$

Isto nos leva a iteração de Gauss-Seidel

$$\mathbf{x}^{(1)} = \text{aprox. inicial}, \quad (3.181)$$

$$\mathbf{x}^{(k+1)} = T_G \mathbf{x}^{(k)} + \mathbf{c}_G, \quad (3.182)$$

onde $T_G = -(L + D)^{-1}U$ é a chamada **matriz de Gauss-Seidel** e $\mathbf{c}_G = (L + D)^{-1}\mathbf{b}$ é o chamado **vetor de Gauss-Seidel**.

Observamos, também, que a iteração (3.182) pode ser reescrita na seguinte forma algébrica

$$x_i^{(k+1)} = \frac{b_i - \sum_{j=1}^{i-1} a_{ij}x_j^{(k+1)} - \sum_{j=i+1}^n a_{ij}x_j^{(k)}}{a_{ii}}, \quad i = 1, 2, \dots, n. \quad (3.183)$$

Exemplo 3.3.3. Consideremos o sistema $A\mathbf{x} = \mathbf{b}$ com

$$A = \begin{bmatrix} -4 & 2 & -1 \\ -2 & 5 & 2 \\ 1 & -1 & -3 \end{bmatrix}, \quad \mathbf{b} = \begin{bmatrix} -11 \\ -7 \\ 0 \end{bmatrix}. \quad (3.184)$$

Aplicando o método de Gauss-Seidel com aproximação inicial $\mathbf{x}^{(1)} = (0, 0, 0)$ obtemos os resultados da Tabela 3.2.

k	$\mathbf{x}^{(k)}$	$\ A\mathbf{x}^{(k)} - \mathbf{b}\ $
1	(0,0, 0,0, 0,0)	1,3E+1
2	(2,8, -0,3, 1,0)	2,6E+0
3	(2,3, -0,9, 1,1)	1,2E+0
4	(2,0, -1,0, 1,0)	2,5E-1
5	(2,0, -1,0, 1,0)	4,0E-2

Tabela 3.2: Resultados referentes ao Exemplo 3.3.3.

3.3.3 Análise de convergência

[[tag:revisar]]

Observamos que ambos os métodos de Jacobi e de Gauss-Seidel consistem de iterações da forma

$$\mathbf{x}^{(k+1)} = T\mathbf{x}^{(k)} + \mathbf{c}, \quad k = 1, 2, \dots, \quad (3.185)$$

com $\mathbf{x}^{(1)}$ uma aproximação inicial dada, T e \mathbf{c} a matriz e o vetor de iteração, respectivamente. O seguinte teorema nos fornece uma condição suficiente e necessária para a convergência de tais métodos.

Teorema 3.3.1. Para qualquer $\mathbf{x}^{(1)} \in \mathbb{R}^n$, temos que a sequência $\{\mathbf{x}^{(k+1)}\}_{k=1}^{\infty}$ dada por

$$\mathbf{x}^{(k+1)} = T\mathbf{x}^{(k)} + \mathbf{c}, \quad (3.186)$$

converge para a solução única de $\mathbf{x} = T\mathbf{x} + \mathbf{c}$ se, e somente se, $\rho(T) < 1$ ⁴.

Demonstração. Veja [?, Cap. 7, Sec. 7.3]. \square

Observação 3.3.1. (Taxa de convergência) Para uma iteração da forma (3.185), vale

$$\|\mathbf{x}^{(k)} - \mathbf{x}\| \approx \rho(T)^{k-1} \|\mathbf{x}^{(1)} - \mathbf{x}\|, \quad (3.187)$$

onde \mathbf{x} é a solução de $\mathbf{x} = T\mathbf{x} + \mathbf{c}$.

Exemplo 3.3.4. Consideremos o sistema $A\mathbf{x} = \mathbf{b}$ com

$$A = \begin{bmatrix} -4 & 2 & -1 \\ -2 & 5 & 2 \\ 1 & -1 & -3 \end{bmatrix}, \quad \mathbf{b} = \begin{bmatrix} -11 \\ -7 \\ 0 \end{bmatrix}. \quad (3.188)$$

Nos Exemplos 3.3.4 e 3.3.3 vimos que ambos os métodos de Jacobi e de Gauss-Seidel eram convergentes, sendo que este convergiu aproximadamente duas vezes mais rápido que esse. Isto é confirmado pelos raios espectrais das respectivas matrizes de iteração

$$\rho(T_J) \approx 0,56, \quad \rho(T_G) \approx 0,26. \quad (3.189)$$

Observação 3.3.2. Matriz estritamente diagonal dominante Pode-se mostrar que se A é uma matriz estritamente diagonal dominante, i.e. se

$$|a_{ii}| > \sum_{\substack{j=1 \\ j \neq i}}^n |a_{ij}|, \quad \forall i = 1, 2, \dots, n, \quad (3.190)$$

então ambos os métodos de Jacobi e de Gauss-Seidel são convergentes.

⁴ $\rho(T)$ é o raio espectral da matriz T , i.e. o máximo dos módulos dos autovalores de T .

Exercícios

[[tag:revisar]]

Exercício 3.3.1. Considere o seguinte sistema linear

$$-4x_1 + x_2 + x_3 - x_4 = -1 \quad (3.191)$$

$$5x_2 - x_3 + 2x_4 = 3 \quad (3.192)$$

$$-x_1 + 4x_3 - 2x_4 = -2 \quad (3.193)$$

$$x_1 - x_2 - 5x_4 = 1 \quad (3.194)$$

Compute a quinta iterada $x^{(5)}$ do método de Jacobi aplicado a este sistema com aproximação inicial $x^{(1)} = (1, 1, -1, -1)$. Também, compute $\|Ax^{(5)} - b\|$.

Exercício 3.3.2. Considere o seguinte sistema linear

$$-4x_1 + x_2 + x_3 - x_4 = -1 \quad (3.195)$$

$$5x_2 - x_3 + 2x_4 = 3 \quad (3.196)$$

$$-x_1 + 4x_3 - 2x_4 = -2 \quad (3.197)$$

$$x_1 - x_2 - 5x_4 = 1 \quad (3.198)$$

Compute a quinta iterada $x^{(5)}$ do método de Gauss-Seidel aplicado a este sistema com aproximação inicial $x^{(1)} = (1, 1, -1, -1)$. Também, compute $\|Ax^{(5)} - b\|$.

3.4 Método do gradiente

[[tag:revisar]]

Começamos observando que se A é uma matriz $n \times n$ positiva definida⁵, temos que $\mathbf{x} \in \mathbb{R}^n$ é solução de

$$A\mathbf{x} = \mathbf{b} \quad (3.199)$$

se, e somente se, \mathbf{x} é solução do seguinte problema de minimização

$$\min_{\mathbf{x} \in \mathbb{R}^n} f(\mathbf{x}) := \frac{1}{2} \mathbf{x}^T A \mathbf{x} - \mathbf{x}^T \mathbf{b}. \quad (3.200)$$

⁵ A é simétrica e $\mathbf{x}^T A \mathbf{x} > 0$ para todo $\mathbf{x} \neq 0$.

O método do gradiente é um algoritmo da forma: dada uma aproximação inicial $\mathbf{x}^{(1)}$ da solução de (3.200) (ou, equivalentemente, de (3.199)), computamos novas aproximações da forma iterativa

$$\mathbf{x}^{(k+1)} = \mathbf{x}^{(k)} + \alpha^{(k)} \mathbf{d}^{(k)}, \quad k = 1, 2, \dots, \quad (3.201)$$

onde $\alpha^{(k)}$ é o tamanho do passo (um escalar) e $\mathbf{d}^{(k)} \in \mathbb{R}^n$ é a direção de busca.

Para escolhermos a direção $\mathbf{d}^{(k)}$, tomamos a fórmula de Taylor de f em torno da aproximação $\mathbf{x}^{(k)}$

$$f(\mathbf{x}^{(k+1)}) = f(\mathbf{x}^{(k)}) + \alpha^{(k)} \nabla f(\mathbf{x}^{(k)}) \cdot \mathbf{d}^{(k)} + O\left((\alpha^{(k)})^2\right), \quad (3.202)$$

com $\alpha^{(k)} \rightarrow 0$, onde ∇f denota o gradiente de f , i.e.

$$\nabla f(\mathbf{x}^{(k)}) = \left(\frac{\partial f}{\partial x_1}(\mathbf{x}^{(k)}), \frac{\partial f}{\partial x_2}(\mathbf{x}^{(k)}), \dots, \frac{\partial f}{\partial x_n}(\mathbf{x}^{(k)}) \right) \quad (3.203)$$

$$= A\mathbf{x}^{(k)} - \mathbf{b}. \quad (3.204)$$

De (3.202), segue que se

$$\nabla f(\mathbf{x}^{(k)}) \cdot \mathbf{d}^{(k)} < 0, \quad (3.205)$$

então $f(\mathbf{x}^{(k+1)}) < f(\mathbf{x}^{(k)})$ se $\alpha^{(k)}$ é suficientemente pequeno. Em particular, podemos escolher

$$\mathbf{d}^{(k)} = -\nabla f(\mathbf{x}^{(k)}), \quad (3.206)$$

se $\nabla f(\mathbf{x}^{(k)}) \neq 0$.

Do exposto acima, temos a **iteração do método do gradiente**

$$\mathbf{x}^{(1)} = \text{aprox. inicial} \quad (3.207)$$

$$\mathbf{x}^{(k+1)} = \mathbf{x}^{(k)} - \alpha^{(k)} \mathbf{r}^{(k)}, \quad k = 1, 2, \dots, \quad (3.208)$$

onde $\mathbf{r}^{(k)}$ é o resíduo da iterada k dado por

$$\mathbf{r}^{(k)} = A\mathbf{x}^{(k)} - \mathbf{b}. \quad (3.209)$$

Exemplo 3.4.1. Consideremos o sistema $Ax = b$ com

$$A = \begin{bmatrix} 2 & -1 & 0 & 0 \\ -1 & 2 & -1 & 0 \\ 0 & -1 & 2 & -1 \\ 0 & 0 & -1 & 2 \end{bmatrix}, \quad b = \begin{bmatrix} -3 \\ 2 \\ 2 \\ -3 \end{bmatrix}. \quad (3.210)$$

Na Tabela 3.3 temos os resultados do emprego do método do gradiente com $\mathbf{x}^{(1)} = (0, 0, 0, 0)$ e com passo constante $\alpha^{(k)} \equiv 0,5$.

Tabela 3.3: Resultados referentes ao Exemplo 3.4.1.

k	$\mathbf{x}^{(k)}$	$\ A\mathbf{x}^{(k)} - \mathbf{b}\ $
1	(0,0, 0,0, 0,0, 0,0)	5,1E+0
2	(-1,5, 1,0, 1,0, -1,5)	1,6E+0
3	(-1,0, 0,8, 0,8, -1,0)	5,0E-1
4	(-1,1, 0,9, 0,9, -1,1)	1,8E-1
5	(-1,1, 0,9, 0,9, -1,1)	8,8E-2
6	(-1,1, 0,9, 0,9, -1,1)	6,2E-2
7	(-1,0, 0,9, 0,9, -1,0)	4,9E-2
8	(-1,0, 0,9, 0,9, -1,0)	4,0E-2
9	(-1,0, 0,9, 0,9, -1,0)	3,2E-2
10	(-1,0, 1,0, 1,0, -1,0)	2,6E-2
11	(-1,0, 1,0, 1,0, -1,0)	2,1E-2

3.4.1 Escolha do passo

[[tag:revisar]]

Da iteração do método do gradiente, temos que a melhor escolha do passo $\alpha^{(k)}$ é tal que

$$f(\mathbf{x}^{(k)} + \alpha^{(k)} \mathbf{r}^{(k)}) = \min_{\alpha > 0} f(\mathbf{x}^{(k)} + \alpha \mathbf{r}^{(k)}). \quad (3.211)$$

Desta forma,

$$\frac{d}{d\alpha} f(\mathbf{x}^{(k)} + \alpha \mathbf{r}^{(k)}) = 0 \Rightarrow \nabla f(\mathbf{x}^{(k+1)}) \cdot \mathbf{r}^{(k)} = 0, \quad (3.212)$$

$$\Rightarrow (A(\mathbf{x}^{(k)} + \alpha^{(k)} \mathbf{r}^{(k)}) - \mathbf{b}) \cdot \mathbf{r}^{(k)} = 0, \quad (3.213)$$

$$\Rightarrow (A\mathbf{x}^{(k)} - \mathbf{b}) \cdot \mathbf{r}^{(k)} + \alpha^{(k)} \mathbf{r}^{(k)} \cdot A\mathbf{r}^{(k)} = 0, \quad (3.214)$$

donde

$$\alpha^{(k)} = -\frac{\mathbf{r}^{(k)} \cdot \mathbf{r}^{(k)}}{\mathbf{r}^{(k)} \cdot A\mathbf{r}^{(k)}}. \quad (3.215)$$

Exemplo 3.4.2. Consideremos o sistema $Ax = b$ com

$$A = \begin{bmatrix} 2 & -1 & 0 & 0 \\ -1 & 2 & -1 & 0 \\ 0 & -1 & 2 & -1 \\ 0 & 0 & -1 & 2 \end{bmatrix}, \quad b = \begin{bmatrix} -3 \\ 2 \\ 2 \\ -3 \end{bmatrix}. \quad (3.216)$$

Na Tabela 3.4 temos os resultados do emprego do método do gradiente com $\mathbf{x}^{(1)} = (0, 0, 0, 0)$ e com passo

$$\alpha^{(k)} = -\frac{\mathbf{r}^{(k)} \cdot \mathbf{r}^{(k)}}{\mathbf{r}^{(k)} \cdot A\mathbf{r}^{(k)}}. \quad (3.217)$$

Tabela 3.4: Resultados referentes ao Exemplo 3.4.2.

k	$\mathbf{x}^{(k)}$	$\ A\mathbf{x}^{(k)} - \mathbf{b}\ $
1	(0,0, 0,0, 0,0, 0,0)	5,1E+0
2	(-1,1, 0,8, 0,8, -1,1)	1,5E-1
3	(-1,0, 1,0, 1,0, -1,0)	3,0E-2
4	(-1,0, 1,0, 1,0, -1,0)	8,8E-4
5	(-1,0, 1,0, 1,0, -1,0)	1,8E-4

Exercícios

[[tag:construcao]]

3.5 Método do gradiente conjugado

[[tag:revisar]]

O método do gradiente conjugado é uma variação do método do gradiente (veja Seção 3.4). Aqui, a solução de um dado sistema $A\mathbf{x} = \mathbf{b}$, com A uma matriz positiva definida, é computada de forma iterativa por

$$\mathbf{x}^{(1)} = \text{aprox. inicial}, \quad (3.218)$$

$$\mathbf{d}^{(1)} = \mathbf{r}^{(1)}, \quad (3.219)$$

$$(3.220)$$

$$\mathbf{x}^{(k+1)} = \mathbf{x}^{(k)} + \alpha_k \mathbf{d}^{(k)}, \quad (3.221)$$

$$\alpha^{(k)} = -\frac{\mathbf{r}^{(k)} \cdot \mathbf{d}^{(k)}}{\mathbf{d}^{(k)} \cdot A\mathbf{d}^{(k)}}, \quad (3.222)$$

$$\mathbf{d}^{(k+1)} = -\mathbf{r}^{(k+1)} + \beta_k \mathbf{d}^{(k)}, \quad (3.223)$$

$$\beta^{(k)} = \frac{\mathbf{r}^{(k+1)} \cdot A\mathbf{d}^{(k)}}{\mathbf{d}^{(k)} \cdot A\mathbf{d}^{(k)}}, \quad (3.224)$$

para $k = 1, 2, \dots$, e $\mathbf{r}^{(k)} = A\mathbf{x}^{(k)} - \mathbf{b}$.

Exemplo 3.5.1. Consideremos o sistema $Ax = b$ com

$$A = \begin{bmatrix} 2 & -1 & 0 & 0 \\ -1 & 2 & -1 & 0 \\ 0 & -1 & 2 & -1 \\ 0 & 0 & -1 & 2 \end{bmatrix}, \quad b = \begin{bmatrix} -3 \\ 2 \\ 2 \\ -3 \end{bmatrix}. \quad (3.225)$$

Na Tabela 3.5 temos os resultados do emprego do método do gradiente conjugado com $\mathbf{x}^{(1)} = (0, 0, 0, 0)$.

Tabela 3.5: Resultados referentes ao Exemplo 3.5.1.

k	$\mathbf{x}^{(k)}$	$\ A\mathbf{x}^{(k)} - \mathbf{b}\ $
1	(0, 0, 0, 0)	5.1E+0
2	(-1, 1, 0, 8, 0, 8, -1, 1)	1,5E-1
3	(-1, 0, 1, 0, 1, 0, -1, 0)	0,0E+0

Exercícios

[[tag:construcao]]

Capítulo 4

Sistema de equações não lineares

[[tag:revisar]]

Neste capítulo, discutiremos sobre métodos para a resolução de sistema de equações não lineares. Vamos tratar o caso de problemas da forma: encontrar $\mathbf{x} \in \mathbb{R}^n$ tal que

$$F(\mathbf{x}) = \mathbf{0}, \quad (4.1)$$

onde $F : \mathbb{R}^n \rightarrow \mathbb{R}^n$ é uma função vetorial dada.

4.1 Método de Newton

[[tag:revisar]]

Consideremos o problema de encontrar $\mathbf{x} = (x_1, x_2, \dots, x_n) \in \mathbb{R}^n$ tal que

$$F(\mathbf{x}) = \mathbf{0}, \quad (4.2)$$

onde $F : \mathbb{R}^n \rightarrow \mathbb{R}^n$ é uma função vetorial dada com $F(\mathbf{x}) = (f_1(\mathbf{x}), f_2(\mathbf{x}), \dots, f_n(\mathbf{x}))$. Suponhamos, então, que \mathbf{x}^* seja a solução exata deste problema e que $\mathbf{x}^{(1)}$ seja uma aproximação de \mathbf{x}^* . Assim sendo, tomemos a seguinte expansão de F em polinômio de Taylor:

$$F(\mathbf{x}^*) = F(\mathbf{x}^{(1)}) + J_F(\mathbf{x}^{(1)})(\mathbf{x}^* - \mathbf{x}^{(1)}) + R, \quad (4.3)$$

onde J_F é a matriz jacobiana¹ de F

$$J_F := \begin{bmatrix} \frac{\partial f_1}{\partial x_1} & \frac{\partial f_1}{\partial x_2} & \cdots & \frac{\partial f_1}{\partial x_n} \\ \frac{\partial f_2}{\partial x_1} & \frac{\partial f_2}{\partial x_2} & \cdots & \frac{\partial f_2}{\partial x_n} \\ \vdots & \vdots & \ddots & \vdots \\ \frac{\partial f_n}{\partial x_1} & \frac{\partial f_n}{\partial x_2} & \cdots & \frac{\partial f_n}{\partial x_n} \end{bmatrix} \quad (4.4)$$

e $\|R\|^2 \rightarrow 0$ com $\|\mathbf{x}^{(1)} - \mathbf{x}^*\| \rightarrow 0$.

Daí, como $F(\mathbf{x}^*) = \mathbf{0}$, temos

$$J_F(\mathbf{x}^{(1)})(\mathbf{x}^* - \mathbf{x}^{(1)}) \approx -F(\mathbf{x}^{(1)}). \quad (4.5)$$

Então, multiplicando a inversa da jacobiana à esquerda, obtemos

$$\mathbf{x}^* - \mathbf{x}^{(1)} \approx -J_F^{-1}(\mathbf{x}^{(1)})F(\mathbf{x}^{(1)}) \quad (4.6)$$

e também

$$\mathbf{x}^* \approx \mathbf{x}^{(1)} - J_F^{-1}(\mathbf{x}^{(1)})F(\mathbf{x}^{(1)}). \quad (4.7)$$

O exposto acima nos motiva a **iteração de Newton**²:

$$\mathbf{x}^{(1)} = \text{aprox. inicial}, \quad (4.8)$$

$$\mathbf{x}^{(k+1)} = \mathbf{x}^{(k)} - J_F^{-1}(\mathbf{x}^{(k)})F(\mathbf{x}^{(k)}), \quad (4.9)$$

com $k = 1, 2, \dots$

Exemplo 4.1.1. Consideremos o seguinte sistema de equações não lineares

$$x_1 x_2^2 = x_1^2 x_2 - 6, \quad (4.10)$$

$$x_1^2 x_2^3 - 7 = -x_1. \quad (4.11)$$

Para usarmos o método de Newton, reescrevemos o sistema na seguinte forma

$$x_1 x_2^2 - x_1^2 x_2 + 6 = 0, \quad (4.12)$$

$$x_1 + x_1^2 x_2^3 - 7 = 0. \quad (4.13)$$

¹Carl Gustav Jacob Jacobi, 1804 - 1851, matemático alemão. Fonte: [Wikipedia](#).

²Sir Isaac Newton, 1642 - 1726/27, matemático e físico inglês. Fonte: [Wikipedia](#).

Com isso, identificamos a função objetivo

$$F(\mathbf{x}) = \begin{bmatrix} f_1(\mathbf{x}) \\ f_2(\mathbf{x}) \end{bmatrix} = \begin{bmatrix} x_1 x_2^2 - x_1^2 x_2 + 6 \\ x_1 + x_1^2 x_2^3 - 7 \end{bmatrix} \quad (4.14)$$

e sua matriz jacobiana

$$J_F(\mathbf{x}) = \frac{\partial(f_1, f_2)}{\partial(x_1, x_2)} = \begin{bmatrix} \frac{\partial f_1}{\partial x_1} & \frac{\partial f_1}{\partial x_2} \\ \frac{\partial f_2}{\partial x_1} & \frac{\partial f_2}{\partial x_2} \end{bmatrix} \quad (4.15)$$

$$= \begin{bmatrix} x_2^2 - 2x_1 x_2 & 2x_1 x_2 - x_1^2 \\ 1 + 2x_1 x_2^3 & 3x_1^2 x_2^2 \end{bmatrix} \quad (4.16)$$

Definidas F e J_F e tomando $\mathbf{x}^{(1)} = (1,5, 1,5)$ como aproximação inicial, computamos as iterações de Newton de forma a obtermos os resultados apresentados na Tabela 4.1.

k	$\mathbf{x}^{(k)}$	$\ F(\mathbf{x}^{(k)})\ $
1	(−1,50, 1,50)	1,2E+0
2	(−1,07, 1,82)	1,2E+0
3	(−9,95E−1, 2,00)	7,6E−2
4	(−1,00, 2,00)	1,2E−4
5	(−1,00, 2,00)	2,1E−9

Tabela 4.1: Resultados referentes ao Exemplo 4.1.1.

4.1.1 Considerações sobre convergência

[[tag:revisar]]

Para uma função F suficientemente suave e com uma escolha apropriada da aproximação inicial $\mathbf{x}^{(1)}$, temos que as iterações de Newton

$$\mathbf{x}^{(k+1)} = \mathbf{x}^{(k)} - J_F^{-1}(\mathbf{x}^{(1)})F(\mathbf{x}^{(1)}), \quad (4.17)$$

são quadraticamente convergentes, i.e.

$$\|\mathbf{x}^{(k+1)} - \mathbf{x}^*\| \leq C\|\mathbf{x}^{(k)} - \mathbf{x}^*\|^2, \quad (4.18)$$

onde \mathbf{x}^* é a solução exata, i.e. $F(\mathbf{x}^*) = \mathbf{0}$.

Exemplo 4.1.2. Consideremos o seguinte sistema de equações não lineares

$$x_1x_2^2 - x_1^2x_2 + 6 = 0,$$

(4.19)

$$x_1 + x_1^2x_2^3 - 7 = 0.$$

(4.20)

A Figura 4.1 é um esboço do gráfico da $\|F(\cdot)\|$. Este problema foi confeccionado de forma que $\mathbf{x}^* = (-1, 2)$. Então, tomando $\mathbf{x}^{(1)} = (1,5, 1,5)$ como aproximação inicial, computamos as iterações de Newton para este problema, donde obtemos os resultados reportados na Tabela 4.2.

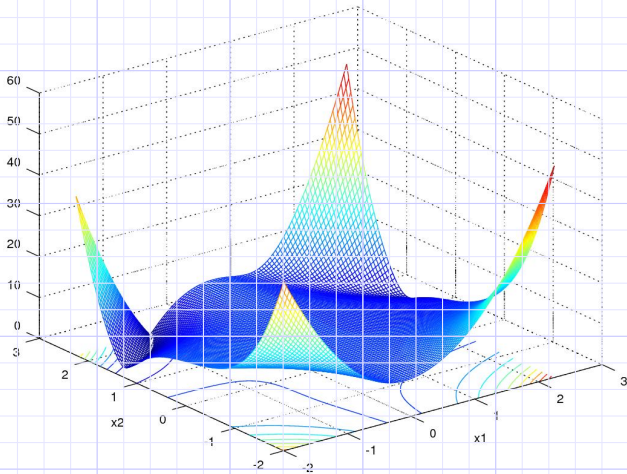


Figura 4.1: Esboço do gráfico de $\|F(\cdot)\|$ referente ao Exemplo 4.1.2.

k	$\mathbf{x}^{(k)}$	$\ \mathbf{x}^{(k)} - \mathbf{x}^*\ $
1	(-1,50, 1,50)	7,1E-01
2	(-1,07, 1,82)	2,0E-01
3	(-9,95E-1, 2,00)	5,1E-03
4	(-1,00, 2,00)	2,6E-05
5	(-1,00, 2,00)	2,0E-10

Tabela 4.2: Resultados referentes ao Exemplo 4.1.2.

4.1.2 Exercícios

[[tag:revisar]]

Exercício 4.1.1. Use o método de Newton para obter uma aproximação de uma solução de

$$x_2 \operatorname{sen}(x_3) + x_1 - 2 = 0, \quad (4.21)$$

$$x_1 x_2 - \operatorname{sen}(x_2) + 0,2 = 0, \quad (4.22)$$

$$x_3^2 + \cos(x_1 x_2) - 4,5 = 0. \quad (4.23)$$

Para tanto, use $\mathbf{x}^{(1)} = (1, -1, -1)$.

4.2 Métodos *quasi*-Newton

[[tag:revisar]]

4.2.1 Método do acorde

[[tag:revisar]]

O método do acorde consiste na seguinte iteração

$$\mathbf{x}^{(1)} = \text{aprox. inicial}, \quad (4.24)$$

$$\mathbf{x}^{(k+1)} = \mathbf{x}^{(k)} - J_F^{-1}(\mathbf{x}^{(1)})F(\mathbf{x}^{(k)}). \quad (4.25)$$

Ou seja, é a iteração de Newton com jacobina constante.

Exemplo 4.2.1. Consideremos o seguinte sistema de equações não lineares

$$x_1 x_2^2 - x_1^2 x_2 + 6 = 0, \quad (4.26)$$

$$x_1 + x_1^2 x_2^3 - 7 = 0. \quad (4.27)$$

Definidas F e J_F e tomando $\mathbf{x}^{(1)} = (1,5, 1,5)$ como aproximação inicial, computamos as iterações do método do acorde de forma a obtermos os resultados apresentados na Tabela 4.3.

4.2.2 Jacobiana aproximada

[[tag:revisar]]

k	$\mathbf{x}^{(k)}$	$\ \mathbf{x}^{(k)} - \mathbf{x}^*\ $
1	(-1,50, 1,50)	-x-
2	(-1,07, 1,82)	5,3E-1
3	(-1,02, 1,93)	1,2E-1
4	(-1,00, 1,98)	5,2E-2
5	(-9,98E-1, 2,00)	1,8E-2
6	(-9,98E-1, 2,00)	4,7E-3
7	(-9,99E-1, 2,00)	9,0E-4
8	(-1,00, 2,00)	7,4E-4
9	(-1,00, 2,00)	4,3E-4

Tabela 4.3: Resultados referentes ao Exemplo 4.2.1.

A jacobiana $J_F(\mathbf{x})$ de uma dada função $F(\mathbf{x}) = (f_1(\mathbf{x}), f_2(\mathbf{x}), \dots, f_n(\mathbf{x}))$ é a matriz cujo elemento da i -ésima linha e j -ésima coluna é

$$\frac{\partial f_i}{\partial x_j} = \lim_{h \rightarrow 0} \frac{f_i(\mathbf{x} + \mathbf{e}_j h) - f_i(\mathbf{x})}{h}, \quad (4.28)$$

onde \mathbf{e}_j é o j -ésimo vetor da base canônica de \mathbb{R}^n , i.e. $\mathbf{e}_j = (0, \dots, 0, 1, 0, \dots, 0)$ com 1 na j -ésima posição.

Com isso, podemos computar uma jacobiana aproximada tomando

$$\frac{\partial f_i}{\partial x_j} \approx \frac{f_i(\mathbf{x} + \mathbf{e}_j h) - f_i(\mathbf{x})}{h}, \quad (4.29)$$

com h suficientemente pequeno.

Exemplo 4.2.2. Consideremos o seguinte sistema de equações não lineares

$$x_1 x_2^2 - x_1^2 x_2 + 6 = 0, \quad (4.30)$$

$$x_1 + x_1^2 x_2^3 - 7 = 0. \quad (4.31)$$

Definida F , sua jacobina aproximada \tilde{J}_F com $h = 10^{-7}$ e tomando $\mathbf{x}^{(1)} = (1,5, 1,5)$ como aproximação inicial, computamos as iterações do *quasi*-método de forma a obtermos os resultados apresentados na Tabela 4.4.

4.2.3 Exercícios

[[tag:construcao]]

k	$\mathbf{x}^{(k)}$	$\ \mathbf{x}^{(k)} - \mathbf{x}^*\ $
1	(-1,50, 1,50)	-x-
2	(-1,07, 1,82)	5,3E-1
3	(-9,95E-1, 2,00)	2,0E-1
4	(-1,00, 2,00)	5,1E-3
5	(-1,00, 2,00)	2,6E-5

Tabela 4.4: Resultados referentes ao Exemplo 4.2.2.

Capítulo 5

Interpolação

[[tag:revisar]]

Neste capítulo, discutiremos sobre a resolução de problemas de interpolação da forma: dados uma família de n funções reais $\mathcal{F} = \{f_1(x), f_2(x), \dots, f_n(x)\}$ e um conjunto de n pontos $\{(x_i, y_i)\}_{i=1}^n$, com $x_i \neq x_j$ se $i \neq j$, encontrar

$$f(x) = c_1 f_1(x) + c_2 f_2(x) + \dots + c_n f_n(x), \quad (5.1)$$

tal que

$$y_i = f(x_i), \quad i = 1, 2, \dots, n. \quad (5.2)$$

5.1 Interpolação polinomial

[[tag:revisar]]

Dado um conjunto de n pontos $\{(x_i, y_i)\}_{i=1}^n$, o problema de interpolação consiste em encontrar o polinômio de grau $n - 1$

$$p(x) = p_1 x^{n-1} + p_2 x^{n-2} + \dots + p_{n-1} x + p_n \quad (5.3)$$

tal que

$$y_i = p(x_i), \quad i = 1, 2, \dots, n. \quad (5.4)$$

Das condições (5.3), temos

$$p_1 x_1^{n-1} + p_2 x_1^{n-2} + \cdots + p_{n-1} x_1 + p_n = y_1 \quad (5.5)$$

$$p_1 x_2^{n-1} + p_2 x_2^{n-2} + \cdots + p_{n-1} x_2 + p_n = y_2 \quad (5.6)$$

$$\vdots \quad (5.7)$$

$$p_1 x_n^{n-1} + p_2 x_n^{n-2} + \cdots + p_{n-1} x_n + p_n = y_n. \quad (5.8)$$

Isto é, os coeficientes do polinômio interpolador (5.3) satisfazem o seguinte sistema linear

$$A\mathbf{p} = \mathbf{y}, \quad (5.9)$$

onde A é a matriz de Vandermonde¹

$$A = \begin{bmatrix} x_1^{n-1} & x_1^{n-2} & \cdots & x_1 & 1 \\ x_2^{n-1} & x_2^{n-2} & \cdots & x_2 & 1 \\ \vdots & \vdots & \vdots & \vdots & \vdots \\ x_n^{n-1} & x_n^{n-2} & \cdots & x_n & 1 \end{bmatrix}, \quad (5.10)$$

$\mathbf{p} = (p_1, p_2, \dots, p_n)$ é o vetor das incógnitas e $\mathbf{y} = (y_1, y_2, \dots, y_n)$ é o vetor dos termos constantes.

Exemplo 5.1.1. Consideremos o problema de encontrar o polinômio interpolador do conjunto de pontos $\{(-1, -1), (0, 1), (1, 1/2)\}$. Como temos 3 pontos, o polinômio tem grau 2 e pode ser escrito na forma

$$p(x) = p_1 x^2 + p_2 x + p_3. \quad (5.11)$$

Seguindo a abordagem acima, temos $\mathbf{p} = (p_1, p_2, p_3)$, $\mathbf{x} = (-1, 0, 1)$, $\mathbf{y} = (-1, 1, 1/2)$ e

$$A = \begin{bmatrix} x_1^2 & x_1 & 1 \\ x_2^2 & x_2 & 1 \\ x_3^2 & x_3 & 1 \end{bmatrix}. \quad (5.12)$$

Então, resolvendo $A\mathbf{p} = \mathbf{y}$, obtemos o polinômio interpolador

$$p(x) = -1,25x^2 + 0,75x + 1. \quad (5.13)$$

A Figura 5.1 mostra os esboços do polinômio interpolador $p(x)$ e dos pontos dados.

¹Alexandre-Théophile Vandermonde, 1735 - 1796, matemático francês. Fonte: [Wikipedia](#).

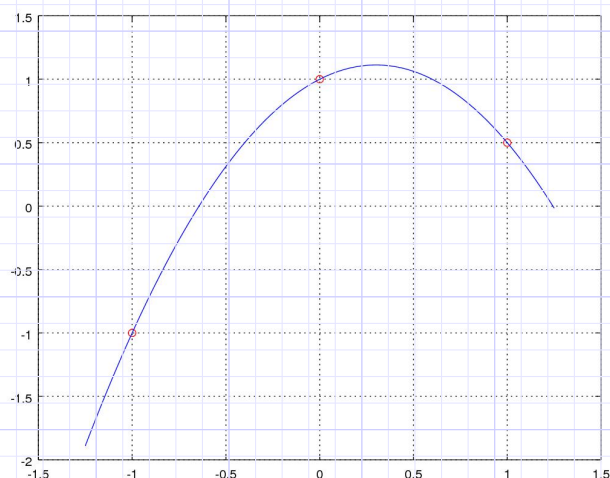


Figura 5.1: Esboços dos pontos e do polinômio interpolador referente ao Exemplo 5.1.1.

Exercícios

[[tag:revisar]]

Exercício 5.1.1. Obtenha o polinômio interpolador do conjunto de pontos $\{(-1, -1), (0, 1), (1, 1/2), (2, 1)\}$.

5.2 Interpolação de Lagrange

[[tag:revisar]]

Interpolação de Lagrange² é uma técnica para a computação do polinômio interpolador $p(x)$ de um conjunto de pontos $\{(x_i, y_i)\}_{i=1}^n$ dados. A ideia consiste em escrever o polinômio interpolador na forma

$$p(x) = y_1 L_1(x) + y_2 L_2(x) + \cdots + y_n L_n(x), \quad (5.14)$$

onde $L_i(x)$ é chamado de i -ésimo polinômio de Lagrange e é definido como

²Joseph-Louis Lagrange, 1736 - 1813, matemático italiano. Fonte: [Wikipedia](#).

o polinômio de grau $n - 1$ que satisfaz

$$L_i(x_j) = \begin{cases} 1, & i = j \\ 0, & i \neq j \end{cases} \quad (5.15)$$

Mais especificamente, temos que $L_i(x)$ tem raízes $\{x_1, \dots, x_{i-1}, x_{i+1}, \dots, x_n\}$ e, portanto, pode ser decomposto na forma

$$L_i(x) = c_i(x - x_1) \cdots (x - x_{i-1})(x - x_{i+1}) \cdots (x - x_n). \quad (5.16)$$

Além disso, como $L_i(x_i) = 1$, temos

$$c_i = \frac{1}{(x_i - x_1) \cdots (x_i - x_{i-1})(x_i - x_{i+1}) \cdots (x_i - x_n)}. \quad (5.17)$$

Assim sendo, podemos concluir que

$$L_i(x) = \frac{(x - x_1) \cdots (x - x_{i-1})(x - x_{i+1}) \cdots (x - x_n)}{(x_i - x_1) \cdots (x_i - x_{i-1})(x_i - x_{i+1}) \cdots (x_i - x_n)}. \quad (5.18)$$

Exemplo 5.2.1. Consideremos o problema de encontrar o polinômio interpolador do conjunto de pontos $\{(-1, -1), (0, 1), (1, 1/2)\}$. Como temos 3 pontos, o polinômio tem grau 2 e pode ser escrito na seguinte forma de Lagrange

$$p(x) = y_1 L_1(x) + y_2 L_2(x) + y_3 L_3(x), \quad (5.19)$$

onde $y_1 = -1$, $y_2 = 1$ e $y_3 = 1/2$. Os polinômios de Lagrange são dados por

$$L_1(x) = \frac{(x - x_2)(x - x_3)}{(x_1 - x_2)(x_1 - x_3)} = \frac{1}{2}x^2 - \frac{1}{2}x, \quad (5.20)$$

$$L_2(x) = \frac{(x - x_1)(x - x_3)}{(x_2 - x_1)(x_2 - x_3)} = -x^2 + 1, \quad (5.21)$$

$$L_3(x) = \frac{(x - x_1)(x - x_2)}{(x_3 - x_1)(x_3 - x_2)} = \frac{1}{2}x^2 + \frac{1}{2}x. \quad (5.22)$$

$$(5.23)$$

E, então, temos o polinômio interpolador

$$p(x) = -1,25x^2 + 0,75x + 1. \quad (5.24)$$

5.2.1 Aproximação de funções

[[tag:revisar]]

Polinômio interpoladores podem ser usados para a aproximação de funções. Podemos aproximar uma dada função f pelo polinômio interpolador de um conjunto de pontos selecionados $\{(x_i, y_i = f(x_i))\}_{i=1}^n$. De fato, o seguinte teorema nos fornece uma estimativa para o erro de uma tal interpolação.

Teorema 5.2.1. (Teorema de Lagrange) Sejam dados uma função f $n + 1$ -vezes continuamente diferenciável em um dado intervalo $[a, b]$ e n pontos $\{x_i\}_{i=1}^n \subset [a, b]$. Então, o polinômio interpolador do conjunto de pontos $\{x_i, y_i = f(x_i)\}_{i=1}^n$ satisfaz

$$f(x) = p(x) + \frac{f^{(n+1)}(\xi)}{(n+1)!} (x - x_1)(x - x_2) \cdots (x - x_n). \quad (5.25)$$

Demonstração. Em construção ... □

Exemplo 5.2.2. Considere o problema de aproxima $f(x) = \sin(x)$ pelo polinômio interpolador pelo conjunto de pontos $x_1 = 0$, $x_2 = \pi/2$ e $x_3 = \pi$. Isto, queremos determinar o polinômio $p(x)$ de grau 2 que interpola os pontos $\{(0,0), (\pi/2, 1), (\pi,0)\}$. Usando a técnica de Lagrange, obtemos

$$p(x) = -0,41x^2 + 1,3x, \quad (5.26)$$

com seus coeficientes arredondados para dois dígitos significativos. A Figura 5.2 mostra os esboços da função $f(x) = \sin(x)$, dos pontos dados e do polinômio interpolador $p(x)$.

Exercícios

[[tag:revisar]]

Exercício 5.2.1. Use a técnica de interpolação de Lagrange para encontrar o polinômio interpolador que aproxima a função $f(x) = e^x$ pelos pontos $x_1 = 0$, $x_2 = 1$, $x_3 = 1,5$ e $x_4 = 2$.



Figura 5.2: Esboços dos gráficos da função, dos pontos e do polinômio interpolador computado no Exemplo 5.2.2.

5.3 Diferenças divididas de Newton

[[tag:revisar]]

Dado um conjunto de pontos $\{(x_i, y_i)\}_{i=1}^n$, o método das diferenças divididas de Newton³ busca determinar o polinômio interpolador deste conjunto de pontos na forma

$$p(x) = a_1 + a_2(x - x_1) + a_3(x - x_1)(x - x_2) \quad (5.27)$$

$$+ \cdots + a_n(x - x_1) \cdots (x - x_{n-1}). \quad (5.28)$$

Por uma abordagem direta, temos que $p(x_i) = y_i$, $i = 1, 2, \dots, n$, o que nos leva ao seguinte sistema triangular inferior

$$a_1 = y_1, \quad (5.29)$$

$$a_1 + a_2(x_2 - x_1) = y_2, \quad (5.30)$$

$$a_1 + a_2(x_3 - x_1) + a_3(x_3 - x_1)(x_3 - x_2) = y_3, \quad (5.31)$$

$$\vdots \quad (5.32)$$

³Carl Gustav Jacob Jacobi, 1804 - 1851, matemático alemão. Fonte: [Wikipedia](https://pt.wikipedia.org/wiki/Carl_Gustav_Jacob_Jacobi).

$$a_1 + a_2(x_n - x_1) + \cdots + a_n(x_n - x_1) \cdots (x_n - x_{n-1}) = y_n. \quad (5.33)$$

Entretanto, existe uma forma mais eficiente de se determinar os coeficientes a_i , $i = 1, 2, \dots, n$.

Denotemos por $p[x_j, x_{j+1}, \dots, x_k](x)$ o polinômio interpolador do conjunto de pontos $\{(x_i, y_i)\}_{i=j}^k$. Então, temos a seguinte recursão

$$p[x_j] = y_j, \quad j = 1, 2, \dots, n, \quad (5.34)$$

e

$$\begin{aligned} p[x_j, x_{j+1}, \dots, x_k](x) \\ = \frac{(x - x_j)p[x_{j+1}, \dots, x_k](x) - (x - x_k)p[x_j, \dots, x_{k-1}](x)}{x_k - x_j}, \end{aligned} \quad (5.35)$$

para todo $n \geq k > j \geq 1$. De fato, (5.34) é trivial. Agora, denotando por $r(x)$ o lado direito da equação (5.35), vemos que $r(x)$ tem grau menor ou igual a $k - j$, o mesmo de $p[x_j, x_{j+1}, \dots, x_k](x)$. Desta forma, para mostrar (5.35), basta verificarmos que $r(x)$ interpola o conjunto de pontos $\{(x_i, y_i)\}_{i=j}^k$. O que de fato ocorre:

$$r(x_j) = \frac{-(x_j - x_k)y_j}{x_k - x_j} = y_j, \quad (5.36)$$

$$r(x_l) = \frac{(x_l - x_j)y_l - (x_l - x_k)y_l}{x_k - x_j} = y_l, \quad l = j + 1, \dots, k - 1, \quad (5.37)$$

$$r(x_k) = \frac{(x_k - x_j)y_k}{x_k - x_j} = y_k. \quad (5.38)$$

Logo, pela unicidade do polinômio interpolador, temos demonstrado (5.35).

Observando que o polinômio interpolador $p(x)$ é igual a $p[x_1, \dots, x_n](x)$, temos que (5.34)-(5.35) nos fornece uma forma de computar $p(x)$ recursivamente⁴. Além disso, observemos que $p[x_j, \dots, x_{k-1}](x)$ e $p[x_j, \dots, x_k]$ diferem por um polinômio de grau $k - j$ com zeros $x_j, x_{j+1}, \dots, x_{k-1}$. Logo, temos

$$\begin{aligned} p[x_j, \dots, x_k](x) &= p[x_j, \dots, x_{k-1}](x) \\ &\quad + f[x_j, \dots, x_k](x - x_j) \cdots (x - x_{k-1}), \end{aligned} \quad (5.39)$$

⁴De fato, o método de Neville consistem em computar $p(x)$ por esta recursão.

onde $f[x_j, \dots, x_k]$ são coeficientes a determinar. Ainda, tomando $p[x_i] = f[x_i]$, temos

$$p[x_j, \dots, x_k](x) = f[x_j] + f[x_j, x_{j+1}](x - x_j) + f[x_j, \dots, x_k](x - x_j) \cdots (x - x_{k-1}). \quad (5.40)$$

Por fim, a recursão (5.34)-(5.35) nos mostra que as diferenças divididas Newton podem ser obtidas de

$$f[x_j] = y_j, \quad j = 1, 2, \dots, n, \quad (5.41)$$

$$f[x_j, \dots, x_k] = \frac{f[x_{j+1}, \dots, x_k] - f[x_j, \dots, x_{k-1}]}{x_k - x_j}, \quad (5.42)$$

para todo $n \geq k > j \geq 1$. E, temos o polinômio interpolador do conjunto de pontos $\{(x_i, y_i)\}_{i=1}^n$ dado por

$$p[x_1, \dots, x_n](x) = f[x_1] + f[x_1, x_2](x - x_1) + \cdots + f[x_1, \dots, x_n](x - x_1) \cdots (x - x_{n-1}). \quad (5.43)$$

Observação 5.3.1. A recursão (5.41)-(5.42) pode ser adequadamente organizada em uma matriz da forma

$$\begin{bmatrix} f[x_1] & 0 & 0 & \cdots & 0 \\ f[x_2] & f[x_1, x_2] & 0 & \cdots & 0 \\ f[x_3] & f[x_2, x_3] & f[x_1, x_2, x_3] & \cdots & 0 \\ \vdots & \vdots & \vdots & \cdots & \vdots \\ f[x_n] & f[x_{n-1}, x_n] & f[x_{n-2}, x_{n-1}, x_n] & \cdots & f[x_1, x_2, \dots, x_n] \end{bmatrix} \quad (5.44)$$

onde os elementos da diagonal correspondem aos coeficientes do polinômio interpolador na forma (5.43).

Exemplo 5.3.1. Consideremos o problema de encontrar o polinômio interpolador do conjunto de pontos $\{(-1, -1), (0, 1), (1, 1/2)\}$. Usando o método das diferenças divididas de Newton, escrevemos o polinômio na forma

$$p(x) = f[x_1] + f[x_1, x_2](x - x_1) + f[x_1, x_2, x_3](x - x_1)(x - x_2). \quad (5.45)$$

Então, computamos seus coeficientes pela recursão (5.41)-(5.42). Ou seja, temos

$$f[x_1] = -1, \quad f[x_2] = 1, \quad f[x_3] = 1/2. \quad (5.46)$$

Daí, segue

$$f[x_1, x_2] = \frac{f[x_2] - f[x_1]}{x_2 - x_1} = 2 \quad (5.47)$$

$$f[x_2, x_3] = \frac{f[x_3] - f[x_2]}{x_3 - x_2} = \frac{1}{2} \quad (5.48)$$

$$(5.49)$$

e, então,

$$f[x_1, x_2, x_3] = \frac{f[x_2, x_3] - f[x_1, x_2]}{x_3 - x_1} = -1,25. \quad (5.50)$$

Logo, o polinômio interpolador é

$$p(x) = 0,5 + 2(x + 1) - 1,25(x + 1)(x - 1), \quad (5.51)$$

ou, equivalentemente,

$$p(x) = -1,25x^2 + 0,75x + 1. \quad (5.52)$$

Exercícios

[[tag:revisar]]

Exercício 5.3.1. Use o método das diferenças divididas de Newton para encontrar o polinômio interpolador que aproxima a função $f(x) = e^x$ pelos pontos $x_1 = 0$, $x_2 = 1$, $x_3 = 1,5$ e $x_4 = 2$.

5.4 Spline cúbico

[[tag:revisar]]

Dado um conjunto de pontos $\{(x_i, y_i)\}_{i=1}^n$, um spline cúbico é uma função duas vezes continuamente diferenciável da forma

$$s(x) = \begin{cases} s_{11}(x - x_1)^3 + s_{12}(x - x_1)^2 + s_{13}(x - x_1) + s_{14} & , x_1 \leq x < x_2, \\ s_{21}(x - x_2)^3 + s_{22}(x - x_2)^2 + s_{23}(x - x_2) + s_{24} & , x_2 \leq x < x_3, \\ \vdots & \\ s_{n-1,1}(x - x_{n-1})^3 + s_{n-1,2}(x - x_{n-1})^2 + s_{n-1,3}(x - x_{n-1}) + s_{n-1,4} & , x_{n-1} \leq x \leq x_n. \end{cases}$$

(5.53)

que satisfaz as seguintes propriedades

1. $s(x_i) = y_i$ para $i = 1, 2, \dots, n$,
2. $s_j(x_j) = s_{j+1}(x_j)$ para todo $j = 1, 2, \dots, n-2$,
3. $s'_j(x_j) = s'_{j+1}(x_j)$ para todo $j = 1, 2, \dots, n-2$,
4. $s''_j(x_j) = s''_{j+1}(x_j)$ para todo $j = 1, 2, \dots, n-2$.

Observemos que o spline tem $4(n-1)$ coeficientes a determinar, enquanto que as condições acima nos fornecem $4n-6$ equações. Assim sendo, nota-se a determinação de um spline requer ainda 2 condições. Conforme a escolha destas condições, diferentes splines cúbicos são computados.

5.4.1 Spline *Not-a-knot*

[[tag:revisar]]

A condição *not-a-knot* exige que o spline cúbico tenha derivada terceira contínua nos pontos x_2 e x_{n-1} , i.e.

$$s'''_1(x_2) = s'''_2(x_2) \quad \text{e} \quad s'''_{n-2}(x_{n-1}) = s'''_{n-1}(x_{n-1}). \quad (5.54)$$

Exemplo 5.4.1. Consideremos o problema de aproximar a função $f(x) = \sin(x)$ pelo spline cúbico *not-a-knot* com pontos suporte $x_1 = 0$, $x_2 = \pi/3$, $x_3 = \pi/6$ e $x_4 = \pi/2$. Na Figura 5.3 temos os esboços de f e do spline cúbico computado.

5.4.2 Spline fixado

[[tag:revisar]]

Os splines cúbicos fixados são obtidos com as condições de fronteira

$$s'(x_1) = y'_1, \quad \text{e} \quad s'(x_n) = y'_n, \quad (5.55)$$

onde y'_1 e y'_n são escalares dados. Quando usamos splines para aproximarmos uma dada função f , usualmente, escolhemos $y'_1 = f'(x_1)$ e $y'_n = f'(x_n)$.

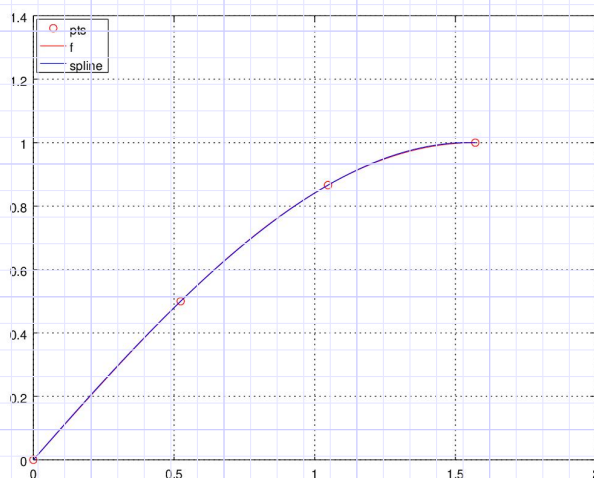


Figura 5.3: Esboço dos gráficos da função $f(x) = \sin(x)$ e do spline cúbico computado no Exemplo 5.4.1.

Exemplo 5.4.2. Consideremos o problema de aproximar a função $f(x) = \sin(x)$ pelo spline cúbico fixado com pontos suporte $x_1 = 0$, $x_2 = \pi/3$, $x_3 = \pi/6$ e $x_4 = \pi/2$. Na Figura 5.4 temos os esboços de f e do spline cúbico computado.

Exercícios

[[tag:construcao]]

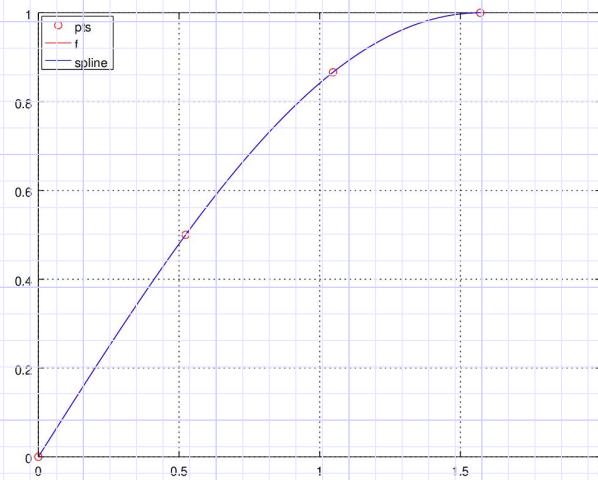


Figura 5.4: Esboço dos gráficos da função $f(x) = \sin(x)$ e do spline cúbico computado no Exemplo 5.4.2.

Capítulo 6

Aproximação por mínimos quadrados

[[tag:revisar]]

6.1 Problemas lineares

[[tag:revisar]]

Dado um conjunto de n pontos $\{(x_i, y_i)\}_{i=1}^n$, $x_i \neq x_j$ para $i \neq j$, e uma família de $m \leq n$ funções $\{f_i(x)\}_{i=1}^m$, o problema linear de aproximação por mínimos quadrados consiste em determinar os m coeficientes $\{c_i\}_{i=1}^m$ tal que a função

$$f(x; c) = \sum_{j=1}^m c_j f_j(x) \quad (6.1)$$

$$= c_1 f_1(x) + c_2 f_2(x) + c_3 f_3(x) + \cdots + c_m f_m(x) \quad (6.2)$$

aproxime o conjunto de pontos dados no sentido de mínimos quadrados, i.e. o vetor dos coeficientes $c = (c_1, c_2, \dots, c_m)$ é solução do seguinte problema linear de minimização

$$\min_c \left\{ E := \sum_{i=1}^n (y_i - f(x_i; c))^2 \right\}. \quad (6.3)$$

A fim de trabalharmos com uma notação mais compacta, definimos o resíduo $r(c) = (r_1(c), r_2(c), \dots, r_n(c))$, onde $r_i(c) := y_i - f(x_i)$ e $c = (c_1, c_2, \dots, c_m)$. Com esta notação, o problema de mínimos quadrados se resume a resolver

$$\min_c \{E := \|r(c)\|_2^2\}. \quad (6.4)$$

6.1.1 Método das equações normais

[[tag:revisar]]

A fim de resolver o problema de mínimos quadrados (6.4), observamos que o erro quadrático

$$E = \|r(c)\|_2^2 \quad (6.5)$$

$$= \sum_{i=1}^n r_i(c)^2 \quad (6.6)$$

$$= \sum_{i=1}^n (y_i - f(x_i; c))^2 \quad (6.7)$$

$$= \sum_{i=1}^n \left(y_i - \sum_{j=1}^m c_j f_j(x_i) \right)^2 \quad (6.8)$$

$$= \|y - Ac\|_2^2, \quad (6.9)$$

onde $y = (y_1, y_2, \dots, y_n)$ e

$$A := \begin{bmatrix} f_1(x_1) & f_2(x_1) & \cdots & f_m(x_1) \\ f_1(x_2) & f_2(x_2) & \cdots & f_m(x_2) \\ \vdots & \vdots & \ddots & \vdots \\ f_1(x_n) & f_2(x_n) & \cdots & f_m(x_n) \end{bmatrix}. \quad (6.10)$$

Os parâmetros c_j que minimizam o erro E são solução do seguinte sistema de equações

$$\frac{\partial E}{\partial c_j} = 2 \sum_{i=1}^n r_i(c) \frac{\partial}{\partial c_j} r_i(c) = 0, \quad (6.11)$$

onde $j = 1, 2, \dots, m$. Ou, em uma notação mais apropriada,

$$\nabla_c E = 0 \Leftrightarrow A^T r(c) = 0 \quad (6.12)$$

$$\Leftrightarrow A^T(y - Ac) = 0 \quad (6.13)$$

$$\Leftrightarrow A^T Ac = A^T y. \quad (6.14)$$

Portanto, o problema linear de mínimos quadrados se resume em resolver as chamadas **equações normais**

$$A^T Ac = A^T y. \quad (6.15)$$

Logo, o problema linear de mínimos quadrados (6.4) reduz-se a resolver o sistema linear (6.15) para c . Isto nos leva a questão de verificar se $A^T A$ é invertível. De sorte, da disciplina de álgebra linear temos o seguinte teorema.

Teorema 6.1.1. *A matriz $A^T A$ é positiva definida se, e somente se, as colunas de A são linearmente independentes (i.e. $\text{posto}(A) = n$).*

Demonstração. Se as colunas de A são linearmente independentes, então $x \neq 0$ implica $Ax \neq 0$ e, equivalentemente, $x^T A^T \neq 0$. Portanto, $x \neq 0$ implica $x^T A^T Ax = \|Ax\|_2^2 > 0$, o que mostra que $A^T A$ é positiva definida.

Suponhamos, agora, que as colunas de A não são linearmente independentes. Então, existe $x_0 \neq 0$ tal que $Ax_0 = 0$. Mas, então, $x_0^T A^T Ax_0 = 0$, o que mostra que $A^T A$ não é positiva definida. \square

Este teorema nos fornece uma condição suficiente para a existência (e unicidade) de solução do problema linear de mínimos quadrados. Mais especificamente, se as colunas da matriz A são linearmente independentes, então os coeficientes da função $f(x)$ que melhor ajustam os pontos dados são

$$c = (A^T A)^{-1} A^T y. \quad (6.16)$$

Exemplo 6.1.1. (Ajuste de polinômios) Considere o problema de ajustar o conjunto de pontos

i	1	2	3	4
x_i	-1	0	1	1,5
y_i	1,2	-0,1	0,7	2,4

por um polinômio quadrático da forma

$$p(x) = p_1 x^2 + p_2 x + p_3 \quad (6.17)$$

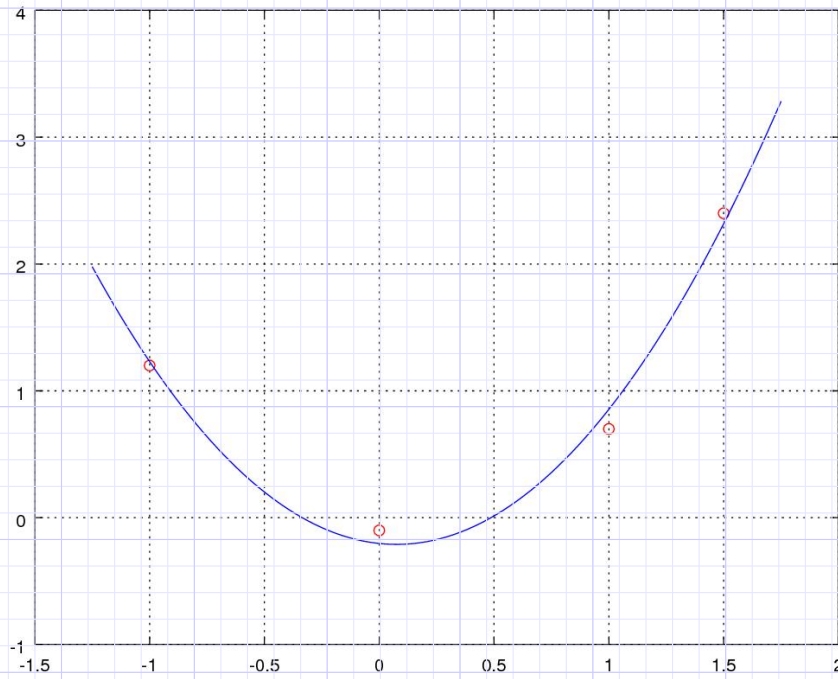


Figura 6.1: Esboço do polinômio ajustado no Exemplo 6.1.1.

no sentido de mínimos quadrados.

Neste caso, a família de funções do problema de mínimos quadrados é $f_1(x) = x^2$, $f_2(x) = x$ e $f_3(x) = 1$. Assim sendo, os coeficientes $p = (p_1, p_2, p_3)$ são solução do seguinte sistema linear

$$A^T A p = A^T y, \quad (6.18)$$

onde $y = (y_1, y_2, y_3)$ e

$$A := \begin{bmatrix} x_1^2 & x_1 & 1 \\ x_2^2 & x_2 & 1 \\ x_3^2 & x_3 & 1 \\ x_4^2 & x_4 & 1 \end{bmatrix}. \quad (6.19)$$

Emfim, resolvendo as equações normais (6.18), obtemos

$$p(x) = 1,25x^2 - 0,188x - 0,203. \quad (6.20)$$

A Figura 6.1 mostra um esboço dos pontos (em vermelho) e do polinômio ajustado (em azul).

Exemplo 6.1.2. (Ajuste de curvas) Consideremos o mesmo conjunto de pontos do exemplo anterior (Exemplo 6.1.1). Aqui, vamos ajustar uma curva da forma

$$f(x) = c_1 \sin(x) + c_2 \cos(x) + c_3 \quad (6.21)$$

no sentido de mínimos quadrados. Para tanto, formamos a matriz

$$A := \begin{bmatrix} \sin(x_1) & \cos(x_1) & 1 \\ \sin(x_2) & \cos(x_2) & 1 \\ \sin(x_3) & \cos(x_3) & 1 \\ \sin(x_4) & \cos(x_4) & 1 \end{bmatrix} \quad (6.22)$$

e, então, resolvemos as equações normais $A^T A c = A^T y$ para o vetor de coeficientes $c = (c_1, c_2)$. Fazendo isso, obtemos $c_1 = -0,198$, $c_2 = -2,906$ e $c_3 = 2,662$. A Figura 6.2 mostra um esboço da curva ajustada (linha azul) aos pontos dados (círculos vermelhos).

Exemplo 6.1.3. (Um problema não linear) Consideremos o problema de ajustar, no sentido de mínimos quadrados, à função

$$f(x) = c_1 e^{c_2 x} \quad (6.23)$$

ao seguinte conjunto de pontos

i	1	2	3	4
x_i	-1	0	1	1,5
y_i	8,0	1,5	0,2	0,1

Aqui, temos um problema não linear de mínimos quadrados que pode ser transformado em um problema linear fazendo-se

$$y = c_1 e^{c_2 x} \Rightarrow \ln y = \ln c_1 e^{c_2 x} \quad (6.24)$$

$$\Rightarrow \ln y = \ln c_1 + c_2 x. \quad (6.25)$$

Isto é, denotando $d_1 := \ln c_1$ e $d_2 := c_2$, o problema se resume a ajustar uma reta $r(x) = d_1 + d_2 x$ ao conjunto de pontos $\{(x_i, \ln y_i)\}_{i=1}^4$.

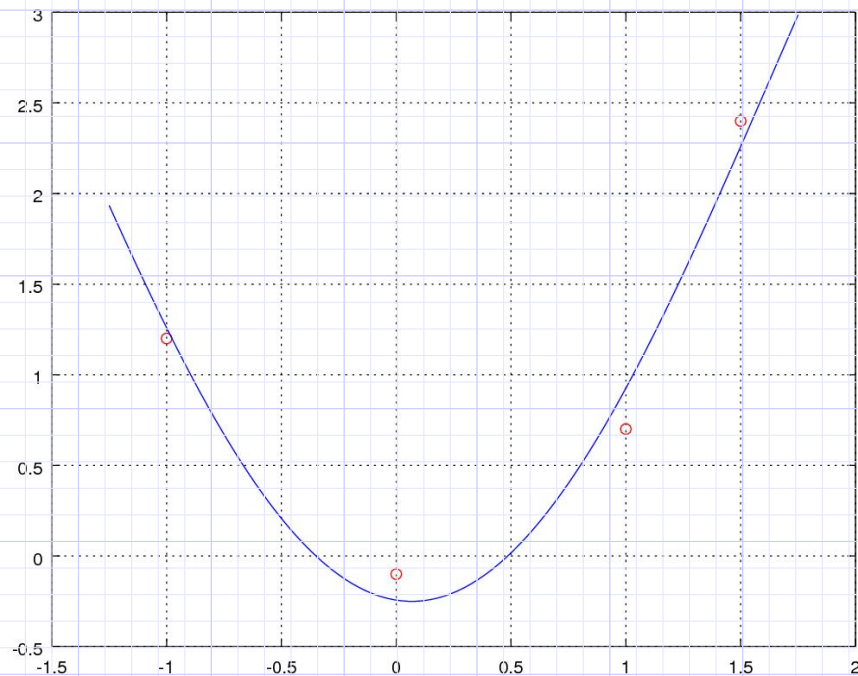


Figura 6.2: Esboço da curva ajustada no Exemplo 6.1.2.

Para resolver o problema transformado, formamos a matriz

$$A := \begin{bmatrix} 1 & x_1 \\ 1 & x_2 \\ 1 & x_3 \\ 1 & x_4 \end{bmatrix} \quad (6.26)$$

e, então, resolvemos as equações normais $A^T A d = A^T \ln y$, com $\ln y = (\ln y_1, \ln y_2, \ln y_3, \ln y_4)$, donde obtemos $d_1 = 0,315$ e $d_2 = -1,792$. Das definições de d_1 e d_2 , temos $c_2 = d_2 = -1,792$ e $c_1 = e^{d_1} = 1,371$. A Figura 6.3 mostra um esboço da curva $f(x) = c_1 e^{c_2 x}$ ajustada (linha azul) aos pontos dados (círculos vermelhos).

Exercícios

[[tag:revisar]]

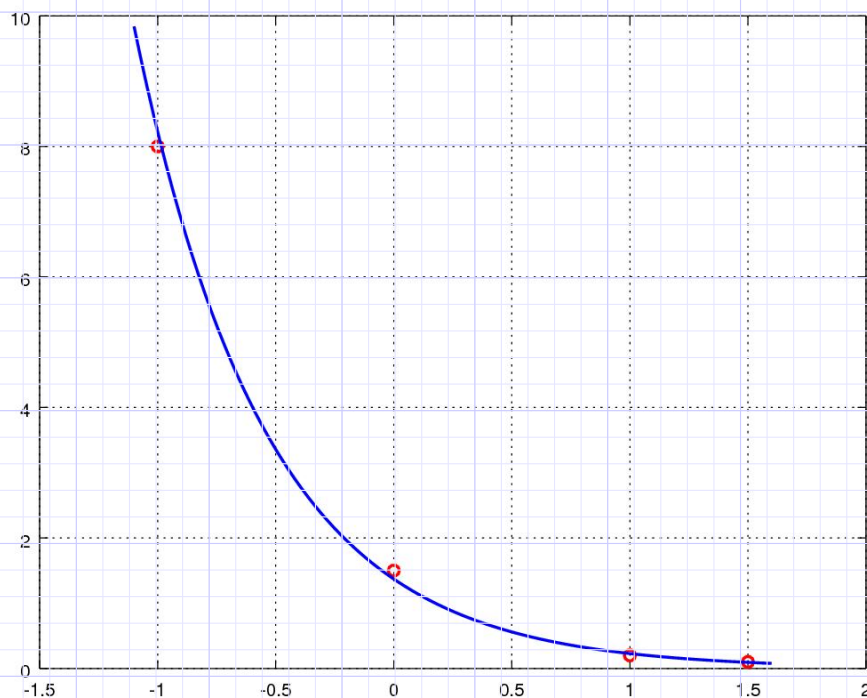


Figura 6.3: Esboço da curva ajustada no Exemplo 6.1.3.

Exercício 6.1.1. Determine a reta $y = c_1x + c_2$ que melhor se ajusta, no sentido de mínimos quadrados, aos pontos

i	1	2	3	4	5
x_i	-2,5	-1,3	0,2	1,7	2,3
y_i	3,8	1,5	-0,7	-1,5	-3,2

Por fim, compute a norma L^2 do resíduo, i.e. $\|r(c)\|_2 = \|y - (c_1x + c_2)\|_2$ para os pontos dados.

Exercício 6.1.2. Determine o polinômio $y = c_1x^3 + c_2x^2 + c_3x + c_4$ que melhor se ajusta, no sentido de mínimos quadrados, aos pontos

i	1	2	3	4	5
x_i	-2,5	-1,3	0,2	1,7	2,3
y_i	3,8	0,5	2,7	1,2	-1,3

Por fim, compute a norma L^2 do resíduo, i.e. $\|r(c)\|_2$.

Exercício 6.1.3. Determine a curva $y = c_1 \sin x + c_2 \cos x + c_3$ que melhor se ajusta, no sentido de mínimos quadrados, aos pontos

i	1	2	3	4	5
x_i	-2,5	-1,3	0,2	1,7	2,3
y_i	3,8	0,5	2,7	1,2	-1,3

Por fim, compute a norma L^2 do resíduo, i.e. $\|r(c)\|_2$.

Exercício 6.1.4. Use a transformação $z = \ln y$ para ajustar, no sentido de mínimos quadrados, a curva $y = c_1 e^{c_2(x-c_3)^2}$ aos pontos

i	1	2	3	4	5	6
x_i	-0,5	0,5	1,3	2,1	2,7	3,1
y_i	0,1	1,2	2,7	0,9	0,2	0,1

6.2 Problemas não lineares

[[tag:revisar]]

Um problema não linear de mínimos quadrados consiste em ajustar uma dada função $f(x; c)$ que dependa não linearmente dos parâmetros $c = (c_1, c_2, \dots, c_m)$, $m \geq 1$, a um dado conjunto de $n \geq m$ pontos $\{(x_i, y_i)\}_{i=1}^n$. Mais especificamente, buscamos resolver o seguinte problema de minimização

$$\min_{\{c_1, c_2, \dots, c_m\}} \left[E := \sum_{i=1}^n (y_i - f(x_i; c))^2 \right]. \quad (6.27)$$

Aqui, denotaremos por $r(c) := (r_1(c), r_2(c), \dots, r_n(c))$ o vetor dos resíduos $r_i(c) := y_i - f(x_i, c)$. Com isso, o problema se resume a encontrar o vetor de parâmetros c que minimiza

$$E = \|r(c)\|_2^2. \quad (6.28)$$

Tais parâmetros são solução do seguinte sistema de equações

$$\frac{\partial E}{\partial c_j} = 2 \sum_{i=1}^n r_i(c) \frac{\partial}{\partial c_j} r_i(c) = 0 \quad (6.29)$$

ou, equivalentemente, da equação

$$\nabla E = 0 \Leftrightarrow J_R^T(c)r(c) = 0, \quad (6.30)$$

onde

$$J_R(c) := \begin{bmatrix} \frac{\partial r_1}{\partial c_1} & \frac{\partial r_1}{\partial c_2} & \cdots & \frac{\partial r_1}{\partial c_m} \\ \frac{\partial r_2}{\partial c_1} & \frac{\partial r_2}{\partial c_2} & \cdots & \frac{\partial r_2}{\partial c_m} \\ \vdots & \vdots & \ddots & \vdots \\ \frac{\partial r_n}{\partial c_1} & \frac{\partial r_n}{\partial c_2} & \cdots & \frac{\partial r_n}{\partial c_m} \end{bmatrix} \quad (6.31)$$

é a jacobiana do resíduo r em relação aos parâmetros c .

Podemos usar o método de Newton para resolver (6.30). Para tanto, escolhamos uma aproximação inicial para $c^{(1)} = (c_1^{(1)}, c_2^{(1)}, \dots, c_m^{(1)})$ e iteramos

$$H_R(c^{(k)})\delta^{(k)} = -J_R^T(c)r(c) \quad (6.32)$$

$$c^{(k+1)} = c^{(k)} + \delta^{(k)}, \quad (6.33)$$

onde $\delta^{(k)} = (\delta_1^{(k)}, \delta_2^{(k)}, \delta_m^{(k)})$ é a atualização de Newton (ou direção de busca) e $H_R(c) := [h_{p,q}(c)]_{p,q=1}^{m,m}$ é a matriz hessiana, cujos elementos são

$$h_{p,q} := \sum_{i=1}^n \left\{ \frac{\partial r_i}{\partial c_q} \frac{\partial r_i}{\partial c_p} + r_i \frac{\partial^2 r_i}{\partial c_q \partial c_p} \right\}. \quad (6.34)$$

Exemplo 6.2.1. Consideremos o problema de ajustar, no sentido de mínimos quadrados, a função

$$f(x; c) = c_1 e^{c_2 x} \quad (6.35)$$

ao seguinte conjunto de pontos

i	1	2	3	4
x_i	-1	0	1	1,5
y_i	8,0	1,5	0,2	0,1

Aqui, vamos utilizar a iteração de Newton para o problema de mínimos quadrados, i.e. a iteração dada em (6.32)-(6.33). Para tanto, para cada $i = 1, 2, 3, 4$, precisamos das seguintes derivadas parciais do resíduo $r_i(c) := y_i - c_1 e^{c_2 x_i}$:

$$\frac{\partial}{\partial c_1} r_i(c) = -e^{c_2 x_i}, \quad (6.36)$$

$$\frac{\partial}{\partial c_2} r_i(c) = -c_1 x_i e^{c_2 x_i}, \quad (6.37)$$

$$\frac{\partial^2}{\partial c_1^2} r_i(c) = 0, \quad (6.38)$$

$$\frac{\partial^2}{\partial c_1 \partial c_2} r_i(c) = \frac{\partial^2}{\partial c_2 \partial c_1} r_i(c) = -x_i e^{c_2 x_i}, \quad (6.39)$$

$$\frac{\partial^2}{\partial c_2^2} r_i(c) = -c_1 x_i^2 e^{c_2 x_i}. \quad (6.40)$$

Com isso e tomando $c^{(1)} = (1,4, -1,8)$ (motivado do Exemplo 6.1.3), computamos as iterações de Newton (6.32)-(6.33). Iterando até a precisão de $TOL = 10^{-4}$, obtemos a solução $c_1 = 1,471$ e $c_2 = -1,6938$. Na Figura 6.4 vemos uma comparação entre a curva aqui ajustada (—) e aquela obtida no Exemplo 6.1.3 (---).

Observamos que a solução obtida no exemplo anterior (Exemplo 6.2.1) difere da previamente encontrada no Exemplo 6.1.3. Naquele exemplo, os parâmetros obtidos nos fornecem $E = 6,8E-2$, enquanto que a solução do exemplo anterior fornece $E = 6,1E-3$. Isto é esperado, pois naquele exemplo resolvemos um problema aproximado, enquanto no exemplo anterior resolvemos o problema por si.

O emprego do método de Newton para o problema de mínimos quadrados tem a vantagem da taxa de convergência quadrática, entretanto requer a computação das derivadas parciais de segunda ordem do resíduo. Na sequência discutimos alternativas comumente empregadas.

6.2.1 Método de Gauss-Newton

[[tag:revisar]]

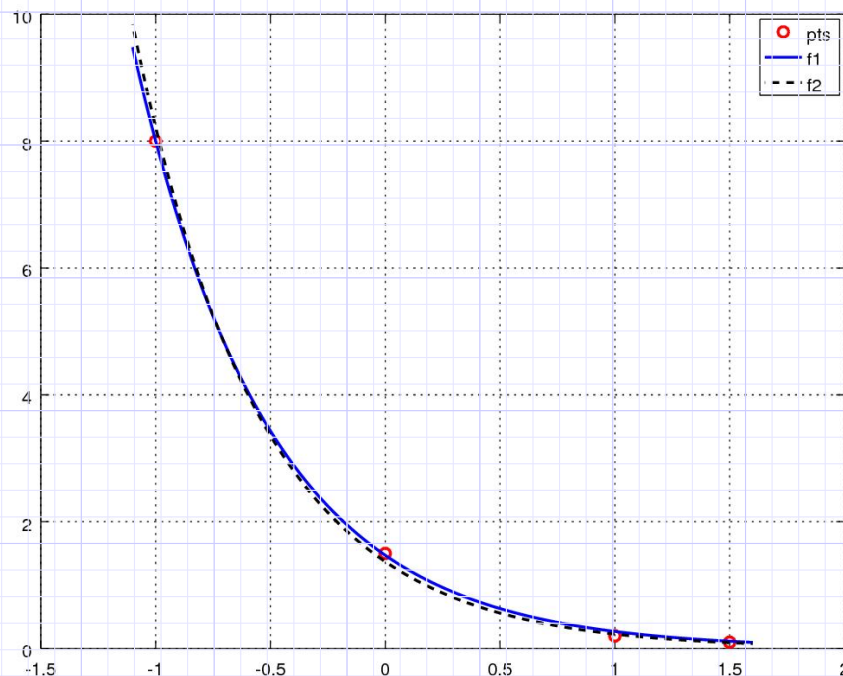


Figura 6.4: Esboço da curva ajustada no Exemplo 6.2.1.

O método de Gauss-Newton é uma técnica iterativa que aproxima o problema não linear de mínimos quadrados (6.27) por uma sequência de problemas lineares. Para seu desenvolvimento, começamos de uma aproximação inicial $c^{(1)} = (c_1^{(1)}, c_2^{(1)}, \dots, c_m^{(1)})$ dos parâmetros que queremos ajustar. Também, assumindo que a n -ésima iterada $c^{(k)}$ é conhecida, faremos uso da aproximação de primeira ordem de $f(x, c)$ por polinômio de Taylor, i.e.

$$f(x; c^{(k+1)}) \approx f(x; c^{(k)}) + \nabla_c f(x; c^{(k)})(c^{(k+1)} - c^{(k)}), \quad (6.41)$$

onde

$$\nabla_c f(x; c) = \left[\frac{\partial}{\partial c_1} f(x; c) \quad \frac{\partial}{\partial c_2} f(x; c) \quad \cdots \quad \frac{\partial}{\partial c_m} f(x; c) \right]. \quad (6.42)$$

O método consiste em obter a solução do problema não linear (6.27) pelo

limite dos seguintes problemas lineares de mínimos quadrados

$$\min_{\delta^{(k)}} \left[\tilde{E} := \sum_{i=1}^n (y_i - f(x_i, c^{(k)}) - \nabla_c f(x_i; c^{(k)}) \delta^{(k)})^2 \right] \quad (6.43)$$

$$c^{(k+1)} = c^{(k)} + \delta^{(k)}. \quad (6.44)$$

Agora, usando a notação de resíduo $r(c) = y - f(x; c)$, observamos que (6.50) consiste no problema linear de mínimos quadrados

$$\min_{\delta^{(k)}} \|r(c^{(k)}) + J_R(c^{(k)}) \delta^{(k)}\|_2^2, \quad (6.45)$$

o qual é equivalente a resolver as equações normais

$$J_R^T(c^{(n)}) J_R(c^{(n)}) \delta^{(n)} = -J_R^T(c) r(c). \quad (6.46)$$

Com isso, dada uma aproximação inicial $c^{(1)}$, a **iteração do método de Gauss-Newton** consiste em

$$J_R^T(c^{(k)}) J_R(c^{(k)}) \delta^{(k)} = -J_R^T(c) r(c) \quad (6.47)$$

$$c^{(k+1)} = c^{(k)} + \delta^{(k)}. \quad (6.48)$$

Exemplo 6.2.2. A aplicação da iteração de Gauss-Newton ao problema de mínimos quadrados discutido no Exemplo 6.2.1 nos fornece a mesma solução obtida naquele exemplo (preservadas a aproximação inicial e a tolerância de precisão).

O método de Gauss-Newton pode ser lentamente convergente para problemas muito não lineares ou com resíduos grandes. Nesse caso, métodos de Gauss-Newton com amortecimento são alternativas robustas [1, 5]. Na sequência, introduziremos um destes métodos, conhecido como método de Levenberg-Marquardt.

6.2.2 Método de Levenberg-Marquardt

[[tag:revisar]]

O método de Levenberg-Marquardt é uma variação do método de Gauss-Newton no qual a direção de busca $\delta^{(n)}$ é obtida da solução do seguinte problema regularizado

$$\min_{\delta^{(k)}} \{ \|r(c^{(k)}) + J_R(c^{(k)})\delta^{(k)}\|_2^2 + \mu^{(k)}\|\delta^{(k)}\|_2^2 \} \quad (6.49)$$

ou, equivalentemente,

$$\min_{\delta^{(k)}} \left\| \begin{bmatrix} r(c^{(k)}) \\ 0 \end{bmatrix} + \begin{bmatrix} J_R(c^{(k)}) \\ \mu^{(k)} I \end{bmatrix} \delta^{(k)} \right\|_2^2 \quad (6.50)$$

A taxa de convergência das iterações de Levenberg-Marquardt é sensível a escolha do parâmetro $\mu^{(k)} \geq 0$. Aqui, faremos esta escolha por tentativa e erro. O leitor pode aprofundar-se mais sobre esta questão na literatura especializada (veja, por exemplo, [1, 5]).

Observação 6.2.1. Quando $\mu^{(k)} \equiv 0$ para todo n , o método de Levenberg-Marquardt é equivalente ao método de Gauss-Newton.

Exemplo 6.2.3. Consideremos o problema de mínimos quadrados discutido no Exemplo 6.2.1. O método de Gauss-Newton falha para este problema se escolhermos, por exemplo, $c^{(1)} = (0, 0)$. Isto ocorre pois, para esta escolha de $c^{(1)}$, a jacobiana $J(c^{(1)})$ não tem posto completo. Entretanto, o método de Levenberg-Marquardt com $\mu^{(k)} = 0,1$ é convergente, mesmo para esta escolha de $c^{(1)}$.

Exercícios

[[tag:revisar]]

Exercício 6.2.1. Use o método de Gauss-Newton para ajustar, no sentido de mínimos quadrados e com precisão de 10^{-4} , a curva $y = c_1 e^{c_2(x-c_3)^2}$ aos pontos

i	1	2	3	4	5	6
x_i	-0,5	0,5	1,3	2,1	2,7	3,1
y_i	0,1	1,2	2,7	0,9	0,2	0,1

Use as condições iniciais:

a) $c_1 = 2,1$, $c_2 = -1$ e $c_3 = 1,3$.

b) $c_1 = 1$, $c_2 = -1$ e $c_3 = -1$.

Exercício 6.2.2. Resolva o exercício anterior (Exercício 6.2.1) usando o método de Levenberg-Marquardt com amortecimento constante $\mu = 0,2$.

Resposta dos Exercícios

Exercício 1.1.1. a) 45,15625; b) 11,25; c) 55981; d) 27,140625; e) 1220

Exercício 1.1.2. a) $(1010)_2$; b) $(101101,1)_2$; c) $(51)_8$; d) $(42,51)_{16}$; e) $(0,1)_3$

Exercício 1.1.3. a) $(231,022)_4$; b) $(1011,01)_2$; c) $(20001)_8$

Exercício 1.1.4. a) $0,\bar{3}$; b) 1.5; c) $(0,\bar{25})_8$;

Exercício 1.1.5. a) $(0,1\bar{03})_4$; b) $(0,\bar{27})$; c) $(2,2)_5$

Exercício 1.2.1. a) [10001000]; b) [11110111]
c) [00000100]; d) [00000111]

Exercício 1.2.2. a) [0000000000100000];
b) [0000000000111111];

Exercício 1.2.3. $[10111 \dots 11] \sim -3$

Exercício 1.2.4. a) $[1 \mid 0 \ 1 \ 1 \ \dots \ 1 \mid 1 \ 0 \ 1 \ 0 \ 0 \ \dots \ 0]$;
b) $[0 \mid 1 \ 0 \ 0 \ \dots \ 0 \mid 1 \ 0 \ 0 \ \dots \ 0]$

Exercício 1.2.5.

a) $[0, 0, 1, 1, 1, 1, 0, 1,$

2 1, 1, 0, 0, 1, 1, 0, 0,
 3 1, 1, 0, 0, 1, 1, 0, 0,
 4 1, 1, 0, 0, 1, 1, 0, 1]

$$|0,1 - fl(0,1)| \approx 1,5e^{-9}$$

b) [0, 1, 0, 0, 0, 0, 0, 1,
 2 0, 0, 1, 0, 0, 0, 0, 1,
 3 1, 0, 0, 1, 1, 0, 0, 1,
 4 1, 0, 0, 1, 1, 0, 1, 0]

$$|10,1 - fl(10,1)| \approx 3,8e^{-7}$$

d) [0, 1, 0, 0, 0, 0, 1, 0,
 2 1, 1, 0, 0, 1, 0, 0, 0,
 3 0, 0, 1, 1, 0, 0, 1, 1,
 4 0, 0, 1, 1, 0, 0, 1, 1]

$$|100,1 - fl(100,1)| \approx 1,5e^{-6}$$

Exercício 1.3.1. a) $3,14159 \times 10^0$, 3.14159e00+; b) $3,14159 \times 10^{-1}$, 3.14159e-01;
 c) $8,164922 \times 10^{-1}$, 8.164966e-01

Exercício 1.3.2. $3,540841 \times 10^{-1}$

Exercício 1.3.3. a) $6,2 \times 10^{-1}$, 6.2e-01; b) $6,2 \times 10^{-1}$, 6.1e-01; c) $6,4 \times 10^{-1}$; 6.4e-01

Exercício 1.3.4. a) 3,5; b) 3,6; c) Operar sobre números arredondados acarreta perda de exatidão.

Exercício 1.3.5. Dica: $\sqrt{3}$ não tem representação exata em ponto flutuante.

Exercício 1.4.1. a) $1,593 \times 10^{-3}$; b) $2,818 \times 10^{-1}$;

Exercício 1.4.2. a) 0,051%; b) 0,01%;

Exercício 1.4.3. a) 3; b) 3

Exercício 1.4.4. $1/6! \approx 1,4 \times 10^{-3}$.

Exercício 1.4.5. $2,002083 \times 10^{-3}$

Exercício 1.4.6. $5,75403 \times 10^{-3}$

Exercício 1.4.7. $5,0 \times 10^{-10}$

Exercício 2.1.1. $9,179688 \times 10^{-1}$

Exercício 2.1.2. $9,15833\text{E}-1$

Exercício 2.1.3. a) 6.4118574×10^{-1} ; b) 3.3536470×10^{-1} ; 2.9999589

Exercício 2.1.4. $5,770508 \times 10^{-1}$

Exercício 2.2.1. $9,158079 \times 10^{-1}$

Exercício 2.2.2. a) 6.4118574×10^{-1} ; b) 3.3536470×10^{-1} ; 2.9999589

Exercício 2.2.3. $-7,861 \times 10^{-1}$

Exercício 2.2.4. $5,770508 \times 10^{-1}$

Exercício 2.3.1. $x = 0$

Exercício 2.3.2. a) Convergente; b) Divergente.

Exercício 2.3.3. $\alpha = 0,6$; $7,3909 \times 10^{-1}$

Exercício 2.3.4. a) $\alpha = 0.25$; b) Pois, não há α que satisfaz o Teorema do Ponto Fixo.; c) $\alpha = 0.1$

Exercício 2.3.6. a) 6.4118574×10^{-1} ; b) 3.3536470×10^{-1} ; 2.9999589

Exercício 2.3.7. $-7,861 \times 10^{-1}$

Exercício 2.3.8. $5,770508 \times 10^{-1}$

Exercício 2.4.1. $9,15811 \times 10^{-1}$

Exercício 2.4.3. a) 6.4118574×10^{-1} ; b) 3.3536470×10^{-1} ; 2.9999589

Exercício 2.4.4. $-7,861 \times 10^{-1}$

Exercício 2.4.5. $5,770508 \times 10^{-1}$

Exercício 2.5.1. $9,15811 \times 10^{-1}$

Exercício 2.5.2. $5,7700 \times 10^{-1}$

Exercício 2.5.4. Dica: Analise a convergência das iteradas para cada abordagem.

Exercício 2.6.1. $9,1581 \times 10^{-1}$

Exercício 2.6.2. a) 6.4118574×10^{-1} ; b) 3.3536470×10^{-1} ; 2.9999589

Exercício 2.6.3. Dica: f tem um zero de multiplicidade par no intervalo $[-1, 0]$.

Exercício 2.6.4. $5,7700 \times 10^{-1}$

Exercício 2.6.5. $-7,861 \times 10^{-1}$

Exercício 2.7.1. 2

Exercício 3.1.1. a)

$$L = \begin{bmatrix} 1 & 0 & 0 \\ -3 & 1 & 0 \\ 4 & 0 & 1 \end{bmatrix} \quad (3.120)$$

$$U = \begin{bmatrix} -1 & 2 & 2 \\ 0 & 10 & -5 \\ 0 & 0 & 4.5 \end{bmatrix} \quad (3.121)$$

b)

$$P = \begin{bmatrix} 0 & 0 & 1 \\ 1 & 0 & 0 \\ 0 & 1 & 0 \end{bmatrix} \quad (3.122)$$

$$L = \begin{bmatrix} 0 & 0 & 0 \\ 0,25 & 1 & 0 \\ -0,75 & 7,692\text{E}-2 & 1 \end{bmatrix} \quad (3.123)$$

$$U = \begin{bmatrix} -4 & -5 & 3 \\ 0 & 3.25 & -2.75 \\ 0 & 0 & 3.462 \end{bmatrix} \quad (3.124)$$

Exercício 3.1.2. $x_1 = -3$, $x_2 = -1$, $x_3 = 1$

Exercício 3.1.3.

$$P = \begin{bmatrix} 0 & 1 & 0 & 0 \\ 0 & 0 & 0 & 1 \\ 1 & 0 & 0 & 0 \\ 0 & 0 & 1 & 0 \end{bmatrix} \quad (3.129)$$

$$L = \begin{bmatrix} 1 & 0 & 0 & 0 \\ 0 & 1 & 0 & 0 \\ -0.\bar{3} & 0 & 1 & 0 \\ 0.\bar{3} & -0.5 & 0.75 & 1 \end{bmatrix} \quad (3.130)$$

$$U = \begin{bmatrix} 3 & 0 & 0 & -2 \\ 0 & 2 & -3 & 0 \\ 0 & 0 & -2 & 0.\bar{3} \\ 0 & 0 & 0 & -0.58\bar{3} \end{bmatrix} \quad (3.131)$$

Exercício 3.1.4. $x = (-1, 0, 1, 2)$

Exercício 3.1.5. Dica: A matriz de Vandermonde pode ser alocada com o seguinte código:

```
1 import numpy as np
2 x = np.array([1., 2, 3])
3 n = x.size
4 V = np.ones((n, n))
5 for i in range(n-1):
6     V[:, i] = x**(n-1-i)
7 print(V)
```

Exercício 3.2.1. a) 2,2383; b) 2,0323E+1; c) 3,5128E+1

Exercício 3.3.1. $x^{(5)} = (-1,00256, 2,95365, -1,95347, 0,97913)$; $\|Ax^{(5)} - b\| = 0,42244$

Exercício 3.3.2. $x^{(5)} = (-1,00423, 3,00316, -2,00401, 0,99852)$; $\|Ax^{(5)} - b\| = 0,025883$

Exercício 4.1.1. $x_1 = 1,7519\text{E}+0$, $x_2 = -2,6202\text{E}-1$, $x_3 = -1,8983\text{E}+0$

Exercício 5.1.1. $0,58\bar{3}x^2 - 1,25x + 0,1\bar{6} + 1$.

Exercício 5.2.1. $0,54x^3 - 0,15x^2 + 1,3x + 1$.

Exercício 5.3.1. $0,54x^3 - 0,15x^2 + 1,3x + 1$.

Exercício 6.1.1. $c_1 = -1,3259$, $c_2 = 8,66071\text{E}-2$, $\|r(c)\|_2 = 1,01390$.

Exercício 6.1.2. $c_1 = -4,50361\text{E}-1$, $c_2 = -2,78350\text{E}-1$, $c_3 = 1,46291$, $c_4 = 2,09648$, $\|r(c)\|_2 = 5,71346$

Exercício 6.1.3. $c_1 = -2,76842$, $c_2 = -7,17935\text{E}-1$, $c_3 = 1,37014\text{E}-1$, $\|r(c)\|_2 = 2,48880\text{E}+1$

Exercício 6.1.4. $c_1 = 2,10131\text{E}+0$, $c_2 = -9,73859\text{E}-1$, $c_3 = 1,25521\text{E}+0$

Exercício 6.2.1. a) $c_1 = 2,69971\text{E}+0$, $c_2 = -1,44723\text{E}+0$, $c_3 = 1,24333\text{E}+0$; b) divergente.

Exercício 6.2.2. a) $c_1 = 2,69971\text{E}+0$, $c_2 = -1,44723\text{E}+0$, $c_3 = 1,24333\text{E}+0$; b) $c_1 = 2,69971\text{E}+0$, $c_2 = -1,44723\text{E}+0$, $c_3 = 1,24333\text{E}+0$

Bibliografia

- [1] A. Björk. *Numerical Methods for Least Squares Problems*. SIAM, 1996.
- [2] R. Burden, J. Faires, and A. Burden. *Análise Numérica*. CENGAGE Learning, 3. edition, 2016.
- [3] E. Isaacson and H. Keller. *Analysis of Numerical Methods*. Dover, 1994.
- [4] D. Lemire. Number parsing at a gigabyte per second. *Software: Practice and Experience*, 51(8):1700–1727, may 2021.
- [5] J. Nocedal and S. Wright. *Numerical Optimization*. Springer, 2006.
- [6] W. Press, S. Teukolsky, W. Vetterling, and B. Flannery. *Numerical Recipes*. Cambridge University Press, 3. edition, 2007.
- [7] A. Ralston and P. Rabinowitz. *A First Course in Numerical Analysis*. Dover, New York, 2. edition, 2001.
- [8] J. Stoer and R. Bulirsch. *Introduction to numerical analysis*. Springer-Verlag, 2. edition, 1993.

Índice

equações normais, [146](#)

iteração de
 Newton, [73](#)

matriz de
 Gauss-Seidel, [118](#)
 Jacobi, [115](#)

método de
 Horner, [89](#)

raízes de
 polinômios, [88](#)

vetor de
 Gauss-Seidel, [118](#)
 Jacobi, [115](#)

zeros de
 funções, [41](#)

zeros múltiplos, [80](#)

épsilon de máquina, [15](#), [35](#)